

T.C.
BURDUR MEHMET AKİF ERSOY ÜNİVERSİTESİ
FEN BİLİMLERİ ENSTİTÜSÜ
İNŞAAT MÜHENDİSLİĞİ ANABİLİM DALI
YÜKSEK LİSANS TEZİ

**BURDUR İLİNDEKİ TRAVERTEM ATIKLARININ
YOL ÜSTYAPISINDA GRANÜLER TABAKALARDA
AGREGA OLARAK KULLANIMININ
ARAŞTIRILMASI**

Fettah ACAR

Danışman: Dr. Öğr. Üyesi Altan YILMAZ

BURDUR, 2019

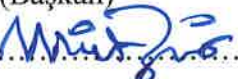
YÜKSEK LİSANS JÜRİ ONAY FORMU

Fettah ACAR tarafından Dr. Öğr. Üyesi Altan YILMAZ yönetiminde hazırlanan “Burdur İlindeki Traverten Atıklarının Yol Üstyapısında Granüler Tabakalarda Agrega Olarak Kullanımının Araştırılması” başlıklı tez tarafımızdan okunmuş, kapsamı ve niteliği açısından bir Yüksek Lisans Tezi olarak kabul edilmiştir.

Tez Savunma Tarihi: 12 /11 /2019

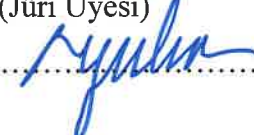
Prof. Dr. Nihat DİPOVA

(Başkan)

Akdeniz Üniversitesi..........(İmza)

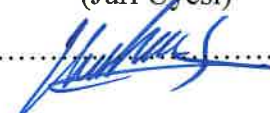
Dr. Öğr. Üyesi Altan YILMAZ

(Jüri Üyesi)

Mehmet Akif Ersoy Üniversitesi..........(İmza)

Dr. Öğr.Üyesi H. Hakan İNCE

(Jüri Üyesi)

Mehmet Akif Ersoy Üniversitesi..........(İmza)

ONAY

Bu Tez, Enstitü Yönetim Kurulu'nun _____ Tarih ve _____ Sayılı Kararı ile Kabul Edilmiştir.

.....(İmza)

Prof. Dr. Ayşe Gül MUTLU GÜLMEMİŞ

Müdür

Fen Bilimleri Enstitüsü

ETİK KURALLARA UYGUNLUK BEYANI

Burdur Mehmet Akif Ersoy Üniversitesi Fen Bilimleri Enstitüsü Lisansüstü Eğitim ve Öğretim Yönetmeliğinin ilgili hükümleri uyarınca Yüksek Lisans Tezi olarak sunduğum **“Burdur İlindeki Traverten Atıklarının Yol Üstyapısında Granüler Tabakalarda Agrega Olarak Kullanımının Araştırılması”** başlıklı bu tezin;

- Kendi çalışmam olduğunu,
- Sunduğum tüm sonuç, doküman, bilgi ve belgeleri bizzat ve bu tez çalışması kapsamında elde ettiğimi,
- Bu tez çalışmasıyla elde edilmeyen bütün bilgi ve yorumlara atıf yaptığımı ve bunları kaynaklar listesinde usulüne uygun olarak verdiğimi,
- Kullandığım verilerde değişiklik yapmadığımı,
- Tez çalışması ve yazımı sırasında patent ve telif haklarını ihlal edici bir davranışımın olmadığını,
- Bu tezin herhangi bir bölümünü bu üniversite veya diğer bir üniversitede başka bir tez çalışması içinde sunmadığımı,
- Bu tezin planlanmasıdan yazımına kadar bütün sahhalarda bilimsel etik kurallarına uygun olarak davrandığımı,
bildirir, aksinin ortaya çıkması durumunda her türlü yasal sonucu kabul edeceğimi beyan ederim.

12 / 11 / 2019
(İmza)
Fettah ACAR

TEŞEKKÜR

Bu araştırma için beni yönlendiren, karşılaştığım zorlukları bilgi ve tecrübe ile aşmamda yardımcı olan değerli Danışman Hocam Dr. Öğr. Üyesi Altan YILMAZ'a teşekkürlerimi sunarım. Deneylerimi yapmam için laboratuvarları bana açan ve araştırmalarımda hiçbir yardımı esirgemeyen değerli hocalarına teşekkür ederim. Ayrıca Portsan Mermer A.Ş., Başarırlar Mermer A.Ş. ve Bucak Madencilik Kum ve Çakıl A.Ş.'ne traverten ve kırma taş malzemelerin temin edilmesinde yardımcılarından dolayı teşekkür ederim.

Eğitim hayatımın her aşamasında beni her anlamda destekleyen eşime ve aileme sonsuz sevgi ve saygılarımı sunarım.

Kasım, 2019

Fettah ACAR

İÇİNDEKİLER

	Sayfa
TEŞEKKÜR	i
İÇİNDEKİLER	ii
ŞEKİL DİZİNİ	iv
ÇİZELGE DİZİNİ	vii
SİMGELER VE KISALTMALAR DİZİNİ	ix
ÖZET	x
SUMMARY	xi
1. GİRİŞ	1
1.1. Türkiye'de Mermecilik Faaliyetleri	1
1.2. Mermer Atıklarının Oluşumu	4
1.3. Çalışmanın Amacı ve Kapsamı	6
2. GENEL BİLGİLER	7
2.1. Yol Üstyapısı	7
2.1.1. Rijit Üstyapı	7
2.1.2. Esnek Üstyapı	7
2.1.3. Üstyapılarda Kullanılan Malzemeler	9
2.1.4. Agregalar	10
2.1.4.1. Doğal Agregalar	10
2.1.4.2. Yapay Agregalar	12
2.2. Mermer ve Özellikleri	13
2.3. Traverten ve Özellikleri	14
2.3.1. Traverten Atıklarının Yol Üstyapısında Kullanımı	15
2.4. Önceki Çalışmalardan Örnekler	16
3. MATERİYAL VE YÖNTEM	23
3.1. Kullanılan Malzemeler	23
3.1.1. Traverten Atıkları	23
3.1.2. Doğal Agrega	26
3.2. Yöntem	27
3.2.1. Elek Analizi Deneyi	28
3.2.2. Kimyasal Kompozisyon Tayini	30
3.2.3. Hava Tesirlerine Karşı Dayanıklılık (Donma ve Çözülme) Deneyi	30
3.2.4. Gevşek – Sıkışık Birim Hacim Ağırlık Deneyi	32
3.2.5. Kaba ve İnce Agregada Tane Yoğunluğu ve Su Emme Deneyi	33
3.2.5.1. İnce Agregada Tane Yoğunluğu ve Su Emme Deneyi	33
3.2.5.2. Kaba Agregada Tane Yoğunluk ve Su Emme Deneyi	35
3.2.6. Agrega Darbelenebilme Deneyi (AV)	37
3.2.7. Yassılık ve Uzunluk İndeksi Deneyi	39
3.2.7.1. Yassılık İndeksi Deneyi	39
3.2.7.2. Uzunluk İndeksi Deneyi	40
3.2.8. Los Angeles (Aşınma) Deneyi	41
3.2.9. Organik Madde Tespit Deneyi	43
3.2.10. Modifiye Proktor Deneyi	44
3.2.11. CBR (Kaliforniya Taşıma Oranı) Deneyi	46
3.2.12. Dinamik Üç Eksenli Deneyi	49
4. ARAŞTIRMA BULGULARI VE TARTIŞMA	55
4.1. Elek Analizi Deneyi Sonuçları	55
4.2. Kimyasal Analiz Sonuçları	61

4.3. Hava Tesirlerine Karşı Dayanıklılık (Donma Çözülme) Deneyi Sonuçları	65
4.4. Gevşek – Sıkışık Birim Hacim Ağırlık Deney Sonuçları	67
4.5. İnce Agrega ve Kaba Agrega Tane Yoğunluğu ve Su Emme Deneyi Sonuçları	68
4.5.1. İnce Agrega Tane Yoğunluğu ve Su Emme Deneyi Sonuçları	68
4.5.2. Kaba Agrega Tane Yoğunluğu ve Su Emme Deneyi Sonuçları	70
4.6. Agrega Darbelenme Deneyi Sonuçları (AIV).....	73
4.7. Yassılık İndeksi ve Uzunluk İndeksi Deney Sonuçları	74
4.7.1. Yassılık İndeksi Deneyi Sonuçları	74
4.7.2. Uzunluk İndeksi Deneyi Sonuçları	74
4.8. Los Angeles (Aşınma) Deneyi Sonuçları	75
4.9. Organik Madde Tespit Deneyi Sonuçları	76
4.10. Modifiye Proktor (Sıkıştırma) Deneyi Sonuçları	77
4.11. CBR Deneyi Sonuçları.....	79
4.11.1. Kuru CBR Deneyi Sonuçları	79
4.11.2. Yağ CBR Deneyi Sonuçları	81
4.12. Üç Eksenli Deneyi Sonuçları	82
5. SONUÇ.....	89
KAYNAKLAR.....	92
EKLER.....	98
ÖZGEÇMIŞ	112

ŞEKİL DİZİNİ

	Sayfa
Şekil 1.1. Antik Roma dönemi mermerden yapılan amfi tiyatro	2
Şekil 1.2. Mermer ocağı işletmesi	3
Şekil 1.3. Mermerin blok şeklinde ayrılması işlemi	4
Şekil 1.4. Mermer bloklarının fabrikada üretime hazırlanması.....	5
Şekil 1.5. Mermer fabrikasında bulunan mermer atık yığınları	5
Şekil 2.1. Karayolu üstyapısı görünüşü	8
Şekil 2.2. Kırma taş örneği.....	11
Şekil 2.3. Doğal taşların oluşumlarına göre sınıflandırılması.....	12
Şekil 2.4. Kireçtaşı kayaç görünümü	12
Şekil 2.5. Traverten görünüşü	15
Şekil 3.1. Traverten (T1) atıkları.....	24
Şekil 3.2. Traverten (T2) atıkları.....	24
Şekil 3.3. Numunelerin konkasör haznesine girebilmesi için çekiçle kırılması.....	25
Şekil 3.4. Numunelerin konkasör yardımıyla kırılması.....	25
Şekil 3.5. Konkasörde kırılmış traverten numunelerin görünüşü.....	26
Şekil 3.6. Sivisler doğal agrega ocağı.....	27
Şekil 3.7. Kırılmış traverten numuneleri.....	28
Şekil 3.8. Deney numunelerinin elek sarsma tablasında elenmesi	29
Şekil 3.9. Eleklerin üzerinde kalan malzemelerin tane çaplarına göre ayrılması.....	30
Şekil 3.10. Hava tesirlerine karşı dayanıklılık deneyi yapılışı	31
Şekil 3.11. Sodyum Sülfat (Na_2SO_4) çözeltisinden çıkarılmış deney numuneleri	31
Şekil 3.12. Gevşek - sıkışık birim hacim ağırlık deneyi	33
Şekil 3.13. İnce agrega tane yoğunluğu ve su emme deneyi için hazırlanan numuneler	33
Şekil 3.14. İnce agrega deneyi için numunelerin kuru yüzey doygun haline getirilmesi	34
Şekil 3.15. Abrahams hunisi ile kuru yüzey suya doygun halin kontrol edilmesi	34
Şekil 3.16. Piknometrelere numunelere su eklenip vakum pompasına yerleştirilmesi	35
Şekil 3.17. Kaba agrega numulerinin suda bekletilmesi.....	36
Şekil 3.18. Arşimed terazisi ile su içinde tartım işlemi	36
Şekil 3.19. Kaba agrega numunelerinin yüzeylerinin bezle kurutulması	37
Şekil 3.20. Deney numunesi konulmuş kalıp ve darbelenme deneyi cihazı	38
Şekil 3.21. Deney sonrası darbelenme cihazından çıkarılan malzemeler	38

Şekil 3.22. Yassılık indeksi şablonu yardımıyla yassı agregaların tespit edilmesi	40
Şekil 3.23. Agrega uzunluk tayin aparatı yardımıyla uzun agregaların tespit edilmesi	41
Şekil 3.24. Los Angeles deney cihazına numunelerin konularak cihazın çalıştırılması.....	42
Şekil 3.25. Los Angeles deneyi sonrası numunelerin görünümü	43
Şekil 3.26. Organik madde tespiti deneyi	44
Şekil 3.27. Modifiye Proktor deneyinde kullanılan malzemeler	45
Şekil 3.28. Modifiye Proktor deneyinin yapılışı	46
Şekil 3.29. CBR (Kaliforniya taşıma oranı) test cihazı	47
Şekil 3.30. CBR kalıbı ve hazırlanan deney numunesi	47
Şekil 3.31. CBR test cihazından çıkarılan numuneler	48
Şekil 3.32. Yaş CBR deney numunesinin suda bekletilmesi	49
Şekil 3.33. Dinamik üç eksenli deneyi cihazı	50
Şekil 3.34. Tekrarlı yükler altında oluşan plastik ve elastik şekil değiştirmeler.....	50
Şekil 3.35. Dinamik üç eksenli deneyindeki yükleme formu	51
Şekil 3.36. Deney numunelerinin titreşimli kompaksiyonla sıkıştırılması	52
Şekil 3.37. Deney numunelerinin üç eksenli cihazına yerleştirilmesi	52
Şekil 3.38. Deneylerin sonunda üç eksenli cihazından çıkarılan numuneler	53
Şekil 4.1. KTŞ (C) tipi granülometri eğrisi (yüzdelerin ortalaması)	59
Şekil 4.2. Traverten (T1) granülometri eğrisi	60
Şekil 4.3. Traverten (T2) granülometri eğrisi	60
Şekil 4.4. Doğal agrega (DA) granülometri eğrisi	61
Şekil 4.5. Traverten (T1) CaO içeriği kimyasal analiz sonuç grafiği.....	62
Şekil 4.6. Traverten (T2) CaO içeriği kimyasal analiz sonuç grafiği.....	62
Şekil 4.7. Doğal agrega (DA) CaO kimyasal analiz sonuç grafiği.....	63
Şekil 4.8. Doğal agrega (DA) MgO içeriği kimyasal analiz sonuç grafiği.....	63
Şekil 4.9. Hava tesirlerine karşı dayanıklılık deneyi sonuçları	66
Şekil 4.10. Gevşek birim hacim ağırlık ortalama değerleri	67
Şekil 4.11. Sıkışık birim hacim ağırlık ortalama değerleri	67
Şekil 4.12. İnce agrega görünürlük tane yoğunluğu değerleri	68
Şekil 4.13. İnce agrega hacim tane yoğunluğu değerleri	69
Şekil 4.14. İnce agrega su emme (absorpsiyon) yüzdesi değerleri.....	69
Şekil 4.15. Kaba agrega görünürlük tane yoğunluğu değerleri.....	71
Şekil 4.16. Kaba agrega hacim tane yoğunluğu değerleri.....	71
Şekil 4.17. Kaba agrega su emme (absorpsiyon) yüzdesi değerleri	72

Şekil 4.18. Darbelenme deneyi sonuçları.....	73
Şekil 4.19. Yassılık indeksi deneyi sonuçları.....	74
Şekil 4.20. Uzunluk indeksi deneyi sonuçları	75
Şekil 4.21. Los Angeles aşınma deneyi sonuçları	76
Şekil 4.22. Traverten (T1) modifiye Proktor eğrisi	77
Şekil 4.23. Traverten (T2) modifiye Proktor eğrisi	78
Şekil 4.24. Doğal agrega (DA) modifiye Proktor eğrisi	78
Şekil 4.25. Doğal agrega (DA) için kuru CBR deneyi yük-penetrasyon eğrisi	80
Şekil 4.26. Kuru CBR deneyinden elde edilen değerler	81
Şekil 4.27. Doğal agrega (DA) için yaş CBR deneyi yük-penetrasyon eğrisi	81
Şekil 4.28. Yaş CBR deneyinden elde edilen değerler	82
Şekil 4.29. Deney numunesine üç eksenli hücresinde etkiyen gerilmeler	83
Şekil 4.30. Traverten (T1) esneklik modülü – toplam gerilme grafiği.....	83
Şekil 4.31. Traverten (T1) için elde edilen esneklik modülü – deviatör gerilme grafiği.....	84
Şekil 4.32. Traverten (T2) esneklik modülü – toplam gerilme grafiği.....	84
Şekil 4.33. Traverten (T2) için elde edilen esneklik modülü – deviatör gerilme grafiği.....	85
Şekil 4.34. Doğal agrega (DA) esneklik modülü – toplam gerilme grafiği.....	85
Şekil 4.35. Doğal agrega (DA) için elde edilen esneklik modülü – deviatör gerilme grafiği	86
Şekil 4.36. Maksimum ve ortalama M_r değerlerinin grafik gösterilişi	87
Şekil 4.37. Esneklik modülü değerlerinin toplam gerilme ile değişimini gösteren toplu grafik	88

ÇİZELGE DİZİNİ

	Sayfa
Tablo 2.1. Doğal taş özkütleleri	14
Tablo 3.1. Deneyde kullanılan elekler.....	29
Tablo 4.1. Temel tabakalarında kullanılan agregalar için gerekli şartname limitleri	55
Tablo 4.2. Doğal agrega (DA) elek analizi gradasyon yüzdeleri.....	56
Tablo 4.3. KTŞ granüler temel tabakası gradasyon limitleri.....	57
Tablo 4.4. Traverten (T1) elek analizi gradasyon yüzdeleri.....	57
Tablo 4.5. Traverten (T2) elek analizi gradasyon yüzdeleri.....	58
Tablo 4.6. KTŞ granüler temel tabakası (C) tipi gradasyon dağılımı ortalaması	59
Tablo 4.7. Traverten (T1) kimyasal analiz içeriği	64
Tablo 4.8. Traverten (T2) Kimyasal Analiz İçeriği	64
Tablo 4.9. Doğal agrega (DA) kimyasal analiz içeriği.....	65
Tablo 4.10. Dolomit içeren karbonat kayaların sınıflandırılması	65
Tablo 4.11. Hava tesirlerine karşı dayanıklılık deneyi bulguları	66
Tablo 4.12. İnce agrega tane yoğunluğu deney bulguları	70
Tablo 4.13. Kaba agrega tane yoğunluğu ve su emme değerleri	73
Tablo 4.14. KTŞ limitleri ve organik madde içeriği	77
Tablo 4.15. Modifiye Proktor deneyi sonuçları	79
Tablo 4.16. Kuru CBR deneyi bulguları	80
Tablo 4.17. Yaş CBR deneyi bulguları	82
Tablo 4.18. Üç eksenli deneyi bulguları.....	86
Ek 1-Tablo 1.1. Traverten (T1) Los Angeles deneyi verileri.....	98
Ek 1-Tablo 1.2. Traverten (T2) Los Angeles deneyi verileri.....	98
Ek 1-Tablo 1.3. Doğal agrega (DA) Los Angeles deneyi verileri	98
Ek 2-Tablo 2.1. Traverten (T1) yassılık indeksi deneyi verileri	99
Ek 2-Tablo 2.2. Traverten (T2) yassılık indeksi deneyi verileri	99
Ek 2-Tablo 2.3. Doğal agrega(DA) yassılık indeksi deneyi verileri	100
Ek 3-Tablo 3.1. Traverten (T1) uzunluk indeksi deneyi verileri.....	101
Ek 3-Tablo 3.2. Traverten (T2) uzunluk indeksi deneyi verileri.....	101
Ek 3-Tablo 3.3. Doğal agrega (DA) uzunluk indeksi deneyi verileri.....	101
Ek 4-Tablo 4.1. Traverten (T1) ince agrega tane yoğunluğu verileri.....	102
Ek 4-Tablo 4.2. Traverten (T2) ince agrega tane yoğunluğu verileri	102

Ek 4-Tablo 4.3. Doğal agrega (DA) ince agrega tane yoğunluğu verileri	103
Ek 4-Tablo 4.4. Traverten (T1) ince agrega su emme yüzdesi verileri	103
Ek 4-Tablo 4.5. Traverten (T2) ince agrega su emme yüzdesi verileri	104
Ek 4-Tablo 4.6. Doğal agrega (DA) ince agrega su emme yüzdesi verileri	104
Ek 4-Tablo 4.7. Traverten (T1) kaba agrega tane yoğunluğu değerleri.....	104
Ek 4-Tablo 4.8. Traverten (T2) kaba agrega tane yoğunluğu değerleri.....	105
Ek 4-Tablo 4.9. Doğal agrega (DA) kaba agrega tane yoğunluğu değerleri.....	105
Ek 4-Tablo 4.10. Traverten (T1) kaba agrega su emme yüzdesi verileri.....	106
Ek 4-Tablo 4.11. Traverten (T2) kaba agrega su emme yüzdesi verileri.....	106
Ek 4-Tablo 4.12. Doğal agrega (DA) kaba agrega su emme yüzdesi verileri.....	106
Ek 5 - Tablo 5.1. Traverten (T1) darbelenme deneyi 1.numune verileri	107
Ek 5 - Tablo 5.2. Traverten (T1) darbelenme deneyi 2. numune verileri	107
Ek 5 - Tablo 5.3. Traverten (T2) darbelenme deneyi 1. numune verileri	108
Ek 5 - Tablo 5.4. Traverten (T2) darbelenme deneyi 2. numune verileri	108
Ek 5 - Tablo 5.5. Doğal agrega (DA) darbelenme deneyi 1. numune verileri	109
Ek 5 - Tablo 5.6. Doğal agrega (DA) darbelenme deneyi 2. numune verileri	109
Ek 6 - Tablo 6.1. Traverten (T1) gevşek-sıkışık birim hacim ağırlık deneyi verileri.....	110
Ek 6 - Tablo 6.2. Traverten (T2) gevşek-sıkışık birim hacim ağırlık deneyi verileri.....	110
Ek 6 - Tablo 6.3. Doğal agrega (DA) gevşek-sıkışık birim hacim ağırlık verileri.....	111

SİMGELER VE KISALTMALAR DİZİNİ

AASHTO	: American Association of State Highway and Transportation Officials
AB	: Avrupa Birliği
ABD	: Amerika Birleşik Devletleri
ASTM	: Amerikan Malzeme Test Birliği
BS	: İngiliz Standartları
CBR	: Kaliforniya Taşıma Oranı
CEN	: Avrupa Standart Komitesi
Cr	: Krom
EN	: Avrupa Normu
FeCr	: Ferrokrom
KTŞ	: Karayolları Teknik Şartnamesi
MAKÜ	: Mehmet Akif Ersoy Üniversitesi
MgSO₄	: Magnezyum Sülfat
MTA	: Maden Tetkik Arama
Na₂SO₄	: Sodyum Sülfat
NaOH	: Sodyum Hidroksit
TS	: Türk Standartları
TSE	: Türk Standartları Enstitüsü
TÜİK	: Türkiye İstatistik Kurumu
C°	: Santigrat derece
g	: Gram
in	: inch
kg	: Kilogram
m	: Metre
mm	: Milimetre

ÖZET

Yüksek Lisans Tezi

Burdur İlindeki Traverten Atıkların Yol Üstyapısında Granüler Tabakalarda Kullanılmasının Araştırılması

Fettah ACAR

**Burdur Mehmet Akif Ersoy Üniversitesi
Fen Bilimleri Enstitüsü
İnşaat Mühendisliği Anabilim Dalı**

Danışman: Dr. Öğr. Üyesi Altan YILMAZ

Kasım, 2019

Bu çalışmada Burdur ilinin Bucak ilçesindeki mermer fabrikalarında üretim sırasında ortaya çıkan traverten atıklarının karayollarının üstyapısında granüler tabakalarda kullanılabilirliği araştırılmıştır. Mermer fabrikalarının depolama sahalarından alınan atık haldeki travertenlerin laboratuvar ortamında deneylerinin yapılabilmesi için öncelikle uygun granülometrik boyutlara getirilmeleri gereklidir. Bunun için atık malzemelerin laboratuvar ortamında konkasör kullanılarak kırılması ve istenilen granülometrik boyutlara getirilmesi sağlanmıştır.

Traverten numuneleri güncel standartlara uygun şekilde deneylere tabi tutulmuş ve elde edilen sonuçlar Karayolları Teknik Şartnamesi’nde granüler tabakalar için verilen limit değerlerle kıyaslanmıştır.

Traverten ve doğal agrega numuneleri üzerinde; Elek analizi deneyi, hava tesirlerine karşı dayanım deneyi, Los Angeles deneyi, yassılık indeksi deneyi, kaba ve ince agregada tane yoğunluğu ve su emme deneyi, organik madde tespit deneyi, kimyasal kompozisyon tayini, modifiye Proktor (sıkıştırma) deneyi, CBR deneyi ve dinamik üç eksenli deneyi uygulanmıştır. Yapılan deneylerden elde edilen sonuçlar, şahit numune olarak kullanılan doğal kırma taş agregası sonuçları ile karşılaştırılmıştır.

Elde edilen sonuçlara göre traverten atıklarının fiziksel ve mekanik özellikleri bakımından şartname limitlerini sağladığı ancak bazı fiziksel özellikler bakımından doğal aggregaya kıyasla daha düşük değerler verdiği görülmüştür. Endüstriyel atıkların azaltılması, tarım alanlarından uzaklaştırılması ve çevresel açıdan faydaları da düşünüldüğünde, traverten atıklarının yol üstyapısının granüler tabakalarında doğal aggregaya alternatif olarak değerlendirileceği sonucu ortaya çıkmıştır.

Anahtar kelimeler: mermer atıkları, mineral agrega, yol üstyapısı, traverten atıkları

SUMMARY

M. Sc. Thesis

Investigation of the Use of Travertine Wastes in Granular Layers of Pavements in Burdur Province

Fettah ACAR

**Burdur Mehmet Akif Ersoy University
Graduate School of Natural and Applied Sciences
Civil Engineering Department**

Supervisor: Faculty Member Altan YILMAZ, PhD

November, 2019

In this study, the usability of travertine wastes produced in marble factories in Bucak district of Burdur in granular layers on pavements was investigated. The waste travertine taken from the stockpile areas of the marble factories must first be brought to the appropriate granulometric dimensions in order to be tested in the laboratory. For this purpose, the materials were crushed in the laboratory using a jaw crusher and brought to the desired granulometric dimensions.

Travertine samples were tested in accordance with current standards, and the results obtained were compared with the limit values for granular layers of pavements given in the Turkish Technical Specifications of the Highways.

On travertine and natural aggregate samples; sieve analysis test, weather resistance test, Los Angeles test, flakiness index test, particle density and water absorption test of coarse and fine aggregate, organic material detection test, chemical composition, modified Proctor (compression) test, CBR test and dynamic triaxial test were applied. The results obtained from the experiments were compared with the natural crushed-stone aggregate used as a replicate sample.

According to the results obtained from the experiments, the physical and mechanical properties of the travertine wastes have been met the technical specification limits but some physical properties have been found to be lower than the natural aggregate. Considering the reduction of industrial wastes, environmental benefits, travertine aggregate can be considered as an alternative to natural aggregate in the granular layers of the road pavements.

Keywords: marble wastes, mineral aggregate, pavement, travertine wastes

1. GİRİŞ

Bir ülkenin gelişmişlik düzeyinin en önemli göstergelerinden birisi, ülkede oluşturulmuş ulaşım ağının toplumun taleplerini karşılama yönünden yeterli bir düzeyde ve standartta olmasıdır. Türkiye'de diğer ülkelere göre, özellikle de gelişmiş ülkelere göre, ağır taşit trafiği fazla olduğu için önemli problemlerle karşılaşılması kaçınılmazdır. Bu durum, kaynaklara kolay ulaşılamaması sebebiyle ekonomik olarak problemler oluşturduğu için ağır maliyetler getirebilmektedir. Tüm bu olumsuzluklar göz önüne alındığında karayollarının inşaatı sürecinde en verimli ve optimum faydayı sağlayacak çözümlerin üretilebilmesi büyük önem arz etmektedir (URL-1, 2019).

Karayolu taşımacılığı günümüz dünyasında hem yük hem de yolcu taşımacılığı açısından en çok tercih edilen ulaşım şeklidir. Karayollarının bakım ve onarım masraflarının yüksek olmasından dolayı, kaliteli ve uzun ömürlü yolların yapılması büyük önem arz etmektedir. Üstyapı tasarımda kullanılan malzemelerin mekanik özelliklerinin tam olarak belirlenebilmesi gerekmektedir. Yol inşaatlarında kullanılan granüler malzemeler hakkında elimizde hali hazırda bulunan bilgiler çok kısıtlıdır. Bu hususta granüler malzemelerin mekanik özelliklerinin belirlenebilmesi amacıyla birçok deney yöntemi empirik olarak açıklanmaktadır. Bu uygulamalarla bulunan parametreler günümüzde uygulanan modern üstyapı tasarımları süreçlerine katkıda bulunmamaktadır. Mevcut trafiğin oluşturduğu yükler altında granüler malzemelerin mekanik özelliklerinin tespit edilebilmesi en önemli hususlardan birisidir. Diğer bir açıdan günümüzde giderek artan endüstriyel atıkların geri dönüşümle farklı sektörlerde kullanımı artmaya başlamıştır. Yol inşaatları ortaya çıkan atıkların en fazla kullanıldığı alan olmaktadır (Yılmaz, 2008).

Bu çalışmada; fabrikalarda, üretim esnasında ortaya çıkan ve çevre kirliliğine sebep olan mermer atıklarından olan traverten atıklarının yol üstyapısında granüler tabakalarda kullanımı incelenmiştir.

1.1. Türkiye'de Mermecilik Faaliyetleri

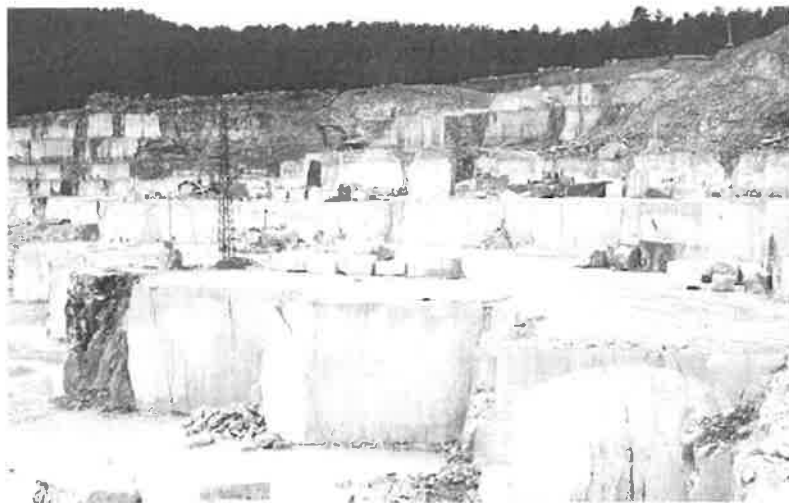
Mermecilik, ilk çağlardan beri yapılan bir doğal taş madenciliği türündür. Eti uygarlığı zamanının kabartmaları ve heykelleri, Antik Yunan ve Roma döneminin amfileri, arenaları ve diğer çeşitli sanat eserleri, Selçuklu İmparatorluğu ve Osmanlı İmparatorluğu dönemlerinin kervansaray, saray, hamam, cami, medrese ve çeşmeleri, mermer işletmeciliğinin tarih boyunca gelişimini iyi bir şekilde gözler önüne sermektedir. Doğal taş sektöründe üretim ve ihracat

açısından büyümeye hızı son 15 yıldık yıllık yüzde 13,6'lık bir oranla Dünya'daki büyümeye hızı ortalamasının iki katına kadar yaklaşmıştır. Dünya'da da kabul edildiği haliyle "Mermer", ülkemizde de kesilerek ve parlatılarak, farklı amaçlarla kullanılan doğal taş olarak bilinmektedir. Ayrıca bu uygulamanın ticari faaliyetlerine de "Mermer Sektörü" denilmektedir (Sel, 2006). Şekil 1.1'de Roma dönemine ait mermerden yapılan amfi tiyatro görülmektedir.



Şekil 1.1. Antik Roma dönemi mermerden yapılan amfi tiyatro

İnşaat sektöründe faaliyet gösteren kişi ve kuruluşlar tarafından istenilen boyut ve özelliklerle daha ucuzca üretilen doğal taşlar, mermer sektörüne olan ilgiyi arttırmıştır. Son yıllarda maliyet açısından Çin ürünlerinin devreye girmesi Dünya çapında fiyatların düşmesine sebep olmuştur. Buna bağlı olarak insanların doğal浑lere ilgisinin artması, gerek Türkiye'de gerekse Dünya çapında mermercilik faaliyetlerinin yaygınlaşmasını sağlamıştır. 1985 yılında ülkemizde yapılan kanun değişikliği ile mermerin maden kapsamına alınması çoğunlukla blok taş şeklinde yapılan ihracatın yerini özellikle son yıllarda işlenmiş ürünlerinmasına katkı sağlamıştır. Bu bağlamda maden ihracatından elde edilen gelir, toplam gelirin yaklaşık % 50'lik kısmını oluşturmaktadır. 2000'li yıllarda elde edilen bulgularla günümüzdeki bulgular karşılaştırıldığında birbirleri arasındaki farklar açık olarak görülebilmektedir. Dünyadaki mermer ve doğal taş rezervleri araştırıldığında Türkiye, Dünya'daki rezervler arasında sayılı ülkeler arasında yer almaktadır. Geliştirilecek teknoloji yatırımlarıyla ve nitelikli işgückenin temin edilmesi ile doğal taş sektörünün daha da yükseleceği düşünülmektedir. Mermer sektöründeki yatırımcıların iç ve dış pazarlar için üretikleri ürünlerin kalitesinin artmasıyla ülkemizin de marka ülkeler arasında girebileceği düşünülmektedir (Kamacı, 2013). Şekil 1.2'de ülkemizde faaliyet gösteren bir mermer ocağı gösterilmektedir.



Şekil 1.2. Mermer ocağı işletmesi

1980 yılından itibaren ülkemizde serbest piyasa ekonomisine paralel olarak izlenen çalışmalar küreselleşme sürecini hızlandırmış, sanayide yeni arayışlar sonucunda sermayenin seyri yeni alanlara yönelmiştir. Bu alanların başında ise mermer sektörü yer almaktadır. Yapı ve ulaşımı verilen önemin artmasıyla birlikte, coğrafi olarak uygun olan bölgelerde ve şehirlerde mermercilik faaliyetleri gelişmiştir. Batı Akdeniz bölgesi mermer sanayi, ekonomik kalkınma ve sürdürülebilirlik açısından sanayide ortaya çıkan diğer yeni alanlardan önemli bir şekilde farklılık göstermektedir. Batı Akdeniz'de mermercilik ve turizm faaliyetleri öne çıkmaktadır. 2012 yılı verilerine göre Batı Akdeniz bölgesinde yer alan illerdeki üretilen maden ürünlerinin ihracat sanayisinin içerisindeki ihracat payı artmıştır. Bu pay Burdur ili için % 88 oranına, Isparta ili için % 55 oranına yükselmiş olup, Antalya ili için % 28'lerde kalmıştır. Mermercilik sektöründe doğal kaynak alanlarının kullanılması, ocak ve fabrika çalışmaları, doğal taşın ürün haline getirilmesi ve satışı ekonomiye katkı sağlarken, sektörün devamlılığı için istihdam ve çevre sorunlarına da çözüm bulunması konuları gündeme getirilmeye başlanmıştır (Uzer, 2017).

Batı Akdeniz bölgesinde mevcut mermer fabrikalarının yoğun olarak bulunduğu alanlardan birisi Burdur ilinin Bucak ilçesidir. Bucak ilçesinde, gerek iç piyasa ihtiyacı gereksiz ihracat amaçlı olarak mermer ürünleri üretilmektedir. Özellikle 1980 yılından sonra bulunan mermer rezervlerinin üretmeye başlanması sonucu Bucak ilçesinde mermer taşlarını işleyen fabrika sayısında artış görülmektedir. Bucak Ticaret ve Sanayi Odası kayıtlarında Bucak ilçesinde işletilmekte olan mermer ocağı sayısının 18, faaliyette olan mermer fabrikası sayısının 50 ve mermer makineleri üretimi yapan firma sayısının ise 13 olduğu görülmektedir (URL-2, 2019). Bucak ilçesinde mermer sanayisinde çalışan işçi sayısının 1900 civarı ve mermer ocaklarında

çalışan sayısının ise 300 olduğu bilinmektedir. Bucak ilçesinden Avrupa kıtası, Asya kıtası, Amerika kıtası, Ortadoğu, Afrika kıtası ve Avustralya kıtasında 43 adet temsilcilik ve satış yapan acentelikler vasıtıyla ihracat yapılmaktadır. Bucak beyazı ve traverten ürünlerinin ihracatında Çin, Rusya, Hindistan, Suudi Arabistan, Birleşik Arap Emirliği, İsrail, Amerika Birleşik Devletleri, Ürdün gibi ülkeler yer almaktadır. Bucak ilçesinde başta ABD olmak üzere Çin, Japonya, İsrail, Suudi Arabistan, Brezilya, Güney Afrika, İtalya, İngiltere gibi yaklaşık 20 ülkeye mermer ihracatı gerçekleştirilmektedir (Duran, 2016).

1.2. Mermer Atıklarının Oluşumu

Mermecilik faaliyetlerinin başlangıç aşamasında, mermer ocaklarında yapılan kesme işlemleri yapılarak mermer blokları elde edilmektedir. Şekil 1.3'te mermer ocaklarında büyük parçalar halinde olan mermerin blok şeklinde ayrılması işlemi görülmektedir.



Şekil 1.3. Mermerin blok şeklinde ayrılması işlemi

Mermerin ocaklarda bloklar halinde hazırlanmasının ardından fabrikalara nakliye edilmesiyle üretim süreci başlamaktadır. Fabrikalara gelen mermer bloklar üretim için vinç yardımıyla fabrikanın içerisine alınmaktadır. Daha sonra mermer blokları çeşitli mermer makineleri yardımıyla kullanım alanına uygun olarak küçük boyutlara getirilmektedir. Şekil 1.4'te mermer fabrikasında üretime hazırlanan bloklar görülmektedir.



Şekil 1.4. Mermer bloklarının fabrikada üretime hazırlanması

Mermer fabrikalarında üretim esnasında atıklar oluşmaktadır. Bu atıklar, fabrikaların içerisinde toplanıp fabrikanın üretime engel teşkil etmeyen alanlarına gelişigüzel olarak yiğilmektedir. Bu atıkların değerlendirilmesinin ekonomiye katkı sağlayacağı düşünülmektedir (Çelik ve Emrullahoglu, 1999). Mermer fabrikalarına gelen malzemeden üretim esnasında ortalama % 30'luk kısmı parça atıklar halinde ortaya çıkmaktadır. Şekil 1.5'de mermer fabrikasında biriktirilen mermer atık yığınları gösterilmektedir.



Şekil 1.5. Mermer fabrikasında bulunan mermer atık yığınları

Bucak ilçesi önemli traverten üretimi yapılan bölgelerden birisidir. Burdur ilinde bulunan çamlik travertenlerinin yapısal hesaplamalar sonucunda 13.187.200 m²'lik bir alana yayıldığı saptanmıştır. Çamlik travertenleri muhtemel rezervi yaklaşık olarak 659.375.000 m³'tür. Burdur ve ilçelerinde faaliyet gösteren mermer fabrikaların sayısı 45'e ulaşmıştır. Bu fabrikaların 34 tanesi Bucak ilçesinde bulunurken 7 tanesi il merkezinde, diğerleri de

Karamanlı ve Yeşilova ilçelerinde bulunmaktadır. Bu fabrikaların üretim kapasitesi toplamı yıllık toplam 2,1 milyon m²'dir (Topay, 2011). Bucaktaki fabrikaların üretim sırasında ortaya çıkan traverten atığı miktarı yıllık ortalama 500 bin m³ civarında olmaktadır.

Mermer üretiminin yoğun olduğu bölgelerde mermer atıklarının uzaklaştırılması, hem çevreye olumsuz etkileri olan hem de ekonomik olarak kayıplara sebep olan bir işlemidir. Atık maddelerin geri dönüştürülmesiyle alakalı çok sayıda çalışma vardır. Atıkların geri dönüştürülmesi işlemi ekstra bir bütçe gerektirmektedir. Son yıllarda tamamı geri dönüştürülemeyen atık malzemelerin farklı alanlarda kullanılabilir hale getirilmesi önemli bir çalışma konusudur (Filiz vd., 2010).

1.3. Çalışmanın Amacı ve Kapsamı

Özellikle son yirmi yılda işletmelerin çevreye olan hassasiyetleri, sürdürülebilirlik kavramının ortayamasına sebep olmuştur. Sürdürülebilir bir çevre politikası kapsamında traverten üretimi yapılan fabrikaların çevreye bıraktıkları çevresel atık ve molozların geri dönüşüm tabi tutularak ekonomiye kazandırılması büyük önem taşımaktadır. Bu sebeple bu çalışmada, traverten atıklarının yol inşaatında granüler tabakalarda kullanımına yönelik çalışmalar ve bilimsel analizler gerçekleştirılmıştır.

Bu çalışmada spesifik olarak agrega yerine kullanılmasının katkı sağlayacağı düşünülen traverten üzerinde durulmuştur. Traverten üretimi yapan mermer fabrikalarında önemli miktarlarda açığa çıkan traverten atıklarının yol üstyapısında agrega olarak değerlendirilmesi esas çalışma konusunu oluşturmaktadır. Bu amaçla laboratuvar ortamında 3. Bölümde detayı verilen deneysel çalışmalar yapılmıştır. Traverten atıklarının hem fiziksel özellikleri hem de karışım halindeki mekanik performansı test edilmiştir. Referans malzeme olarak iyi derecelenmiş doğal agrega kullanılmış ve atık malzemelerin sonuçları ile karşılaştırılmıştır. Traverten atıklarının yol üstyapısında temel ve alt temel tabakalarında kullanımı ile mekanik performansın artacağı beklenmektedir. Atık malzemelerin geri dönüşümünün sağlanması ve atık yönetiminin sürdürülebilirliği açısından da çalışmanın yararları olacağı düşünülmektedir.

Bu araştırmada amaç, atık malzemelerin mermer fabrikalarında üretim sırasında ortaya çıkan traverten atığı numunelerinin yol inşaatlarında agrega olarak kullanılabilirliğinin incelenerek ülke ekonomisine katkı sağlanmasıdır. Traverten atıklarının geri dönüşüm malzemesi olarak kullanılması endüstriyel ve çevresel açıdan kazançlar sağlamaktadır.

2. GENEL BİLGİLER

Çalışma kapsamında kullanılan karayolları ile ilgili bazı tanımların açıklamaları aşağıda verilmiştir.

2.1.Yol Üstyapısı

Genellikle alttemel, temel ve kaplama tabakasından meydana gelen, araçların seyri sırasında yola aktarılan dingil yüklerini altyapı için taşınabilir değere indirmek, altyapıyı güvende tutmak ve düzgün bir yüzey oluşturmak için altyapının üzerine yerleştirilen yol yapısına “Karayolu Üstyapısı” denilmektedir (Yılmaz, 2008).

Karayolları teknik şartnamesinde yol üst yapısı tanımı; “trafik yükünü taşımak üzere yapılan ve kaplama, temel, alttemel tabakalarını da içine alan yol yapısıdır.” şeklinde ifade edilmiştir (KTŞ, 2013).

Yol üstyapısının tasarımdan beklenen en önemli unsur, hizmet ömrü boyunca deformasyon ve çatlamalara maruz kalmadan güvenli bir şekilde mevcut taşıt trafiğini karşılayacak tabaka kalınlıklarına ve malzeme özelliklerine sahip olmasıdır (Dündar, 1998).

Üstyapılar, kaplama tabakasını meydana getiren malzemelerin cinsine, özelliklerine ve yapım tekniğine göre rijit üstyapı ve esnek üstyapı şeklinde iki sınıfa ayrılmaktadır.

2.1.1.Rijit Üstyapı

Rijit üstyapı tabiri genellikle Portland çimentolu beton plak tabakası ve temel tabakasından oluşan üstyapıya denilmektedir (Kök, 2008). Rijit üstyapı, 4 ana maddeden meydana gelmektedir. Bunlar iri agregat, kum, Portland çimentosu ve su karışımıdır. Rijit üst yapı hem tek hem de iki tabakalı şekilde dökülebilir. Eğer ihtiyaç olursa üst yapının altına granüler bir kaplama altı tabakası da eklenebilmektedir. Bu tip üst yapılarda yükün taşındığı alan büyük çoğunlukla elastik temel üzerine oturan plakalardır.

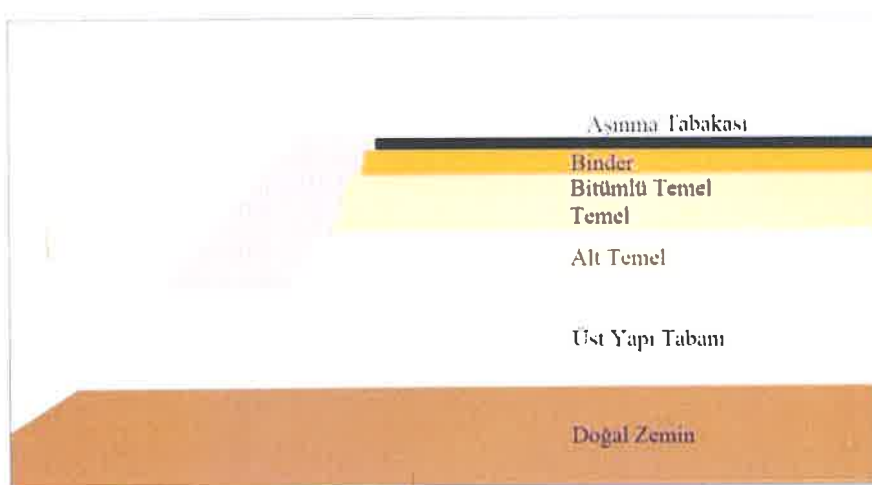
2.1.2. Esnek Üstyapı

Bitümlü malzemelerin bağlayıcı şeklinde kullanımının olduğu üstyapılara esnek üstyapı denilmektedir. Esnek üstyapı, kaplama, temel ve alt temel tabakası olmak üzere üç tabakadan oluşmaktadır. Bu tabakalardan biri olan kaplama tabakası, iki şekilde oluşturulabilir. Birinci tabakayı aşınma ve binder tabakaları bulunan sıcak bitümlü karışım oluşturulmaktadır. Bunun yanında sathi kaplamada uygulanabilmektedir. Granüler bir malzeme ve az miktarda bir bağlayıcı ile hazırlanan diğer tabakalar da vardır. Esnek üstyapıda yük iletimi alt tabakalarda

daha geniş alana yayılmaktadır. Bu durum, taban zemininin yükü taşıyacağı değere indirgeme esasına dayanmaktadır (Şenol, 2019). Temel tabakasının üzerine yerleştirilen bitümlü sıcak kaplamalar yapım tekniği ve uygulanma amaçları farklı olarak sathi kaplama ve bitümlü karışımlardan oluşturulmaktadır. Trafik yoğunluğunun fazla olduğu karayollarında ve şehir merkezlerinde genellikle bitümlü karışımlardan oluşan kaplamalar, trafiğin az yoğun olduğu karayollarında ise genellikle sathi kaplamalar tercih edilmektedir (Öksüz, 2011).

Esnek üstyapı, alttemel, temel ve kaplama tabakalarından oluşmakta olup bu tabakalar çok değişik şekillerde dayanım, performans, kullanılan malzemelerin özellikleri, geçirimsizlik özellikleri ve yapım teknikleri açısından farklılık göstermektedir. Yolun yüzey kısımları daha dayanıklı ve kaliteli malzemelerden oluşmaktadır. Temel ve alt temel tabakalarına doğru inildikçe malzemelerin mekanik özellikleri ve kalitesi düşmektedir. Esnek üstyapının istenilen şekilde olmasının sağlanması için, esnek üstyapıyı oluşturan tabakaların ve taban zemininin uygulanan şartname kriterlerini sağlayacak şekilde projelendirilmesi ve uygulanması gerekmektedir (Seren, 2015).

Alttemel tabakası, granüler malzemeden oluşan taban zeminin üzerine yerleştirilen ayrıca temel tabakasını taşıyan bir üstyapı tabakasıdır. Temel tabakası, kaplama tabakasından gelen gerilmeleri alt tabakalara yaymak, don etkisini azaltmak ve drenaja yardımcı olmak amacıyla alttemel veya taban zemini tabakasının üstüne uygun kalınlıkta serilen üstyapı tabakasıdır. Kaplama tabakası ise trafik etkilerine ve iklim şartlarına dayanabilecek şekilde inşa edilen en üst tabakadır. Bu tabaka, binder ve aşınma tabakası olarak adlandırılan iki farklı kısımdan oluşmaktadır (Deniz, 2002). Şekil 2.1'de örnek bir karayolu üstyapısı gösterilmektedir.



Şekil 2.1. Karayolu üstyapısı görünüşü (Seren, 2015)

Esnek yol üstyapısında granüler tabaka, kaplamanın deformasyona karşı direnme kabiliyeti ve geçirgenlik açısından yolun kullanım ömründe önemli bir yer tutmaktadır. Granüler tabakaların davranışlarını etkileyen faktörler; üstyapıda kullanılan agreganın cinsi, yapısı, agrega dane şekli, kalitesi, fiziksel özellikleri, sahip olduğu ince malzemenin çeşidi, miktarı, yüzey dokusu ile gerekli sıkıştırma seviyelerine bağlı olarak yoğunluk ve su muhtevası değerleri olarak sayılabilir (Kaya vd., 2013).

Esnek üstyapılar ülkemizde; malzeme, ekipman ve makinelerin yeterli sayıda olmasından dolayı yaygın şekilde kullanılmaktır ve uzmanlaşmış ekipler tarafından uygulanmaktadır (Bağdatlı ve Yıldırım, 2017). Her türlü hava koşullarına karşı dayanıklılığı yüksek olmasından dolayı esnek üstyapılar yaygın olarak kullanılmaktadır. Esnek üstyapılarda bulunan granüler tabakaların üstyapının performansı açısından önemi büyüktür (Araya vd., 2012).

Araç yüklerinin zamanla üstyapı katmanlarında meydana getirdiği deformasyonları en aza indirebilmek için üstyapıda kullanılan malzemelerin deneylerle malzeme kalite tayininin sağlanması çok önemlidir. Deneyler sonucunda kalite düzeyinin ve performansı etkileyen faktörlerin bilinmesi ve üstyapı projelendirilmesinde dikkate alınması ile yolun kalitesi artırılıp ömrü uzatılabilir (Yılmaz vd., 2008).

2.1.3. Üstyapılarda Kullanılan Malzemeler

Üst yapılarda aggregalar ve bağlayıcılar yer almaktadır. Yol yapımında ana malzeme olarak agrega kullanılmaktadır. Yola etki eden yüklerin ortaya çıkardığı gerilmelerin yaşanmasında önemli bir yeri olan aggregalar, üstyapının ağırlık ve hacim olarak önemli bir kısmını oluşturmaktadır. Bu yönleri ile aggregalar ve sahip oldukları özellikler, karayolunda çalışan yol mühendisleri için büyük bir öneme sahiptir. Bu sebeple farklı agrega tiplerinin sahip olduğu karakteristiklerin bilinmesi, yolların projelendirilmesi sürecinde önemli bir yer tutmaktadır (Şenol, 2019).

Agregalar birçok farklı alanda kullanılmakla beraber, inşaat sektöründeki kullanımı oldukça yaygın olup gereklilik arz etmektedir. Ülkemizde yol yapım işlerinin artış göstermesi, nüfusun artış gösterdiği şehirlerde kentsel büyümeye ve gelişme olması sonucunda aggregaya gereksinimin artmasına sebep olmuştur (Soykan vd., 2015).

Esnek ve rijit kaplamalarda aggregalarda aranılan özellikler birbirine benzer olmanın yanı sıra kaplamanın tipine, kullanım amacına ve trafik hacmine göre aggregalardan beklenen

özelikler farklılık gösterebilir. Örnek olarak, rijit kaplamalarda kullanılan alt temelin amacı pompaj etkisini ve don etkilerini engellemek, drenaj vb. gibi koşulları sağlamak iken esnek kaplamaların alt temel ve temel tabakalarının amacı bunlara ilave olarak trafik yükünü zemine güvenli bir şekilde aktarabilmek amacıyla yük taşımadan da sorumlu olmasıdır. Dolayısıyla bu tabakalarda kullanılacak agregaların gradasyon-yoğunluk, dayanıklılık, dane şekli, yüzey yapısı, kırılmışlık oranı, plastisite, permabilite gibi özelliklerinin gerekli koşulları sağlaması gerekmektedir (Akbulut vd., 2006).

2.1.4. Agregalar

Asfalt yolların yapımı sırasında temin edilen yol malzemelerinin yaklaşık %95'i agregalardan meydana gelmektedir. Yol yapımında kullanılmak için agregaların temini, genellikle etraftaki ocaklılardan ya da doğal agregalardan sağlanmaktadır (Akbulut ve Gürer, 2006).

Amerikan standartlarından ASTM D8'de agrega tanımı, "Harç veya beton oluşturmak maksadıyla bağlayıcı bir madde ile veya temel tabakaları, demiryolu balastları vb. işlerde tek başına kullanılan kum, çakıl, cıruf ya da kırma taş gibi mineral kompozisyonlu granüler bir malzemedir" şeklindekiştir. Doğal kayaçlar ve mineraller "Mineral Agregalar" şeklinde isimlendirilmektedir. Agregalar; bina inşaatlarında, yol üstyapısında, köprü vb. su yapılarında ve altyapı çalışmalarında kullanılan inşaat sektörü için önemli bir hammadde dir. Agrega ve su; kişi başına düşen miktar hesaplandığı zaman Dünya'nın en yüksek oranda harcanan maddeleridir. Dünya'da üretilen agregalar, maden üretiminin tamamının % 58'ini oluşturmaktadır (Yılmaz vd., 2012). Asfalt yollar için kullanılan agregalar, doğal agregalar ve yapay agregalar olarak iki ana başlıkta incelenebilir.

2.1.4.1. Doğal Agregalar

Doğal agregalar, doğal yollarla ve fiziksel olarak oluşan agregalardır. Doğal agregalar, doğal olarak parçalanmış olarak bulunur ya da dere, teras gibi alanlardan daha büyük parçalar halinde çıkartılıp konkásörlerle istenilen boyutlara ulaşılır. Doğal agregalar yapı itibarıyle kırma taşlardır (Deniz, 2002).

Doğal agregalar, köken olarak minerallerden oluşan karışımalar halinde bulunabilmektedir. Kum ve çakıldan oluşan malzeme, tüvenan agrega şeklinde isimlendirilmektedir. "Tüvenan" sözcüğü Fransızca kökenli olup "hepsi bir arada" anlamına gelmektedir (Çobanoğlu vd., 2014).

Doğal agregalar arasında yer alan çakıl ve kum; ovalardan, teraslar ve çöllerden, derelerden ve eski dere yataklarında oluşan oacaklardan temin edilir. Kırma taş, büyük taşların, bütün aggrega parçalarının kırılmış bir yüzeye sahip olacak bir biçimde kırılması neticesinde meydana gelmektedir. Ana kayaçların taş oacaklarında patlatılmasıyla parçalanan taşlar konkasörden uygun bir şekilde geçirilerek arzu edilen boyutlarda aggrega elde edilir. Kırılmış taşlar, arzu edilen aggrega boyutları elde edilebilmesi için uygun eleklerden geçirilirler. Kaba aggregaların üretilmesinden sonra, konkasörden arta kalan silt malzemesine karşılık gelen kırma kuma filler, mısır tozu veya taş unu denilmektedir (URL-3, 2019). Şekil 2.2’te kırma taş örneği gösterilmektedir.



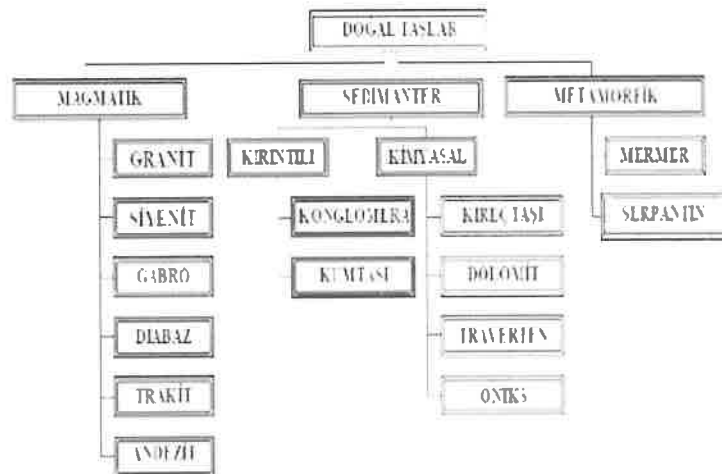
Şekil 2.2. Kırma taş örneği

Bu ve buna benzer aggregalar çoğunlukla yıkama, kırma, eleme gibi işlem aşamalarından sonra kullanılır. İşlenmiş aggregalar, kırma işlemi ve eleme işlemeye tabi tutulmuş olan doğal kayaları içermektedir. Bu ve benzeri işlem aşamaları olmadan doğrudan kullanılabilir olan doğal aggregalarda bulunabilmektedir (URL-4, 2019).

Doğal aggregaların elde edilmesinde kullanılan kayaçlar kökenlerine göre; üç temel grupta ele alınırlar. İlk gruptaki kayaçlara, magmatik kayaç denilir. İkinci gruptaki kayaçlara, metamorfik kayaç denilir. Son olarak üçüncü gruptaki kayaçlara ise sedimanter kayaç denilir. Ayrıca ülkemizde faaliyet gösteren aggrega işletmelerinde üç tip kayaç üretilmektedir. Bunlar sedimenter grubunda yer alan karbonat kayaçlar (kalsit, kireçtaşı ve dolomit), detritik kayaçlar (kumtaşısı vs.) ve volkanik kökene sahip olan bazalt ve andezit olarak adlandırılan kayaçlardır (Yılmaz vd., 2012).

Araştırmacılar doğal taşlar için farklı sınıflandırılma sistemleri geliştirmiştir. Doğal taşların oluşumlarına göre sınıflandırması, yaygın olarak kullanılan bir sınıflandırma türüdür.

Şekil 2.3'te oluşumlarına göre doğal taş sınıflandırılması görülmektedir (Gürcan ve Büyüksağış, 2005).



Şekil 2.3. Doğal taşların oluşumlarına göre sınıflandırılması

Şekil 2.4'te sedimenter grubunda yer alan karbonat kayaçlar sınıfında yer alan kireçtaşının gösterilmektedir.



Şekil 2.4. Kireçtaşı kayaç görünümü (URL-5, 2019)

2.1.4.2. Yapay Agregalar

Yapay agregalar, fabrikalarda üretim esnasında ortaya çıkan atıklardan elde edilen yüksek fırın cüruf taşı, yüksek fırın cüruf kumu, uçucu kül gibi kırılmış veya kırılmamış agregalardır (Çağlayan vd., 1999).

Doğal olan malzemelerin fırnlarda sıcaklığın yükseltilerek genleştirilmesiyle üretilen ve yapay agregalardan olan yüksek fırın cürüfu günümüzde çok yaygın olarak kullanılmaktadır. Yapay agregalar tipik olarak hafif ağırlıklı ürünlerdir. Yapay hafif aggrega olarak şist, genleştirilmiş kil, uçucu kül, cürüf, arduaz ve farklı şist çeşitleri sayılabilmektedir (Yolcu ve Girgin, 2017).

2.2. Mermer ve Özellikleri

Yüksek miktarda sıcaklık ve basınçla başkalaşım geçirmiş olan kalkerlere mermer adı verilmektedir. Endüstriyel anlamda ise kolaylıkla cilâlanabilen ve kolaylıkla parlatılabilen taşlar, mermer olarak tanımlanmaktadır (Çetin, 2003).

Mermer, kalker ve dolomitik kalkerlerin basınç ve ısı etkileri altında başkalaşımı ugrayarak tekrar kristalleşmesiyle oluşan metamorfik kayaçlardır. Daha geniş bir bakış açısıyla ise mermeri, "Blok verebilen, kesilerek parlatma suretiyle cilalanabilen, dayanımı olan ve göze hoş görünen her türlü kayaç olarak tanımlanmak mümkündür (Ural ve Yakše, 2015).

Daha farklı bir bakış açısıyla mermer, endüstriyel yönden değerlendirilebilir. Bu tanıma göre; işlenmesi mümkün olan, cilalama, parlatma ve boyutlandırma işlemleri uygulanabilen ya da dekorasyon ürünü olarak kullanılan tüm doğal taşlar mermer kapsamına alınabilmektedir. Mermer; petrografik olarak tanımlanmış ve masif bir yapıda, kabaca tekdüze irilikte olan ve kalsit kristallerinin arasında boşluk bırakmaksızın dizildiği bir mozaik olarak açıklanmaktadır (Kavas ve Kibici, 2001).

Mermerin en önemli fiziksel özelliği sahip olduğu renk olmakla birlikte beyaz haricindeki renkler mermerin içeriğinde yer alan yabancı maddelerden dolayı oluşmaktadır. Mermerin kalitesi sahip olduğu renk, saydamlık, dayanıklılık, üzerindeki çatlak ve boşluk miktarı gibi etkenlere göre belirlenir (Kadıoğlu ve Özav, 2008).

Doğal taşların birim hacim ağırlığı, dokusal ve mineralojik bileşimine bağlıdır. Mermerlerde bu oran en az $2,5 \text{ g/cm}^3$ olarak kabul edilmektedir. Bir cismin birim hacminin kütlesine öz kütle denir. Farklı doğal taşların öz kütleleri de farklı olmaktadır. Bazı doğal taşların öz kütleleri Tablo 2.1'de listelenmiştir.(URL-6, 2019)

Tablo 2.1. Doğal taş öz kütleleri

Doğal taş Adı	Öz Kütle(g/cm ³)
Pomza taşı	0,50 – 1,75
Volkanik tuf	1,10 – 1,75
Kalker tüfü	1,10 – 2,00
Kalker	2,00 – 2,40
Traverten	2,20 – 2,50
Dolomit	2,30 – 2,90
Kristalize kalker	2,40 – 2,70
Trahit	2,40 – 2,75
Porfir	2,45 – 2,70
Gnays	2,50 – 2,70
Serpentin	2,50 – 2,75
Granit	2,55 – 2,75
Kristalin Şist	2,60 – 3,10
Mermer	2,70 – 3,00
Siyenit	2,70 – 3,00
Diorit	2,75 – 3,20
Bazalt	2,75 – 3,20

Bilimsel isimlendirme kapsamında değerlendirildiği zaman “mermer” ismi kullanıldığı gibi, jeolojik kökenleri oldukça farklı olan diğer renkli doğal taşlara da, “traverten”, silisli taşlar grubundan “granitler”, “serpentinler” gibi farklı isimler de kullanılabilmektedir (Sel, 2006).

2.3. Traverten ve Özellikleri

Ülkemizde çok farklı tipte traverten yatakları bulunmaktadır. Genellikle tabaka tipi oluşumlar şeklinde görülen başlıca traverten yatakları; Adana, Antalya, Denizli, Konya Mersin, Sivas, Van, Eskişehir, Erzurum ve Kayseri bölgelerinde bulunan traverten yataklarıdır. Bu yataklardaki travertenler genellikle beyaz, krem, beyazımsı krem, açık kahve ve sarı renkli, süngerimsi yapılı, belirsiz tabakalanmalıdır ve bol gözeneklidir (Polat, 2011). Şekil 2.5’de genellikle ülkemizde çok görülen açık renkli traverten gösterilmektedir.



a.Ocaktan çıkışlı halı

b.Fabrikada işlenmiş halı

Şekil 2.5. Traverten görünüşü

Traverten ve tufalar, eski karbonatlı kayaçların atmosferik ve yer altı sularının etki etmesiyle çözünerek kalsiyum bikarbonatça zenginleştirdiği kaynak sularından başlayarak karasal ortamlarda tekrar CaCO₃ çökeltmesiyle meydana gelen kayaç türleridir. Tufa; yüksek gözenekli, süngerimsi, yaprağımsı ve odunsu dokulu soğuk su karbonat çökellerini tanımlamada kullanılmıştır. Travertenler, oluşum şartları açısından termal kaynaklarda meydana gelmektedir (Pedley, 1990).

2.3.1. Traverten Atıklarının Yol Üstiyapısında Kullanımı

Endüstriyel atıklar konusunda yapılan bilimsel araştırmalar sonucunda atıkların çevre problemleri oluşturmamasını engellemek amacıyla geri dönüşüm işlemeye tabi tutulması planlanmıştır. Bu geri dönüşüm işlemi sadece çevre kirliliği açısından değil aynı zamanda ulaştırma sektöründe olduğu gibi farklı alanlarda ortaya çıkan atıkların bertaraf edilmesinin sağlanması ve doğa tahrifatını en aza indirgeyerek üretimdeki verimliliği de artırması düşünülmektedir (Erdem ve Öztürk, 2012).

Mermer işletmeciliğinin ve doğal taş işletmeciliğinin yer aldığı bölgelerde bazı topografik ve çevresel problemler oluşabilmektedir. Doğal taş üretimi esnasında ve mermer bloklarının çıkartılması sürecinde doğal çevre morfolojisi bozulmakta ve buna bağlı olarak toprak kayması vb. topografik değişkenler oluşabilmektedir. Bu durumun yanında görüntü kirliliği de oluşabilmektedir. Mermer ocaklarında yapılan blok üretimi sürecinde oluşan ve pasa adı verilen atık maddeler işletmenin belirlediği bir pasa döküm sahasına kamyonlar vasıtıyla götürülerek biriktirilir. Yakın bölgelerde çalışan birden fazla üretim sahasından çıkan atık maddelerin bir alana dökülmesi daha belirgin bir görüntü kirliliğinin oluşmasına sebep olmaktadır. Bu alanlarda biriktirilen pasa atık maddeleri, herhangi bir başka amaç için

kullanılmamaktadır. Mermer fabrikalarında üretim esnasında oluşan parça atıklar, paletyen adı verilen işlenmiş kırık mermer parçası şeklinde olup genellikle fabrika çevrelerinde görüntü kirliliği sağlayacak şekilde düzensiz büyük yiğinlar meydana getirmektedir (Yıldız, 2008). Agrega kaynaklarının hızla azalması, çevreye verilen zararların artması, agrega üretimi için yapılan harcamaların yükselmesi nedeniyle karayollarının yapımı sırasında önemli bir etkisi olan üstyapı maliyetinin düşürülmesi için alternatif malzeme temin edilmesi ve uygulanabilir seçeneklerin gözden geçirilmesi gereklilik arz etmektedir (Seferoğlu vd., 2015). Uzun zamanlardan bu yana üretim süreçlerinin ardından oluşan atık malzemelerin inşaat malzemeleri yerine kullanımı ile ilgili çok farklı ve çeşitli çalışmalar yapılmıştır. Teknolojik gelişmelerin gün geçtikçe artması gelişimin yanında kirlilik oranlarını da yükseltmektedir. Tüm Dünya'da bu sorunun çözümü ile ilgili birçok çalışma yapılmaktadır. Yapılan araştırmalar ortak olarak atık malzemelerin yeniden kullanımını noktasını amaçlamaktadırlar. Bu çalışmaların yanında uluslararası standartlaştırma kuruluşları ve çevre örgütleri, toplumun oluşan ihtiyaçlarını karşılamak için yeni metodolojiler ve araç-gereçler geliştirmeye yöneliktedirler.

Aşağıdaki bölümde mermer ve benzer atık yan ürünlerin yeniden kullanımı ile ilgili bazı çalışmalar derlenerek özetlenmiştir.

2.4. Önceki Çalışmalardan Örnekler

Akbulut vd. (2003), hazırlamış oldukları çalışmada; Afyon bölgesinde üretim sırasında ortaya çıkan atık mermer parçalarından oluşan agregaların Afyon Belediyesi'nin yol yapımı işlerinde kullanılabilirliğini incelemiştir. Türkiye'deki kaynakların kullanımında ciddi ekonomik kayıpların oluşmasının daha çok malzemelerin yeniden kullanımında ortaya çıkan zorluklar sonucunda olduğundan bahsetmişlerdir. Ayrıca Türkiye'de, Avrupa ve Amerika Birleşik Devletlerine kıyasla geri dönüşümün çok düşük olduğunu belirtmişlerdir. Karayollarında kullanılan kaplama malzemelerinin ortalama % 90 oranında aggregalardan meydana geldiğinden bahsetmişlerdir. Bununla birlikte aggregaların yüksek maliyetli olduğunu söylemektedirler. Asfalt malzemelerinde kullanılan aggregaların sadece ekonomik kazanç sağlamakla kalmayıp çevreye ve tarım arazilerine oluşturdukları zararlarında önüne geçilmesi sağlanacağından söz etmişlerdir.

Erol (2008), yaptığı çalışmasında; atık maddelerin artması sorunun çözümü için ülkelerin birçoğunu bir takım araştırmalar yaptığından söz etmiştir. Bu araştırmaların ortak amacının, halen yapılmasına devam edilen çalışmaların incelenip atık malzemelerin kullanılabilmesi için yeni çözümler üretilmesi olduğunu söylemektedir. Çalışma kapsamında atık malzemeler, yapılan analizler ve deneyler ışığında incelenmiştir. Atık malzeme kapsamına,

ekonomik ömrü dolmuş araç lastikleri, metal cürüfu ve uçucu kül dâhil edilmiştir. Bu malzemelerden kullanım ömrünü doldurmuş lastikler ve uçucu kül üzerinde yapılan laboratuvar deneylerinin yanında metal cürüfu için deneylerin yanı sıra nümerik analiz ve arazi uygulaması da yapılmıştır. Araştırma kapsamında inceleme altına alınan malzemelerin karayollarında temel olarak kullanılmasının yolun dayanıklılığı yönüyle bir sorun açmadığı gibi çevresel yönden de herhangi bir problem meydana gelemeyeceği belirtilmiştir. Çalışmanın sonucunda kullanım ömrünü doldurmuş lastik, metal cürüfu ve uçucu kül atık malzemelerinin karayollarında temel malzemesi olarak kullanımının uygun olduğundan bahsetmektedir.

Ural ve Yakše (2015), yapmış oldukları çalışmada; Bilecik ilinde ortaya çıkan mermer atıklarının yol temel malzemesi olarak değerlendirilmesi yönünde araştırmalar yapmışlardır. Bu amaçla, çalışma kapsamında; hava tesirlerine ve donmaya karşı dayanıklılık deneyi, Los Angeles deneyi, yassılık indeksi deneyi, organik madde tespiti deneyi, su emme deneyi, Atterberg kıvam limitleri deneyi ve metilen mavisi deneyleri yapılmıştır. Yapılan deneyler ile karayolları teknik şartnamesinde belirtilen şartların taşınıp taşınmadığı incelenmiştir. Yapılan analizlerin sonucunda ulaşılan bilgiler ışığında, Bilecik İlinde bulunan mermer fabrikalarından elde edilen atıkların arasında yapılan kıyaslama sonucu 3 bölgeden elde edilen atıkların Karayolları Teknik Şartnamesinde belirtilen alt temel ve temel malzemesinin gerekli fiziksel özellikleri sağladığını belirtmişlerdir.

Akbulut ve Gürer (2006), yapmış oldukları çalışmalarında; Afyon-İscehisar bölgesinde yer alan homojen yapıdaki bir mermer ocağından mermer atıkları elde etmişlerdir. Toplanan atık maddeler, agrega üretiminde kullanılmış ve karşılaştırmanın yapılabilmesi için şehir içi asfalt uygulamalarında kullanılan bir şahit agrega numunesi kapsama alınmıştır. Araştırma kapsamında, Marshall stabilite akma deneyi uygulanmış ve ardından da dölaylı çekme deneyleri yapılmıştır. Deneyler sonucunda, deneyde yer alan agrega numunelerinin orta ve düşük düzeyde trafiğe maruz kalan yollarda kullanılabileceği sonucuna ulaşmışlardır.

Yılmaz ve Yıldız (2015), yapmış oldukları çalışmalarında; fabrikaların oluşturduğu atıkların bertaraf edilmesinin maliyetler oluşturuğuna dikkat çekerek bu konuda alternatif bir çözüm yolu geliştirme yolunda araştırmalar yapmışlardır. Bu konuda literatürde yapılan akademik çalışmalara atıf yapılarak, yol inşaatları kapsamında atık cürüflarının kullanımı araştırılmıştır. Yapılan işlemler sonucu numunelerin doğal agrega özelliklerini gösterdiği bildirilmiştir. Bu bilgilerin yanında, atıkların geri kullanımlarında insan sağlığı ve çevre faktörlerinin de düşünülmesi gerektiğinden bahsetmişlerdir. Çalışmada bu konuda, ferrokrom (FeCr) atıklarının yer altı sularına yönelik etkileri tespit edilmeye çalışılmış ve liç deneyi de yapılarak üstyapıda yer alan atık malzemeden olabilecek sızıntınlarda zararlı madde ve ağır

metallerin olma durumu incelenmiştir. Yapılan çalışma sonucunda uygunluk durumlarını göstermişlerdir.

Özdemir vd. (2017), yaptıkları çalışmalarında; yol inşaatlarının temel ve alt temel tabakalarında mermer atık maddelerinin kullanılma durumlarını incelemiştir. Çalışmada Malatya Bej, Adiyaman Emrador ve Erzurum traverten atıklarından numuneler elde edilmiş ve numuneler üzerinde tane boyu dağılımı, su emme, Los Angeles aşınma, tane yoğunluğu, likit limit, Proktor, donmaya dayanıklılık gibi deneyler uygulanmıştır. Araştırmaların sonucunda, numunelerin temel ve alt temel tabakalarında kullanılabılır olduğundan bahsetmişlerdir.

Yılmaz ve Sütaş (2015), yaptıkları çalışmada; Antalya Eti ferrokrom tesislerinden elde edilmiş olan elektrik ark firmı cürüflarının yol üst yapısı temel tabakalarındaki kullanımlarını deneysel olarak araştırmışlardır. Analiz kapsamında, CBR ve Proktor deneyleri ve serbest basınç dayanımı deneyleri yapılmıştır. Yapılan çalışmada ulaşılan sonuçlara göre, doğal agregaya bir alternatif olarak, endüstriyel bir atık olan ferrokrom cürüfları mekanik ve fiziksel özellikleri dikkate alındığında bu maddelerin yol üstyapısında yer alan granüler tabakalarda kullanılabilirliğinden bahsetmişlerdir. Ayrıca bağlayıcı bir malzeme ile stabilize edilmesi durumunda özellikle yüksek trafik yoğunluğuna sahip olan karayolları için kullanışlı bir stabilizasyon malzemesi olabileceği de anlatılmışlardır.

Okubay ve Yardım (2016), yapmış oldukları çalışmada; karayolu üst yapılarında kullanılan bitümlü sıcak karışımlarda mermer atıklarına yönelik yeni bir kullanım alanı araştırmışlardır. Bu araştırmmanın sonucu mermer atıklarının aggrega ve filler malzemesi olarak kullanılabilirliğine yönelik bir araştırma yapılmıştır. Numuneler üzerinde standart bağlayıcı ve superpave bağlayıcı performans deneyleri yapılmış, Marshall yöntemi sayesinde aggregalara yönelik fiziksel özellik bilgisine ulaşılmış, bu sayede elde edilen karışım türlerinin optimum bitüm içeriğine yönelik bilgiler elde edilmiştir. Deneylerin sonuçlarına göre, numune olarak alınan atık malzemelerin şartnamedeki değerlerini sağladığından bahsetmişlerdir

Akbulut ve Gürer (2003), yapmış oldukları çalışmalarında; Afyon mermer ocaklarından elde edilen aggregaları analiz kapsamına almışlardır. Atık mermerlerin kullanımıyla Afyon belediyesinin bir yılda kullandığı doğal aggrega ihtiyacının rahatlıkla karşılanabileceğinden bahsetmişlerdir. Bu gelişmenin ekonomik bir katkı da sağlama hususuna degeinmişlerdir. Şehir içi yollar gibi yüksek standart gerektirmeyen yollarda atık mermer kullanımının herhangi bir sorun oluşturmayacağı sonucuna ulaşmışlardır.

Terzi ve Karaşahin (2003), yapmış oldukları çalışmalarında; mermerlerin kesimi esnasında ortaya çıkan bir atık olan mermer tozunun asfalt betonunda kullanılan filler malzemesi yerine kullanılabilirliği yönünde bir araştırma yürütmüşlerdir. Çalışmaya göre,

Marshall stabilite deneyi ve plastik deformasyon deneyleri yapılmıştır. Sonuç olarak, mermer tozlarının kullanımını sonucunda çevresel bir katkı sağlanabileceği, bunun yanında mermer tozuna ulaşımın nispeten daha kolay olduğu yörelerde, asfalt betonu karışımı hazırlanırken taş tozu kullanımını yerine mermer tozunun filler malzemesi olarak kullanımının uygun olacağı görüşünü belirtmişlerdir.

Ergezer (2018), yapmış olduğu çalışmada; traverten atık maddelerinin yol temel ve alt temel tabakalarında kullanılabilirliğini incelemiştir. Bu kapsamında Sivas ili sıcak çermik bölgesi traverten atıklarını numune olarak kullanmıştır. Elde edilen atık mermerler laboratuvar ortamında deneylerde kullanılabilcek bir hale getirilmiştir. Numunelerin fiziksel özelliklerinin belirlenmesi amacıyla; yassılık indeksi deneyi, elek analizi deneyi, kaba ve ince agregada su emme deneyi, hava tesirlerine karşı dayanıklılık deneyi, Los Angeles deneyi, likit limit ve plastik limit deneyi, metilen mavisi deneyi, organik madde tespit deneyi ve modifiye Proktor deneyi uygulanmıştır. Deney sonuçlarına bakıldığından beklenilen değerlerin üzerinde olduğu ortaya konulmuştur.

Ok ve Demir (2018), yapmış oldukları çalışmalarında; granüler malzemenin doğal yollardan temininin, maliyetlerinin yüksek olması sebebiyle alternatif olarak kentsel dönüşüm projesi sonuçlarına göre incelendiğinde depreme karşı dayanıklı olmadığı belirlenen yapıdan alınan yıkıntı atıklarının birtakım işlemlerden geçirilerek geri dönüşümü yapılmasından bahsetmişlerdir. Laboratuvara yapılan fiziksel ve mekanik özellik belirleme deneyleri ile bu malzemenin karayollarında dolgu malzemesi olarak kullanımı tespit edilmeye çalışılmıştır. Yapılan deneyler sonucunda binalardan elde edilen yapım ve yıkım atıklarının geri dönüştürülerek karayolu dolgularında kullanılmasına engel olabilecek herhangi bir sonuç ile karşılaşılmadığını anlatmışlardır.

Yılmaz (2017), yapmış olduğu çalışmada; doğal agregaya alternatif olarak kullanılabilcek olan atık maddelerin çevresel etkileri üzerinde bir analiz gerçekleştirmiştir. Bu sebeple, ferrokrom (FeCr) cürüf atıklarının kullanımı esnasında mevcut yer altı sularına oluşturabilecegi etkilerin saptaması amacıyla liç deneyleri yapılmıştır. Deney kapsamında atık maddenin muhtemel zararları standartlara uygunluğu belirlenmeye çalışılmıştır. Hazırlanan karışımlarda %10 çimento olan liç deneylerinin sonuçları olumlu olmuştur. Gözlemlenen sonuçlara göre, Atık cürüfun çimento ile karıştırılması sayesinde Cr gibi kirleticiler atık maddenin bünyesinde kalmakta ve yeraltı sularına kirlilik oluşmamaktadır diye izah etmiştir.

Ontürk vd. (2014), yapmış oldukları çalışmalarında; endüstrilerin üretimlerini gerçekleştirirken ortaya çıkan katı atık maddelerin otoyol temel malzemesi olarak kullanılması durumunu analiz etmişlerdir. Bu kapsamında, incelenen atık maddelerin temel tabakaları

üzerindeki serbestlik dayanımı ile rijitlikleri incelenmiştir. Farklı oranlarda ilaveler ile bir dizi deney yapılarak otoyol alt temel yapısında değerlendirilmesi için 7-14 gün arasında küre maruz bırakılmıştır. Yapılan işlemin sonunda standart kompaksiyon değerlerinin yanında Kaliforniya taşıma oranı (CBR) değerlerindeki değişimler izlenmiş ve Kaliforniya taşıma oranında artış kaydedildiğinden bahsetmişlerdir.

Üstünkol ve Turabi (2010), yapmış oldukları çalışmalarında; bitümlü sıcak karışımında, sudan kaynaklanan bozulmaların azaltılması ve mümkün olan en düşük düzeye çekilmesi amacıyla çalışmaları yapmışlardır. Bu kapsamda, suyun kohezyon etkisini ortaya çıkarmak ve endüstriyel atık ve filler malzemelerinin en elverişsiz durumlarını belirlemek amacıyla Marshall deneyi uygulanmıştır. Yapmış oldukları çalışmada, değişik özelliklere sahip olan endüstriyel atıkların (fosfo alçı, mermer tozu, cam tozu, uçucu kül) asfalt betonunun aşınma tabakasında kullanılması durumundaki fiziksel ve mekanik etkilerini araştırmışlardır. Farklı bitüm oranlarını kullanarak hazırladıkları numuneler için Marshall metodunu uygulamışlardır. Sabit bitüm miktarına karşılık olarak % 0 oranında taş tozu ve % 7 oranında endüstriyel atık filler kullanarak hazırladıkları bitümlü karışımlara suyun sıkıştırılmış bitümlü karışımının kohezyonuna etkisini belirlemek amacıyla Marshall deneyi yapmışlardır. Ayrıca stabilite ve akma değerlerinin değişimini incelemiştir. Deney sonuçlarına göre, kullanılan endüstriyel atık filler malzemelerin yüksek sıcaklıklarda ve değişen kür şartlarında, asfalt betonu kaplamalarda taş tozunun filler yerine kullanılabilceğinden bahsetmişlerdir.

Çobanoğlu vd. (2014), yaptıkları çalışmada; mermer ocaklarının üretim alanlarında oluşan traverten parçalarının betonlarda agrega yerine kullanılması durumunu araştırmıştır. Öncelikle atık malzemelerden elde edilen aggregalar fiziksel özellikleri ve mekanik özellikleri yönyle incelenmiştir. Daha sonra denemek amacıyla beton karışımları hazırlanmıştır. Farklı sürelerde sürdürulen deneylerde kullanılan beton, kırma aggregalı beton ile kıyaslanmıştır. Yapılan deneylerin göstergelerine göre, travertenden elde edilen agrega kullanılarak hazırlanan betonun C30 sınıfı beton dayanıklılık değerlerini taşıdığını göstermişlerdir.

Ceylan ve Mança (2013), yapmış oldukları çalışmada; mermer ocaklarında oluşan iri parçalı atıkların beton agregası yerine kullanılma durumunu incelemiştir. Beton üretiminde kullanılan doğal agrega, mermer atıklarından hazırlanan agrega ile kıyaslanarak deneyler uygulanmıştır. Yapılan deneyler sonucunda, iri parçalı mermer atıklarının doğal agrega yerine kullanımının uygun olduğunu anlatmışlardır.

Güven (2015), yapmış olduğu çalışmasında; Denizli ilinde ihracat ürünlerleri arasında çok önemli bir yer tutan traverten fabrikalarındaki travertenin üretimi sırasında ortaya çıkan traverten atıklarının tarıma zarar vermesini azaltmayı, atıklardan oluşan yığınları azaltmayı,

traverten fabrikalarında atık maddelerin ortaya çıkardığı maliyetleri düşürmeyi ve traverten atıklarının kullanılması sonucu betonun mekanik özelliklerinde iyileştirmeler yapmayı amaçlamıştır. Traverten üretiminde ortaya çıkan çamurun çimentonun içine % 5, % 10, % 15, % 20, % 25 ve % 30 seviyelerinde eklenmesiyle hazırlanan numunelerin, farklı yaş grupları için deneyler uygulanmıştır. Şahit olarak sadece çimento ile üretilen numunelerin sonuçları ile diğer sonuçlar karşılaştırılmıştır. Ayrıca mineral katkı olarak betona eklenen traverten çamuru için deneyler uygulanmıştır. Deney numunelerinin hazırlanması için traverten çamuru % 3, % 6 ve % 9 oranlarında eklenmiştir. Çimentoda katkı maddesi olarak hazırlanan numunelerin deneylerindeki gibi şahit numuneyle sonuçlar kıyaslanmıştır. Deneylerden elde edilen sonuçların irdelenmesiyle en uygun traverten katkı oranlarının bulunmasıyla katkı maddesi olarak daha ekonomik olan atık kullanılmasıyla üretilen parke ve bordürlerin kullanılmasından bahsetmiştir.

Kamacı (2013), yapmış olduğu çalışmasında; Türkiye'deki traverten üretiminin ve traverten işletmelerinin sayısının çok fazla olduğundan söz etmiştir. Bununla birlikte traverten işletmelerinin standartlarını yükseltebilmesinin ülke ekonomisine katkısı olacağını söylemiştir. Bu nedenle çalışmasında, traverten işletmelerinde hataların tespit edilebilmesi için firma üretim yetkilileriyle karşılıklı görüşülmesi gerektiğinden bahsetmiştir. Bu amaçla sorunların tespiti için anket hazırlanmıştır. Çalışmadaki soruların bazıları işletmeyi tanımlayabilmek için bazıları da sorunların tespiti için hazırlanmıştır. Traverteni, doğal taşlardan ayıran birçok farklılıklar bulunmaktadır. Bu farklılıklar neticesinde endüstriyel işleyiş aşamalarında meydana gelen sorumlarda değişiklik göstermektedir. Bu değişikliklerin sonucunda ortaya çıkan sorunların tespiti için 44 firma ile karşılıklı görüşme ile anket çalışması yapılmıştır. Çalışmanın sonunda, traverten yüzey işleme işlemleri olan cilalama, eskitme ve dolgu safhalarındaki problemler ile alakalı olarak tüm firmalardan elde edilen bulgular istatistik çalışmalarıyla irdelenmiştir. Sorulara verilen cevapların anlamlılığının tespit edilebilmesi için çeşitli hipotez testleri hazırlanıp uygulanmış ve tavır farklılıklarını incelenmiştir. Özette, travertenin işlenmesi safhalarında sorunlarının neler olduğu tespit edilmeye çalışılmıştır.

Dipova yapmış olduğu çalışmasında (2005), Antalya ilindeki tufa platosunun jeolojik kökenini açıklamış ve yapılan laboratuvar deneylerinden elde edilen sonuçlarla tespit edilen mühendislik özelliklerinden bahsetmiştir. Antalya tufasının çok fazla aralıklı farklılık gösteren yapısal özellikleri ve karstik boşluklarına ilave olarak, yüzeyinde kırmızı topraklar (terra-rossa) ve zayıf çimentolu birimler bulunduğu tespit etmiştir. Antalya ilindeki buna benzer zeminlere uygulanan çöken zemin deneyleri sonucunda % 1 ila % 10 değerlerinde çökme potansiyeli tespit edildiğinden bahsetmiştir. Çalışmasında ayrıca, zemin özelliği gösteren başka

bir unsur olarak karstik ayrışma aşamalarının sonucunda ortaya çıkan ürün olan kırmızı toprak(terra-rosa) hakkında ayrıntılı bilgiler vermiştir.

Literatür çalışmaları incelediğinde traverten atıklarının çoğunlukla beton agregası şeklinde kullanımından bahsedilmiştir. Karayolu üstyapısında aggrega olarak kullanımı konusunda yeterli çalışma olmadığı görülmektedir. Bu nedenle traverten atıklarının yol üstyapısında aggrega olarak kullanımı önem arz etmektedir. Bu tez çalışmasının literatürdeki bazı eksik noktaları tamamlayarak katkı sağlayacağı düşünülmektedir.

3. MATERİYAL VE YÖNTEM

3.1. Kullanılan Malzemeler

Bu çalışmada, Burdur ili Bucak ilçesinde faaliyet gösteren mermer fabrikalarından elde edilen traverten atıkları incelemeye tabi tutulmuştur. Bucak ilçesinin seçilmesinin nedeni Burdur ilindeki en fazla mermer fabrikasının olduğu Organize Sanayi Bölgesinin burada yer almasıdır. Bu kapsamda, Bucak ilçesinde yerleşik olan ve traverten ocaklarına sahip olan Portsan Mermer A.Ş. ve Başarırlar Mermer A.Ş. fabrikaları ile görüşülverek üretim sırasında ortaya çıkan ve fabrikada kullanılma imkânı olmayan traverten atıklarından numuneler alınarak incelenmiştir.

Traverten atıkları sadece fabrika sahasında değil mermer ocaklarında kesim esnasında da ortaya çıkmaktadır. Ancak ocakların lokasyonu ve ortaya çıkan traverten atıklarının boyutlarının işlenmeye uygun olmamasından dolayı sadece mermer fabrikalarında ortaya çıkan traverten atıkları incelenmiştir.

Çalışmada şahit numune olarak taş ocaklarından elde edilen kırma-taş kullanılmıştır. Doğal karma-taş Bucak ilçesi Avdancık köyü Sivişler mahallesinde bulunan Bucak Madencilik Tic. A.Ş. dolomit ocağından alınmıştır. Aşağıdaki bölümde bu malzemeler hakkında daha detaylı bilgiler verilmiştir.

3.1.1. Traverten Atıkları

İnşaat sektöründe ve sanayinin diğer kollarında önemli hammaddelerden biri olan mermerin yanı sıra traverten de aynı alanlarda kullanımı gün geçtikçe artan bir hamadden konumuna gelmiştir. Tıpkı mermer gibi travertende sahip olduğu görsel zenginliklerini uzun bir süre üzerinde muhafaza etmektedir. Maruz kalacağı sıcak havaya ve soğuk havaya karşı yalıtkan özelliği bulunmaktadır. Temizlik yönünden büyük kolaylık sağlayan traverten aynı zamanda bakımı kolay bir taştır. Sahip olduğu renk çeşitliliği ve bunun yanında desen yönünden çok zengin bir içerik potansiyeline sahip bir taştır. Sahip olduğu renkler sıralandığında, ağırlıklı olarak beyaz, açık beyaz ve kirli beyaz gibi beyaz tonlarının yanında sarı ve açık bez renkler de yaygın olarak görülmektedir. Ocakların etrafındaki tarımsal amaçlı alanlar açısından mermer ve traverten atık yığınlarının birikmesi görüntü kirliliğinin yanı sıra fiziksel kirlilik de oluşturmaktadır. Mermer ve traverten atıkları çimento, seramik, metalürji, kağıt, gübre ve yem gibi sanayideki birçok alanda ve karayolu inşaatında değerlendirilme potansiyeline sahiptir (Kadioğlu ve Özav, 2008).

Bu çalışmada bahsi geçen Portsan Mermer A.Ş. mermer fabrikasının mermer üretimi esnasında ortaya çıkan traverten atıkları Traverten (T1), Başarırlar Mermer A.Ş. mermer fabrikasının traverten üretimi sırasında ortaya çıkan traverten atıkları ise Traverten (T2) olarak adlandırılmıştır. Traverten numunelerinin alımında standart numune alım yöntemleri uygulanmıştır. Traverten (T1) atıkları Şekil 3.1'de gösterilmektedir.



Şekil 3.1. Traverten (T1) atıkları

Traverten (T2) atıkları Şekil 3.2'de gösterilmektedir.



Şekil 3.2. Traverten (T2) atıkları

Fabrikalardan alınan numuneler ilk işlem olarak, Mehmet Akif Ersoy Üniversitesi İnşaat Mühendisliği Bölümü Laboratuvarına getirilmiş ve ardından çekiç yardımıyla konkasör haznesine girecek şekilde Şekil 3.3'teki gibi kırılmıştır.



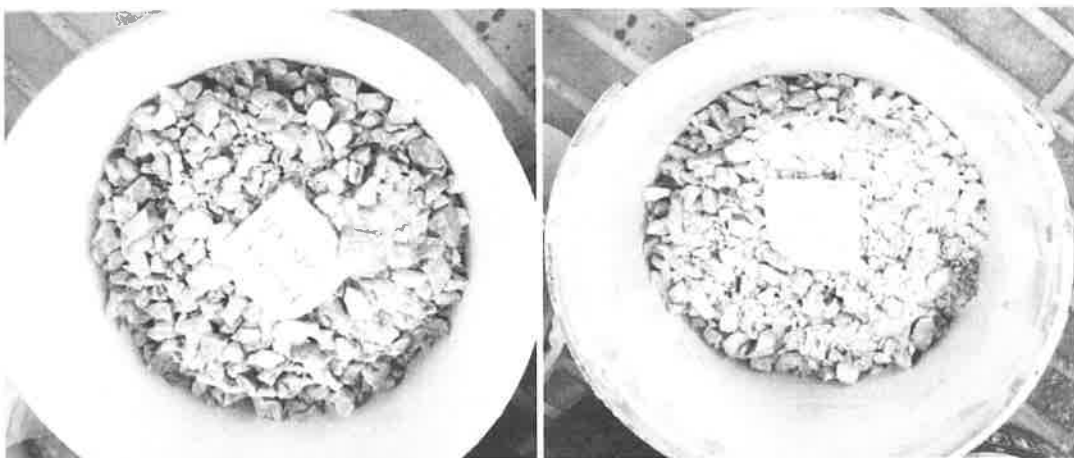
Şekil 3.3. Numunelerin konkasör haznesine girebilmesi için çekiçle kırılması

Traverten numuneleri, deney için uygun ebatlara getirilmesi için Şekil 3.4'te görüldüğü gibi konkasör yardımıyla kırma işlemi yapılmıştır.



Şekil 3.4. Numunelerin konkasör yardımıyla kırılması işlemi

Konkasörün haznesine girecek şekilde küçültülen numuneler daha sonra konkasör yardımıyla kırılıp Şekil 3.5'de görüldüğü gibi kovalara konularak deneylere hazır hale getirilmiştir.



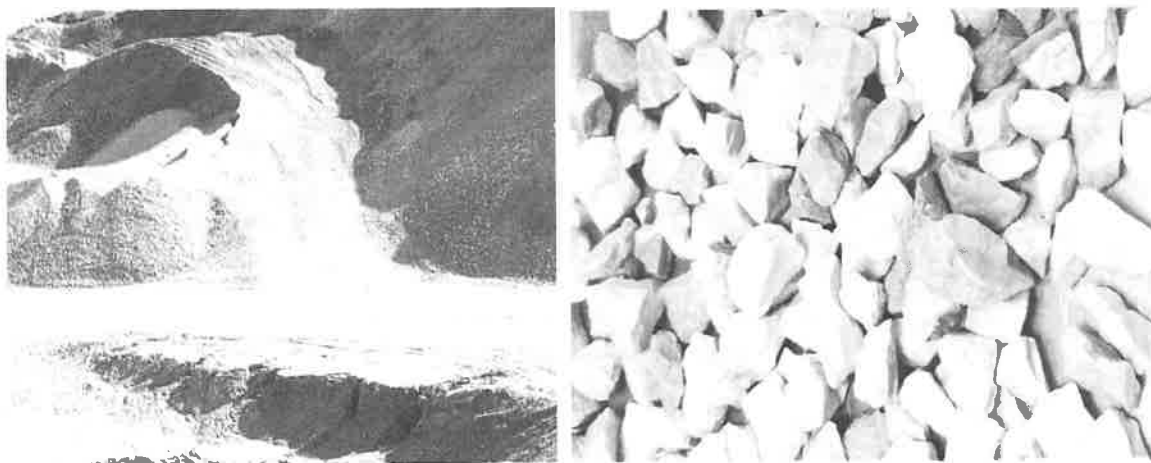
Şekil 3.5. Konkasörde kırılmış traverten numunelerin görünüsü

3.1.2. Doğal Agrega

Laboratuvar deneylerinde kullanılan traverten numunelerinin sonuçlarını karşılaştırmak amacıyla şahit numune olarak kullanılan kırma-taş numuneleri, Bucak ilçesinin Avdancık köyü Sivışler mahallesinde faaliyet göstermekte olan Bucak Madencilik Tic. A.Ş. dolomit ocağından temin edilmiştir. Şekil 3.6'da deneye kullanılan dolomit numunelerinin alındığı agregat ocağı gösterilmiştir.

Dolomit, kireçtaşında kalsiyum ile birlikte magnezyumun yer olması sonucu meydana gelen bir mineraldir. Özgül ağırlığı magnezyum oranına göre 2,71 ile 2,87 ton/m³, sertlik değeri ise 3,5 ile 4 arasında yer almaktadır. Dolomit malzemesinin; kalsine dolomit, ham dolomit ve yanmış dolomit olmak üzere üç farklı kullanım biçimi mevcuttur. Oldukça geniş bir kullanım alanı olan dolomitin sahip olduğu rezervler gayet yeterli seviyededir. Dünya'daki dolomit üretiminin neredeyse yarısı olan 120 milyon ton civarı üretim Amerika Birleşik Devletlerinde gerçekleştirilmektedir. Dolomit, yeryüzü alanının % 75 'i gibi geniş bir alanı kaplayan kayaç çeşitlerinden sedimanter kayaç grubunda yer almaktadır (Alptuna, 2009).

Sivışler mahallesinde faaliyet göstermekte olan dolomit ocağından alınan agregalar, bu çalışmada Doğal Agrega (DA) olarak adlandırılmıştır. Numuneler ince agregat, orta boy agregat ve iri agregat olarak temin edilmiştir. Doğal agregat numuneleri, deneylerin yapılabilmesi için MAKÜ İnşaat Mühendisliği Bölümü Laboratuvarına getirilerek sınıflandırılmıştır. Şekil 3.6'da Doğal Agrega (DA) numune örneği gösterilmiştir.



Şekil 3.6. Sivişler doğal agrega ocağı

3.2. Yöntem

Traverten atıkları ve şahit numune olarak doğal agregaların mekanik özelliklerinin ve yol üstyapısında kullanılabilirliğinin irdelenebilmesi için devam eden bölümlerde detaylandırılan standart deneyler sırasıyla uygulanmıştır.

Uygulanan deneyler şunlardır;

1. Elek analiz deneyi
2. Kimyasal kompozisyon tayini
3. Hava tesirlerine karşı dayanıklılık (Donma ve çözülme) deneyi
4. Gevşek – sıkışık birim hacim ağırlık deneyi
5. Tane yoğunluğu ve su emme deneyi
6. Agrega darbelendirme deneyi (AV)
7. Yassılık ve uzunluk indeksi deneyi
8. Los Angeles (aşınma) deneyi
9. Organik madde tespit deneyi
10. Modifiye Proktor deneyi
11. CBR Deneyi
12. Üç eksenli deneyi

Devam eden bölümlerde deney standartları ve yöntemleri açıklanmıştır.

3.2.1.Elek Analizi Deneyi

Agregalar fiziksel olarak farklı boytlardaki tanelerden oluşmaktadır. Granülometri bileşiminin yani tane boyutu dağılımının belirlenebilmesi için elek analizi deneyi, TS EN 933-1 deney standardına göre uygulanmıştır.

Kırılmış olan traverten numuneleri kovalara doldurularak deneyler için uygun hale getirilmiştir. Doğal agrega numuneleri kırılmış olarak temin edildiği için konkasörde kırma işlemi sadece traverten numunelerine uygulanmıştır. Doğal agrega numuneleri; ince agrega, orta boy agrega ve iri agrega boyutlarındaki agregalar karıştırılarak hazırlanmıştır.

Elek analizi deneyi için hazırlanan traverten malzeme Şekil 3.7'de gösterilmiştir.



Şekil 3.7. Kırılmış traverten numuneleri

Hazırlanan numuneler, deney standardına uygun bir şekilde küçük tepsilere konularak 105 C°'lik etüvde 24 saat kurumaya bırakılmıştır.

Elek analizinde aggregalar elle ve elek sarsma tablasına konularak elenmiştir. Elek analizi tayini için Tablo 3.1'de görülen elekler kullanılarak dane boyutu dağılımının bulunması sağlanmıştır.

Tablo 3.1. Deneyde kullanılan elekler

Elek Çapı (in)	Elek Çapı (mm)
1"	25 mm
3/4"	19 mm
3/8 "	9,5 mm
No:4	4,75 mm
No:10	2 mm
No: 40	0,425 mm
No:200	0,075 mm

Elekler büyük çaplardan küçük çaplıya doğru birbirinin içine geçirilerek en altında da pan (tava) olacak şekilde yerleştirilmiştir. Her seferinde ortalama 2 kg'lık etüvde kurutulmuş malzeme en büyük gözlü eleğin üstüne dökülüp kapak kapatılarak elek sarsma tablasına yerleştirilmiştir. Şekil 3.8'de gösterildiği gibi malzemelerin elek sarsma tablasıyla düzenli bir biçimde ayarlaştırılması sağlanmıştır.



Şekil 3.8. Deney numunelerinin elek sarsma tablasında elenmesi

Bütün deney numunelerine aynı işlemler uygulanarak Şekil 3.9'da görüldüğü gibi elek üzerinde kalan malzemeler çaplarına göre ayrılarak elektronik terazi vasıtasiyla tartılmış ve istiflenmiştir. Eleklerden geçen malzemelerin toplam malzeme miktarıyla kıyaslamasının yapılması ile yüzdeleri hesaplanmıştır. Ardından Karayolları Teknik Şartnamesinde yer alan granüler temel tabakasında kullanılan agregalar için uygun olan gradasyon dağılımı tespit edilmiştir. Bölüm 4.1'de elde edilen bulgular verilmiştir.



Şekil 3.9. Eleklerin üstünde kalan malzemelerin tane çaplarına göre ayrılması

3.2.2. Kimyasal Kompozisyon Tayini

Traverten ve doğal agrega numuneleri, öğütülverek No:200 elek çapına sahip elek kullanılarak eleme işlemi yapılmıştır. Malzemeler elendikten sonra elektronik terazide tartılarak hazırlanan 10 g'lık traverten ve doğal agrega numuneleri poşetlere konularak hazır hale getirilmiştir. Traverten ve doğal agrega numuneleri üzerinde ana oksit analizi için MAKÜ Bilimsel ve Teknoloji Uygulama ve Araştırma Merkezi'nde XRD analizi (X-Işını Toz Difraktometresi) yapılmıştır.

3.2.3. Hava Tesirlerine Karşı Dayanıklılık (Donma ve Çözülme) Deneyi

Donma ve çözülme etkilerine karşı dirençlilik deneyi olarak da adlandırılan bu deney agregaların iklim şartlarına karşı dayanıklılığını tespit edebilmek için yapılmaktadır. Kullanılacak agreganın gerçek iklim şartlarında maruz kaldığı etkiler hakkında elde yeterli bilginin olmadığı durumlarda laboratuvar ortamında yapılan hızlandırılmış bir deneydir. Özellikle Türkiye gibi soğuk iklim bölgelerinin fazla olduğu ortamlarda önemli bir deneydir. Hava tesirlerine karşı dayanıklılık deneyi sodyum sülfat (Na_2SO_4) veya magnezyum sülfat (MgSO_4) kimyasalları kullanılarak yapılmaktadır. Bu çalışmada, TS EN 1367-2 deney standarı dikkate alınarak sodyum sülfat (Na_2SO_4) kimyasalı kullanılarak deney yapılmıştır. Traverten ve doğal agrega numuneleri, TS 1367-2 deney standartına göre, her numunededen 2 adet ortalama 420 g kadar malzeme tartılıp çelik tel sepetlere konulduktan sonra 5 kg su ile 7,5 kg lik sodyum sülfat (Na_2SO_4) çözeltisi bir kovaya konulup spatül yardımıyla karıştırılarak çözelti hazırlanmıştır. Çelik tel sepete konulmuş olan numuneler sodyum sülfat (Na_2SO_4) çözeltisinin içerisinde bekletilmiştir. Şekil 3.10'da deneyin aşamaları gösterilmiştir.



Şekil 3.10.Hava tesirlerine karşı dayanıklılık deneyi yapılışı

Sepetin içindeki numuneler; çözelti içerisinde 16 saat bekletildikten sonra, 2 saat eğik bir şekilde tepsı içerisinde süzdürülmüştür. Sepetteki süzülen numuneler 105 C°lik etüvde 24 saat kurumaya bırakılmıştır. Etüvden çıkarılan numuneler tekrar 5 saat süreyle bekletildikten sonra, aynı işlemler 5 döngü olacak şekilde deney aşamaları tekrarlanmıştır. Şekil 3.11'de sodyum sülfat (Na_2SO_4) çözeltisinde bekletildikten sonra süzülmeye bırakılan deney numuneleri gösterilmektedir.



Şekil 3.11. Sodyum Sülfat (Na_2SO_4) çözeltisinden çıkarılmış deney numuneleri

5 döngü bittikten sonra deney numuneleri sodyum sülfat çözeltisi temizleninceye kadar musluğun altında yıkanmıştır. Daha sonra numuneler 105 C°lik etüvde 24 saat kurumaya bırakılmıştır. Etüvden çıkarılan numuneler göz açıklığı 10 mm olan elekten elenerek, eleğin

üstünde kalan numunelerin kurutulmuş ağırlıkları tartılarak kaydedilmiştir. Aşağıdaki denklem (3.1) yardımıyla numunelerin, hava tesirlerine karşı dayanım kaybı oranları bulunmuştur.

$$D = (A - B/A) \times 100 \quad (3.1)$$

D: Hava tesirlerine karşı dayanıklılık kaybı oranı (%)

A: Numunenin ilk baştaki ağırlığı, g

B: Deney sonunda elek üstünde kalan numunenin kurutulmuş ağırlığı, g

Karayollarında uzun süre hava tesirleri altında kalan agregalarda, donma ve çözülme gibi iklim olaylarının sonucunda gradasyon bozulması oluşmaktadır. Yol yapısının bozulmaması için agregalar, don ve çözülme olaylarına karşı dayanıklı olmalıdır.

3.2.4. Gevşek – Sıkışık Birim Hacim Ağırlık Deneyi

Traverten ve doğal agrega numunelerinin gevşek ve sıkışık olarak kapladıkları hacmin hesaplanması amacıyla TS 3529 standardına göre deney yapılmaktadır. Agrega numunelerinin hacmi 2 litre olan bir kap içerisine konularak bulunan ağırlığının kabın hacmine bölünmesiyle gevşek ve sıkışık birim hacim ağırlıklarının bulunması sağlanmıştır. Öncelikle kabın boş ağırlığı tartılarak kaydedilmiştir. Daha sonra gevşek birim hacim ağırlık deneyi için kabın tamamı sıkıştırılmadan doldurulup üzeri elle düzeltilmiş ve ağırlığı belirlenmiştir. Sıkışık birim hacim ağırlık değerinin belirlenebilmesi için kap yarısına kadar malzemeye doldurulup 25 kere şişlenerek sıkıştırılmıştır. Kabın geri kalan kısmı da malzemeye doldurulup tekrar 25 kere şişlenerek sıkıştırılmıştır. Yine aynı şekilde kabın ağırlığı belirlenmiştir. Diğer numuneler için de deney tekrar edilmiştir. Şekil 3.12'de gevşek - sıkışık birim hacim ağırlık tayini için deney numunesiyle doldurulmuş kap gösterilmiştir.



Şekil 3.12. Gevşek - sıkışık birim hacim ağırlık deneyi

3.2.5. Kaba ve İnce Agregada Tane Yoğunluğu ve Su Emme Deneyi

TS EN 1097-6 standardına göre; Tane yoğunluğu, kütlenin, hacme oranından hesaplanmaktadır. İnce agrega ve kaba agrega için ayrı ayrı tane yoğunluğu ve su emme oranı tayini yapılmıştır.

3.2.5.1. İnce Agregada Tane Yoğunluğu ve Su Emme Deneyi

Piknometre deneyi olarak da adlandırılan bu deney için öncelikle agrega dane dağılımını temsil edecek şekilde 4,75 mm ile 0,075 mm elekler arasında kalan ince malzemeden yaklaşık 500'er gram olarak hazırlanmıştır. İnce agrega tane yoğunluğu ve su emme deneyi, TS EN 1097-6 standardına göre yapılmıştır. Şekil 3.13'te tepsilere konulan numunelerin üzerini geçecek şekilde su eklenerek 24 saat bekletilen numuneler gösterilmiştir.



Şekil 3.13. İnce agrega tane yoğunluğu ve su emme deneyi için hazırlanan numuneler

Daha sonra 24 saat suda bekleyen numunelerin kuru yüzey suya doygun birim hacim ağırlığının tespit edilebilmesi için kurutma makinesi ve spatül yardımıyla şekil 3.14'te gösterildiği gibi kurutma işlemi yapılmıştır.



Şekil 3.14. İnce agrega deneyi için numunelerin kuru yüzey doygun haline getirilmesi

Numunelerin yeterli şekilde yüzeyinin kuruyup kurumadığını belirleyebilmek için Abrahams hunisi kullanılarak malzeme huninin üstündeki açıklıktan doldurulmuştur. Abrahams hunisinin üst kısmındaki boşluktan 25 defa tokmak vurularak numuneler sıkıştırılmıştır. Şekil 3.15'de görüldüğü gibi numunelerin denemeler sonucunda kuru yüzey doygun numune haline gelmesi sağlanmıştır.



Şekil 3.15. Abrahams hunisi ile kuru yüzey suya doygun halin kontrol edilmesi

Deneyde kullanılan piknometrelerin boş ağırlıkları tartılarak kaydedilmiştir. Daha sonra mevcut numuneler huni yardımıyla piknometrelerin içerisinde yerleştirilmiştir. Şekil 3.16'da piknometrelerin içerisinde konulup saf su eklenen malzemenin tanelerinin arasında hava boşluğu kalmaması için vakum pompası ile hava boşluklarının çekilmesi işlemi gösterilmektedir.



Şekil 3.16. Piknometrelere numunelere su eklenip vakum pompasına yerleştirilmesi

Piknometrenin içinde hava boşlukları alınan numuneler vakum pompasından çıkarılıp piknometredeki çizgiye kadar saf su katılıp tartılarak kaydedilmiştir. Deney için ağırlıklar kaydedildikten sonra piknometre içerisindeki numunelerin suyu boşaltılarak tepsilere alınan numunelerin kuru yoğunlıklarının tespit edilmesi için 24 saat etüvde 100 C° de kurutulmaya bırakılmıştır. Diğer numuneler için de işlem aynı şekilde tekrar edilmiştir.

3.2.5.2. Kaba Agregada Tane Yoğunluk ve Su Emme Deneyi

TS 1097-6 standardına uygun şekilde numunelerin hazırlanmasıyla deneye başlanmıştır. Her numune için 2000 g malzeme karışımı tepsilere konulmuştur. Her numunenin üzerini geçecek şekilde su eklenerek 24 saat Şekil 3.17'deki gibi suda bekletilmiştir.



Şekil 3.17. Kaba agregat numulerinin suda bekletilmesi

Numuneler tel sepete konulduktan sonra hava boşlukları giderilerek terazideki numunelerin sudaki ağırlığı kaydedilmiştir. Tel sepetten çıkarılan agregat numunelerine bir bez yardımıyla kuru yüzey suya doygun hal sağlanmıştır. Daha sonra kuru yüzey suya doygun numunelerin ağırlıkları kaydedilmiştir. Şekil 3.18'de deneyde kullanılan Arşimed terazisi görülmektedir.



Şekil 3.18. Arşimed terazisi ile su içinde tartım işlemi

Şekil 3.19'da kaba aggregaların kuru yüzey suya doygun halinin sağlanması amacıyla bir bez kullanılarak agregat yüzeylerinin kurutulma işlemi gösterilmektedir.



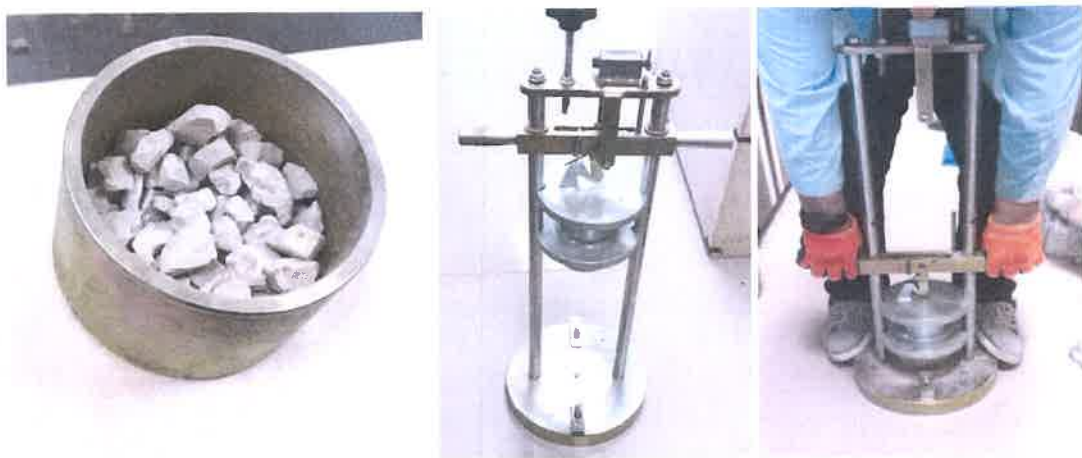
Şekil 3.19. Kaba agrega numunelerinin yüzeylerinin bezle kurutulması

Kaba agregaların hepsi tekrar tepsilere konularak etüvde 24 saat 100 C° de kurutulmaya bırakılmıştır. Kurutulan numuneler tartılarak ağırlıkları kaydedilmiştir. Diğer numuneler için de aynı işlemler tekrarlanmıştır.

3.2.6. Agrega Darbelenme Deneyi (AIV)

Yol üstiyapısında kullanılan agregalar tekrar eden yükler altında parçalanmaya karşı yeterli direnci sağlamalıdır. Traverten ve doğal agrega numuneleri için darbelenme deneyi TS-EN 1097-2 deney standardına göre, 8 mm ile 12,5 mm'lik elekler arasında kalan malzemeye uygulanmıştır. Öncelikle iç çapı 75 mm ve iç yüksekliği 50 mm olan darbe deney makinesinin kalibinin tamamı deney için hazırlanan malzeme ile doldurulup üzeri düzleştirilmiştir. Darbe deney makinesine yerleştirilen malzemeye 13,6 kg'lık ağırlık, 370 mm yükseklikten 10 kez darbe uygulanarak parçalanmıştır.

Şekil 3.20'de numune doldurulmuş kalıp ve agrega darbelenme deney cihazı gösterilmiştir.



Şekil 3.20. Deney numunesi konulmuş kalıp ve darbelenme deneyi cihazı

Şekil 3.21'de darbelenme deney makinesinden çıkarılan numuneler gösterilmiştir.



Şekil 3.21. Deney sonrası darbelenme cihazından çıkarılan malzemeler

Parçalanan malzeme başka bir kaba alınarak 8 mm'lik elekten başlayarak 5 mm, 2 mm, 0,63 mm ve 0,2 mm'lik eleklerden elenmiştir. Deney numuneleri için beş deney eleğinin ve tavanın üzerinde kalan malzemenin kütle değeri, deneyden önceki deney numunesinin ise kütlece yüzde değeri olarak hesaplanmıştır. Deneye eleklerden geçen malzeme miktarlarının kütlece yüzdeleri toplanmış ve kütle miktarının toplamı yüzde şeklinde ifade edilmiştir.

Darbe ile parçalanma değeri SZ, yüzde şeklinde aşağıdaki formüller (3.2) yardımıyla hesaplanmıştır.

$$SZ = M/5 (\%) \quad (3.2)$$

SZ: Darbe değeri

M: Beş deney eleğinin her birinden ayrı ayrı geçen kütelerin %'sinin toplamı

Agrega numuneleri için elde edilen darbelenme değerinin düşük çıkması aggrega numunesinin parçalanmaya dayanıklığının yüksek olduğunu göstermektedir. Darbelenme deneyinin yöntem olarak İngiltere merkezli olması nedeniyle darbelenme limit değerleri için İngiliz Standartları dikkate alınmaktadır. BS 812- 112 standardına göre aggrega darbelenme değeri 10'dan düşük olan agregalar oldukça dayanıklı, 10 ile 35 arasında olan agregalar kabul edilebilir, 35'ten fazla olan agregalar ise çok zayıf aggregalar olarak değerlendirilmektedir.

3.2.7. Yassılık ve Uzunluk İndeksi Deneyi

Karayolu inşaatlarında yol malzemesi olarak kullanılan aggregaların şekil açısından yassi ve uzun olmaması tercih edilmektedir. Yapılan deneylerde kaba aggrega danelerinin 63 mm göz açıklığı olan elekle 6,3 mm göz açıklığı olan elek arasında kalan kısmının yassılık indeksi ve uzunluk indeksi değerlerinin bulunması amaçlanmıştır. Deney için hazırlanan numuneler, 20 mm ile 14 mm göz açıklığına sahip elekler arasında kalan 2000 g, 14 mm ile 10 mm arasında kalan 1000 g, 10 mm ile 6,3 mm açıklıklı elek arasında kalan malzemeden 500 g alınarak hazırlanan deney numuneleri öncelikle tepsilere konularak etüvde 24 saat 100 °C de kurutulmaya bırakılmıştır. Yassılık indeksi ve uzunluk indeksinin bulunabilmesi için deneyler aşağıdaki gibi yapılmıştır.

3.2.7.1. Yassılık İndeksi Deneyi

Yassılık indeksi deneyi, BS 812-105.1: (1989) deney standardına göre yapılmıştır. Agrega tanelerinin kalınlığının, nominal boyutunun 0,6'sından daha küçük olması durumunda aggregaların yassi olarak kabul edilmesini sağlayan bir yöntemdir. Yassılık indeksi, belirli boyutlarda göz açıklıkları olan yassılık indeksi şablonu kullanılarak ayrılan yassi tanelerin ağırlığının, toplam numune ağırlığına oranının yüzdesi olarak ifade edilmektedir.

Deney için hazırlanmış olan numuneler yassılık indeksi ölçme şablonu yardımıyla yassi olan aggrega numuneleri tespit edilip tartılarak kaydedilmiştir.

Şekil 3.22'de yassılık indeksi şablonu kullanılarak yassi aggregaların tespit edilebilmesi için şablondaki fraksiyonlara göre düzenlenen boşluklar yardımıyla ayrıştırılması gösterilmektedir.



Şekil 3.22. Yassılık indeksi şablonu yardımıyla yassı agregaların tespit edilmesi

Deneyden elde edilen değerler yardımıyla hem her fraksiyon için ayrı ayrı, hem de bütün fraksiyonlara ait ağırlıklar toplamı için aşağıdaki denkleme (3.3) göre yassılık indeksi hesaplanmıştır.

$$FI = (B/A) \times 100 \quad (3.3)$$

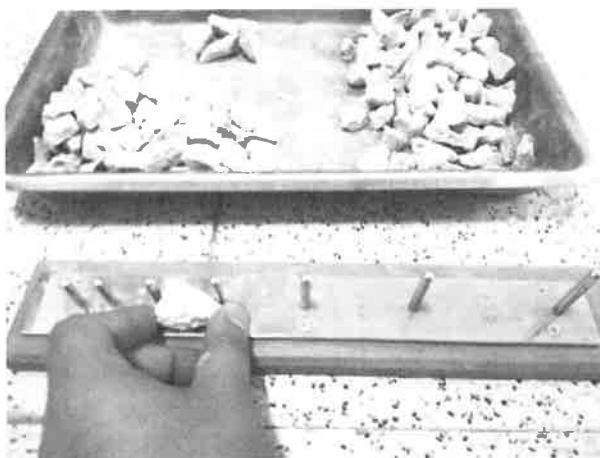
FI = Yassı dane % 'si

A = Deneye alınan malzeme, g

B = Yassı dane ağırlığı, g

3.2.7.2.Uzunluk İndeksi Deneyi

Uzunluk indeksi deneyi, BS 812-105.2: (1990) deney standardına göre yapılmıştır. Deney için hazırlanmış olan numunelerin 28-20 mm, 20-14 mm, 14-10 mm ve 10-6,3 mm fraksiyonlarına ait uzun danelerin yüzdelerinin tespit edilebilmesi için Şekil 3.23'te gösterildiği gibi agrega uzunluk tayin aparatı ile uzun olan agrega numuneleri tespit edilip tartılarak kaydedilmiştir.



Şekil 3.23. Agrega uzunluk tayin aparatı yardımıyla uzun agregaların tespit edilmesi

Deneyden elde edilen değerler yardımıyla hem her fraksiyon için ayrı ayrı, hem de bütün fraksiyonlara ait ağırlıklar toplamı için aşağıdaki denkleme (3.4) göre uzunluk indeksi hesaplanmıştır.

$$EI = (D/C)x 100 \quad (3.4)$$

EI = Uzun dane %'si

C = Yassı olmayan dane ağırlığı, g

D = Uzun dane ağırlığı, g

3.2.8. Los Angeles (Aşınma) Deneyi

Traverten ve doğal agrega numunelerinin aşınma dirençlerinin tespit edilmesi için TS EN 1097-2 deney standardına göre Los Angeles (aşınma) deneyi yapılmıştır. Deney için hazırlanan agrega numuneleri 5000 g olacak şekilde, 10 mm ile 12,5 mm eleklerinin arasında kalan malzemeden %35 (1250 g), 12,5 mm ile 14 mm'lik elekler arasında kalan malzemeden %65 (3750 g) karıştırılarak hazırlanmıştır. Tozlarından arındırılması için eleklerden yılanarak hazırlanan numuneler 24 saat 105 °C de kurutulmaya bırakılmıştır. Etüvden çıkarılan numuneler ve 10 adet çelik bilye, Şekil 3.24'te görüldüğü gibi Los Angeles deney cihazının tamburunun içerisine yerleştirilip 500 devir döndürülmüştür.



Şekil 3.24. Los Angeles deney cihazına numunelerin konularak cihazın çalıştırılması

500 devir sonrası tamburun içindeki deney numuneleri tepsİYE aktarılmıştır. Tepsiye dökülen agrega numuneleri 1,6 mm açıklıklı elekten lavaboda su altında elenmiş ve eleğin üzerinde kalan kısım tepsİYE konularak 24 saat boyunca 105 C° sıcaklık altında kurutulmaya bırakılmıştır. Etüvden çıkartılan numuneler terazide tartılmıştır.

Diger numuneler içinde deney tekrarlanarak sonuçlar elde edilmiştir. TS EN 1097-2 standarı dikkate alınarak hesaplama işlemi aşağıda verilen denklem (3.5) yardımıyla tüm numuneler için yapılmıştır.

$$\text{LA Katsayı} (\text{Aşınma Yüzdesi}) = \frac{(A - B)}{A} \times 100 \quad (3.5)$$

A: Numunenin ilk ağırlığı (kuru)

B: Numunenin son ağırlığı (kuru)

Şekil 3.25'te Los Angeles deneyinden sonra aşınmış olan traverten ve doğal agrega numuneleri görülmektedir.



Şekil 3.25. Los Angeles deneyi sonrası numunelerin görünümü

Los Angeles deneyinin sonunda numunelerin şartname sınırlarında kalması, agregaların gradasyonlarının bozulmaması, segregasyona uğramaması ve trafik yüklerine karşı gerekli mukavemeti sağlayabilmesi önemli bir husustur.

3.2.9. Organik Madde Tespit Deneyi

Organik madde tespit deneyi sodyum hidroksit (NaOH) kullanılarak yapılmaktadır. Deneyin niceł bir sonucu olmayıp gözlemlsel olarak bilgi veren bir deneydir. Deney agrega numunelerinin organik madde bulundurup bulundurmadığının tespiti için yapılmaktadır. Agregaların organik madde içermesi kimyasal tepkimele sebep olabilmektedir. Organik madde tespit deneyi için TS EN 1744-1 (Madde 15.1) deney standardına göre cam mezurlara 80 mm yüksekliğe kadar % 3 lük sodyum hidroksit çözeltisi doldurulur (% 3 lük sodyum hidroksit çözeltisi, 1 litre suda 30 g sodyum hidroksit katılarak elde edilmektedir). Daha sonra cam mezurlara Traverten ve doğal agrega numuneleri 120 mm yüksekliğe kadar eklenir. Şişenin içindeki karışım yaklaşık bir dakika süreyle çalkalandıktan sonra karanlık bir yerde bekletilmiştir. 24 saat bekletildikten sonra sıvı kısmının rengi değerlendirilerek irdelenmiştir. Sıvı olan kısmın berrak veya açık renkte görünmesi agrega içerisinde zararlı olabilecek organik madde olup olmadığı hakkında bilgi vermektedir. Şekil 3.26'daki gibi çözeltinin renginin berrak veya hafifçe renklenmiş olması durumu traverten ve agrega numunelerinde organik madde bulunmadığını göstermektedir.



Şekil 3.26. Organik madde tespiti deneyi

Ortaya çıkan rengin kahverengi veya koyu kahverengi olması durumunda agreganın kullanılmaya elverişli olmadığı hakkında değerlendirme yapılmaktadır. Agregalarda organik madde bulunması, az miktarda bile olsa sakıncalı bir durum olarak değerlendirilmektedir.

3.2.10. Modifiye Proktor Deneyi

Modifiye Proktor deneyi, yol inşaatlarının yapımı sırasında sıkıştırma işleminin tam olarak sağlanabilmesi için temel tabakalarına verilmesi gereken su miktarının ve maksimum birim ağırlığın tespiti için yapılmaktadır.

Kompaksiyon deneylerinin amacı; optimum su muhtevasına karşılık gelen en büyük kuru yoğunluğunun bulunmasıdır. Kompaksiyon, boşluk hacminin azalmasıyla danelerin birbirine yaklaşarak yoğunluğunun artması ile tarif edilebilir. Zeminlerin bu özellikleri Proktor deneyleri ile elde edilir. Yoğunluğun artmasıyla, zeminlerin kayma mukavemetleri artarken, oturmaları ve hidrolik geçirgenlikleri azalmaktadır. Traverten ve doğal agregalar için granülometri özelliklerine göre modifiye Proktor deneyi TS 1900-1 standartlarına göre yapılmıştır. Deney numuneleri KTŞ'de belirtilen granüler temel tabakası Tip C granülometrisine uygun olarak hazırlanmıştır. Maksimum tane boyutu 20 mm olan 5 kg aggrega karışımı kullanılmıştır. Hazırlanan deney numuneleri 24 saat etüvde kurulmuştur. Şekil 3.27'de modifiye Proktor deneyinde kullanılan çapı: 152,4 mm, boyu: 115,5 mm olan metal kalıp ve 4,5 kg'lık metal tokmak gösterilmiştir.



Şekil 3.27. Modifiye Proktor deneyinde kullanılan malzemeler

Agrega numunelerine önce % 4 su eklenerek deneye başlanmıştır. Ortalama 1 kg ağırlığında malzeme kalıba eklenmiştir. 4,5 kg ağırlığındaki tokmak 45,8 cm yükseklikten numune yüzeyinin tamamını sıkıştıracak şekilde 56 kez serbestçe düşürülmüştür. Daha sonra cetvelle, sıkışan malzemeden sonra kalan kalıp yüksekliği ölçülmüştür. Gerekli sıkışmanın tam uygun olup olmadığına göre diğer 5 tabaka için sıkıştırma işlemi tekrarlanmıştır. En son tabaka sıkıştırıldıktan sonra metal kalıbin üstündeki yaka çıkarılarak kalıp yüzeyindeki malzeme bıçakla düzlenerek tartılmıştır. Kalıptan çıkarılan malzemeden alüminyum kâselere numuneler alınarak tartıldıktan sonra 24 saat etüvde kurutulmaya bırakılmıştır. Numuneler etüvden çıkarıldıktan sonra ağırlıkları deney föyüne işlenmiştir. Sıkıştırma işlemi için su muhtevası ve kuru birim ağırlık değerleri hesaplanmıştır.

Aşağıdaki denklemle (3.6) birim ağırlık hesaplanmıştır.

$$\text{Birim ağırlık: } \gamma = (W_2 - W_1)/V \quad (3.6)$$

W_1 : Kalıp ağırlığı

W_2 : Kalıp + sıkıştırılmış zemin ağırlığı

V : Kalıbin hacmi

Aşağıdaki denklemle (3.7) kuru birim ağırlık hesaplanmıştır.

$$\text{Kuru birim ağırlık: } \gamma_d = 100\gamma/100+w \quad (3.7)$$

w : Su muhtevası

Daha sonra artan su oranları için deney tekrarlanmıştır. Kalıp ve numune ağırlığı bir önceki su oranındakine göre düştüğü zaman deney tamamlanmıştır. Optimum su oranı grafik çizilerek tespit edilmiştir. Şekil 3.28'de modifiye Proktor deneyinin yapım aşamaları gösterilmiştir.



Şekil 3.28. Modifiye Proktor deneyinin yapılışı

3.2.11. CBR (Kaliforniya Taşıma Oranı) Deneyi

CBR değeri, penetrasyonun herhangi bir değeri için ölçülen yükün standart olan bir yükle oranı olarak açıklanabilmektedir. ASTM D183 deney standardına göre Kaliforniya taşıma oranı (CBR) deneyi kuru ve yaş olmak üzere iki çeşittir. 20 mm'lik elekten geçen granüler temel Tip C gradasyona uygun şekilde hazırlanan malzemelerle deney yapılmaktadır. Traverten ve doğal agregat numuneleri yaklaşık 5 kg olarak hazırlanmıştır. Bağlayıcısız olarak hazırlanan numuneler için deney yapılmıştır.

CBR Deneyi için etüvde kurutulan agregat numuneleri üzerine modifiye Proktor deneyi ile bulunan optimum su muhtevalarını sağlayacak şekilde su ilave edilmiştir. Şekil 3.29'da CBR test cihazı gösterilmektedir.



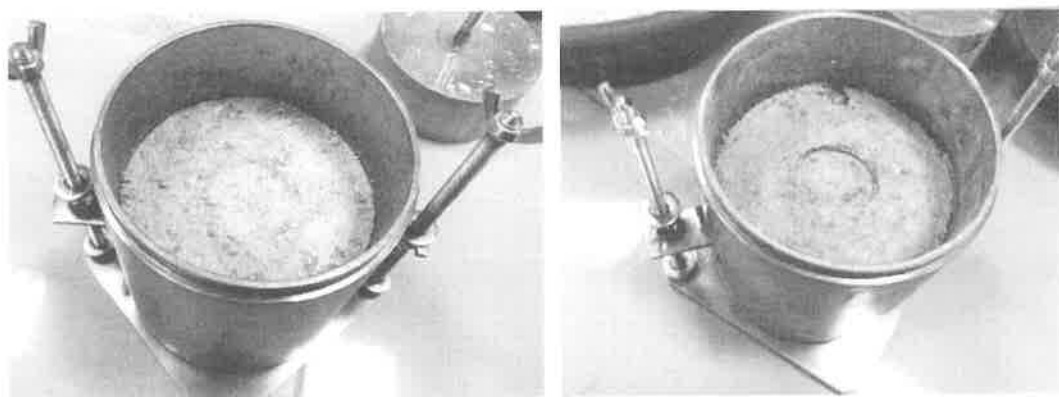
Şekil 3.29. CBR (Kaliforniya taşıma oranı) test cihazı

5 kg numuneden ortalama 1 kg'luk malzeme kalıba konulmuştur. Daha sonra 4,5 kg ağırlığındaki tokmak 45,8 cm yükseklikten numune yüzeyine 56 kez serbestçe düşürülmüştür. 5 tabaka halinde sıkıştırma işlemi yapılmıştır. En son tabaka sıkıştırıldıktan sonra metal kalıbın üstündeki yaka çıkarılarak alt kalıp yüzeyindeki malzeme bıçakla düzlenerek tırtılmıştır. Numunenin üzerine gerekli görülen ağırlıklar konulmuştur. Kalıp, taban plakası takılmış ancak üst yüzeyi açık olacak şekilde içindeki numuneyle birlikte basınç aletinin plakası üzerine yerleştirilmiştir. Şekil 3.30'da CBR kalıbı ve hazırlanan deney numunesi gösterilmiştir.



Şekil 3.30. CBR kalıbı ve hazırlanan deney numunesi

Test cihazı çalıştırılarak farklı penetrasyon değerlerine karşılık gelen yükler kaydedilmiştir. Metal kalıp içindeki malzeme kalıptan çıkarılarak içinden numune alınmış ve bu numuneler etüvde kurutulduktan sonra su muhtevası hesaplanmıştır. Şekil 3.31'de deneyin sonucunda CBR test cihazından çıkarılan deney numuneleri gösterilmektedir.



Şekil 3.31. CBR test cihazından çıkarılan numuneler

Traverten ve doğal agrega numunelerine yaş CBR deneyi de uygulanmıştır. Aynı şekilde numuneler üzerine modifiye Proktor deneyi ile bulunan optimum su muhtevalarını sağlayacak şekilde su ilave edilerek kuru CBR deneyindeki aşamalar tekrarlanmıştır. İlave olarak delikli plaka ile temasta olan 25 mm kapasiteli komparatör saatı yerleştirilen numune, büyükçe bir su kabının içine yerleştirilmiştir. Su seviyesi yakanın üst kenarının hemen altında tutularak numunenin üstüne gerekli görülen kütleler yerleştirilmiştir. Numune suyun içinde 24 saat bekletilmiştir. Daha sonra sudan çıkarılan numune CBR deney aletine yerleştirilip kuru CBR deneyindeki gibi standart deney işlemleri yapılmıştır. Şekil 3.32'de yaş CBR deneyinde suda bekletilen deney numunesi gösterilmektedir.



Şekil 3.32. Yaş CBR deney numunesinin suda bekletilmesi

3.2.12. Dinamik Üç Eksenli Deneyi

Modifiye Proktor ve CBR (Kaliforniya taşıma oranı) gibi deneyler yalnız başına malzemelerin sahip olduğu davranışların belirlenmesinde tam olarak yeterli değildir. Karayolu üstyapısının tasarlanmasımda gerçekçi deneysel verilerin elde edilebilmesi için dinamik yüklemelerinde yapılabildiği gelişmiş deney yöntemleri uygulanmalıdır. Dinamik deneyler ile laboratuvar ortamında gerilme durumunun en gerçekçi şekilde uygulanabilmesi sağlanmaktadır.

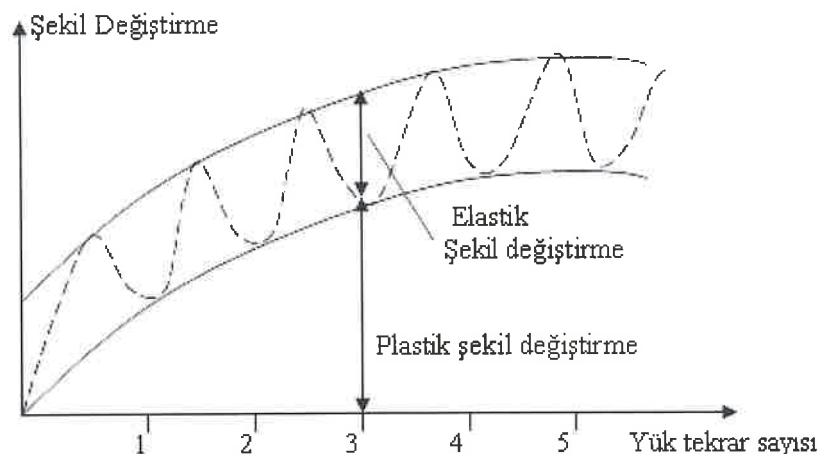
Esneklik modülü bir malzemenin tekrarlanan yüklerle maruz kalması durumunda üstyapı tabakalarının yükü dağıtma kabiliyetinin bir göstergesidir. Esneklik modülü, kaplamanın altında trafiğin etkisiyle yorulma ve çatlaklara sebep olan çekme gerilmelerinin ve üstyapı tabakalarında meydana gelen basınç gerilmelerinin ortaya çıkardığı kalıcı deformasyonları kontrol etmektedir (Barksdale, 1993). Bu deneyin sonucunda yol malzemelerinin “Esneklik modülü” ve “Plastik şekil değiştirmesi” değerleri elde edilebilmektedir. Üç eksenli deney hücresinin kullanılma amacı, silindirik numuneye çevre basıncı uygulayabilecek kapalı bir ortam oluşturmaktır (Yılmaz vd., 2008).

Şekil 3.33'deki üç eksenli basınç deneyi için kullanılan hidrolik yüklemeli dinamik üç eksenli basınç deney cihazı gösterilmektedir.



Şekil 3.33. Dinamik üç eksenli deneyi cihazı (Yılmaz vd, 2008)

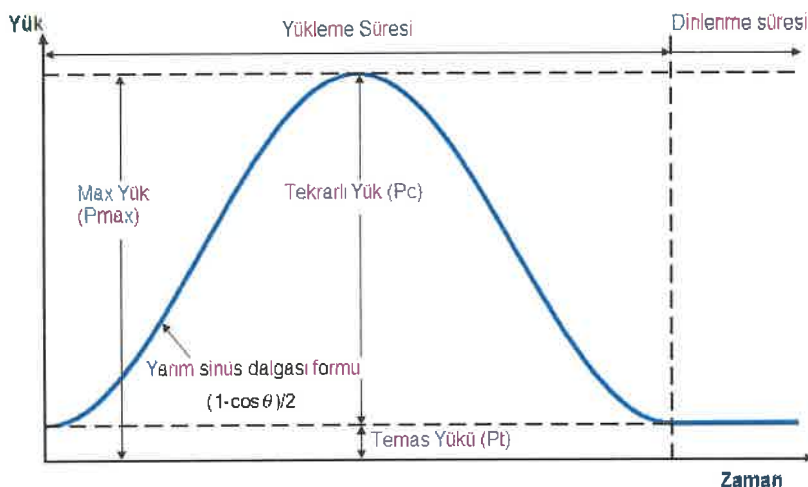
Dinamik üç eksenli deneylerinin temel prensibi malzemelerin tekrarlı yük koşulları altındaki elastik rıjitliğinin tespit edilmesidir. Trafik yükleri kaplama aracılığıyla zemine tekrarlayan yük olarak aktarılmakta ve zeminde oluşturduğu deformasyonların büyük bir kısmı elastik deformasyonlar meydana gelmektedir. Şekil 3.34’te tekrarlı yükle maruz kalan malzeme için elastik ve plastik şekil değiştirmeye gösterilmektedir.



Şekil 3.34. Tekrarlı yükler altında oluşan plastik ve elastik şekil değiştirmeler

Dinamik üç eksenli deneyindeki yarım sinüs dalgası şeklindeki yükleme formu Şekil 3.35’té görülmektedir. Şekil 3.35’té görülen yük uygulama süresi 0,1 sn ve dinlenme süresi de 0,9 sn olarak standartlarda tanımlanmıştır. Bu 0,1 sn’lik süre, ortalama 70 Km/sa hızla yoldan

geçen bir aracın dingil yükünün, yolun 70 cm derinliğindeki bir cisme etkime süresini temsil etmektedir (Huang, 1993). Bu yükleme hızı ancak hidrolik sistemlerde mümkün olabilmektedir. Pnömatik sistemlerde ise yükleme süresi 0,5-0,9 sn arasında değişmektedir (Marr v.d., 2003).



Şekil 3.35. Dinamik üç eksenli deneyindeki yükleme formu (LTPP P46, 1996)

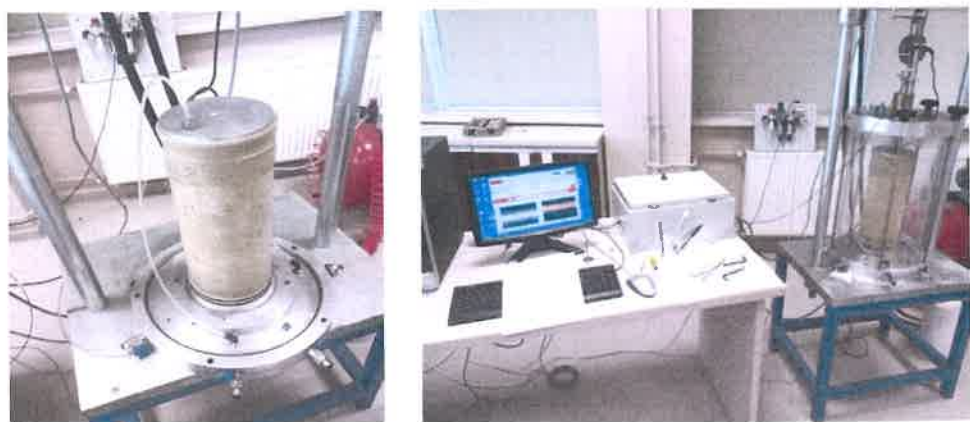
Şekil 3.35'te görülen maksimum yük ile temas yükü arasındaki fark ($P_{\text{maks}} - P_{\text{temas}}$) uygulanan deviatör gerilmeyi göstermektedir. Deneyde yükleme süresi, deviatör gerilmenin uygulama süresini (Δt), dinlenme süresi ise deviatör gerilmenin uygulama aralığını (dakikadaki yük uygulama sayısını) ifade ettiğinden gerilmenin büyülüüğünün yanı sıra gerilmenin her bir tekrardaki uygulama süresi ile gerilmenin tekrar aralığı da deneyin sonucu açısından önem taşımaktadır.

Deney numuneleri hazırlanırken en büyük dane çapı 25 mm'nin altında kalan malzemelerden karışım hazırlanmıştır. Daha önce modifiye Proktor deneyinde elde edilen optimum su muhtevasını sağlayacak şekilde kuru yoğunlukta yaklaşık 12 kg'lık deney numunesi hazırlanmıştır. Hazırlanan numune için dikkat edilmesi gereken en önemli hususlardan birisi malzemenin sıkışma durumunun temsil edilebilmesi için optimum su muhtevasında, maksimum kuru birim ağırlığın en az % 95'inin sağlanmasıdır. Öncelikle 15 cm çapındaki ve 30 cm yüksekliğindeki iki parçalı metal kalıbın içerisinde latex membran yerleştirilmiştir. Daha sonra deney numuneleri metal kalıbın içerisinde konularak 5 tabaka şeklinde titreşimli kompaksiyon uygulanmak suretiyle sıkıştırma işlemi yapılmıştır. Şekil 3.36'da numunelerin metal kalıba yerleştirilerek sıkıştırılması işlemi gösterilmektedir.



Şekil 3.36. Deney numunelerinin titreşimli kompaksiyonla sıkıştırılması

Deney numuneleri sıkıştırma işlemi son tabaka için de yapıldıktan sonra kalıbın içerisinde düzgünce çıkarılmıştır. Sıkıştırma işleminde numunede dağılma olmaması için vakum işlemi uygulanmıştır. Çıkarılan numuneler, üç eksenli deney hücresine yerleştirilerek deneye başlanmıştır. Şekil 3.37'de üç eksenli deney aletine yerleştirilen deney numunesi gösterilmektedir.



Şekil 3.37. Deney numunelerinin üç eksenli cihaza yerleştirilmesi

Numunenin yerleştirildiği üç eksenli hücresinin içerisine basınç uygulanarak numunenin mevcut şeklini koruması sağlanmıştır. Bilgisayar yardımıyla AASHTO TP46-94 standardına uygun şekilde numuneye belirli bir çevre basıncı altında tekrarlı eksenel yükler uygulanmıştır. İlk yükleme olarak 500 kez tekrar edecek şekilde şartlandırma uygulanmıştır. Daha sonra 15 farklı yükleme 100 tekrar olacak şekilde yapılmıştır. Numuneye her iki eksende

uygulanan gerilmeler elektro-valfler aracılığıyla kontrol edilmiştir. Traverten ve doğal agregat numuneleri için belirli basınçlar ve gerilmeler altında esneklik modülü değerleri belirlenmiştir. Deneylerin sonunda üç eksenli deney cihazından çıkarılan numuneler Şekil 3.36'da gösterilmektedir.



Şekil 3.38. Deneylerin sonunda üç eksenli cihazından çıkarılan numuneler

Üç eksenli ve tekrarlı yük koşulları altında test edilen malzemeler için esneklik modülü aşağıdaki formüller (3.8) ile hesaplanmıştır.

$$M_r = \frac{\sigma_d}{\varepsilon_r} \quad (3.8)$$

M_r : Esneklik Modülü

σ_d : Deviatör gerilme

ε_r : Esnek birim şekil değiştirme (Eksenel yönde)

Granüler temel veya alt temel tabakasının direnci, gerilmeler sistemiyle doğrudan ilişkilidir. Üstyapıya etkiyen gerçek gerilmeler; tekrarlı düşey ve yatay gerilmelerle birlikte kesme gerilmesinden meydana gelir. Bu gerilmeler tekerlek yükü aracılığıyla oluşan σ_1 , σ_2 , σ_3 asal gerilmelerinin bir varyasyonudur (Shaw, 1980). Her üç eksendeki asal gerilmelerin toplam değeri olan “θ” numuneye etkiyen gerilmelerin mertebesini gayet iyi bir biçimde belirlemektedir.

Esneklik modülünün asal gerilmelere bağlı olarak değişimini göstermekte sıkılıkla kullanılan eşitlik (toplam gerilme modeli) aşağıdaki denklemle (3.9) hesaplanmaktadır (Allen ve Thompson, 1974; Barksdale ve Alba, 1997).

$$M_r = k_1 \cdot (\theta)^{k_2} \quad (3.9)$$

$\theta = 3\sigma_3 + \sigma_d$ (Asal gerilmelerin toplam değeri)

k_1 ve k_2 ; malzeme ile ilgili olan katsayılar olarak tanımlanmaktadır (Yılmaz vd., 2008).

4. ARAŞTIRMA BULGULARI VE TARTIŞMA

Bu bölümde, Traverten (T1), Traverten (T2) ve Doğal agregat (DA) numunelerinin fiziksel ve mekanik özelliklerinin tespit edilmesi için yapılan deneylerden elde edilen bulgular ve sonuçlar açıklanmıştır.

Tablo 4.1'de Karayolları Teknik Şartnamesinde temel tabakalarında kullanılan agregaların sağlamaları gereken şartname limitleri gösterilmektedir.

Tablo 4.1. Temel tabakalarında kullanılan agregalar için gerekli şartname limitleri (KTŞ)

Deney Adı	Şartname Limitleri	Deney Standardı
Organik Madde Tayini Deneyi (% 3 NaOH ile)	Negatif	TS EN 1744-1 (Madde 15.1)
Hava Tesirlerine Karşı Dayanıklılık, MgSO ₄ ile kayıp, %	≤ 20 (MS ₂₀)	TS EN 1367/2
Parçalanma Direnci(Los Angeles), %	≤ 35 (LA ₃₅)	TS EN 1097/2* ASSHTO T-96
Yassılık İndeksi, %	≤ 30	BS812
Su Emme(Kaba ve İnce Agregada), %	≤ 3.0 (WA ₂₄₃)	TS EN 1097/6 (Madde 8)

* Referans Metot

4.1. Elek Analizi Deneyi Sonuçları

Doğal agregat (DA) numunelerinin elek analizi deneyinden elde edilen değerler Tablo 4.2'de gösterilmiştir.

Tablo 4.2. Doğal agregat (DA) elek analizi gradasyon yüzdeleri

ELEK ÇAPı		GEÇEN(%)
mm	in	
25	1"	100
19	3/4"	98,58
9,5	3/8"	78,20
4,75	No.4	57,72
2	No.10	36,24
0,425	No.40	17,87
0,075	No.200	3,47

Tablo 4.2'de görüleceği gibi 25 mm göz açıklığına sahip elekten doğal agreganın tamamı geçmiştir. 4,76 mm göz açıklığına sahip elekten doğal agregat malzemesinin % 57,72'si geçmiştir. 0,075 mm göz açıklığına sahip elekten doğal agregat malzemesinin % 3,47'lik kısmı geçmiştir.

KTŞ'ne göre granüler temel tabakası; çakıl, kırılmış curuf veya kırmataş ile ince malzeme kullanılarak Tablo 4.3'de verilen gradasyon limitleri içerisinde sürekli gradasyon verecek şekilde hazırlanan malzemenin, su ile karıştırılması ile şartnameye uygun olarak hazırlanmış taşıma gücü yeterli taban veya alttemel tabakası üzerine bir veya birden fazla tabakalar halinde, projesinde belirtilen plan, profil ve enkesitlere uygun olarak serilip sıkıştırılmasıyla oluşturulan tabaka şeklinde ifade edilmiştir.

Tablo 4.3. KTŞ granüler temel tabakası gradasyon limitleri

Elek Açıklığı		% Geçen		
mm	in	A	B	C
50	2	100		
37,5	1 1/2	80-100	100	
25	1	60-90	70-100	100
19	3/4	45-80	60-92	75-100
9,5	3/8	30-70	40-75	50-85
4,75	No.4	25-55	30-60	35-65
2	No.10	15-40	20-45	25-50
0,425	No.40	8-20	10-25	12-30
0,075	No.200	2-8	0-12	0-12

Bu gradasyon tablosu, elek analizi deneyinden elde edilen sonuçlara en yakın gradasyon limitinin belirlenebilmesi ve numune karışımlarının hazırlanmasında kullanılmaktadır. Tablo 4.4'de Traverten (T1) numunelerinin gradasyon yüzdeleri gösterilmiştir.

Tablo 4.4. Traverten (T1) elek analizi gradasyon yüzdeleri

ELEK ÇAPı		GEÇEN(%)
mm	in	
25	1"	100
19	3/4"	96,50
9,5	3/8"	66,00
4,75	No.4	38,29
2	No.10	19,86
0,425	No.40	9,09
0,075	No.200	4,10

Tablo 4.4'de görüleceği gibi 25 mm göz açıklığına sahip elekten traverten malzemenin tamamı geçmiştir. 4,76 mm göz açıklığına sahip elekten traverten malzemenin % 38,29'u geçmiştir. 0,075 mm göz açıklığına sahip elekten traverten malzemenin % 4,10'luk kısmı geçmiştir.

Traverten (T2) numunelerinin elek analizi deneyinden elde edilen değerleri Tablo 4.5'de gösterilmiştir.

Tablo 4.5. Traverten (T2) elek analizi gradasyon yüzdeleri

ELEK ÇAPı		GEÇEN(%)
mm	in	
25	1"	100
19	3/4"	97,72
9,5	3/8"	67,89
4,75	No.4	37,31
2	No.10	19,13
0,425	No.40	8,82
0,075	No.200	4,11

Tablo 4.5'de görüleceği gibi 25 mm göz açıklığına sahip elekten traverten malzemenin tamamı geçmiştir. 4,76 mm göz açıklığına sahip elekten traverten malzemenin % 37,31'i geçmiştir. 0,075 mm göz açıklığına sahip elekten traverten malzemenin % 4,11'lik kısmı geçmiştir.

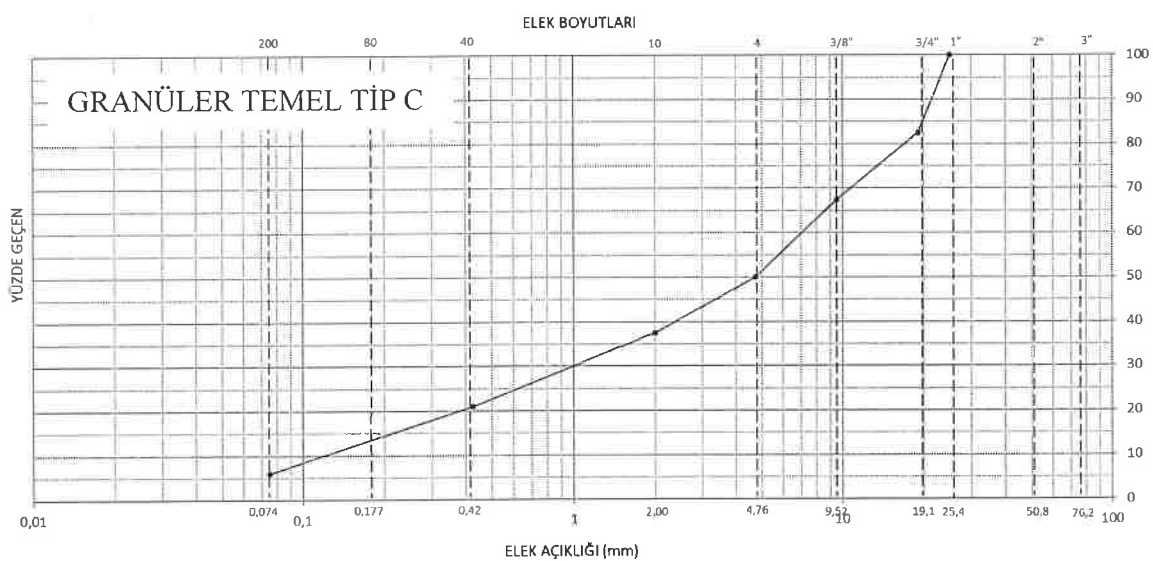
Elek analizi tayini deneyinin sonucunda Traverten (T1), Traverten (T2) ve Doğal agrega (DA) numunelerini gradasyon dağılımlarına göre incelediğimizde KTŞ gradasyon Tip (C) dağılımına göre deney karışımının hazırlanmasının uygun olacağının belirlenmiştir. KTŞ gradasyon Tip (C) dağılımının her elek çapı için ortalaması alınarak deneylerde kullanılacak olan agrega karışımının oranları tespit edilmiştir. Granüler temel tabakası (C) tipi gradasyon yüzdesi dağılımının ortalaması Tablo 4.6'da gösterilmiştir.

Tablo 4.6. KTŞ granüler temel tabakası (C) tipi gradasyon dağılımı ortalaması

ELEK ÇAPı		GEÇEN(%) (C)
mm	İn	
25	1"	100
19	3/4"	82,50
9,5	3/8"	67,50
4,75	No.4	50,00
2	No.10	37,50
0,425	No.40	21,00
0,075	No.200	6,00

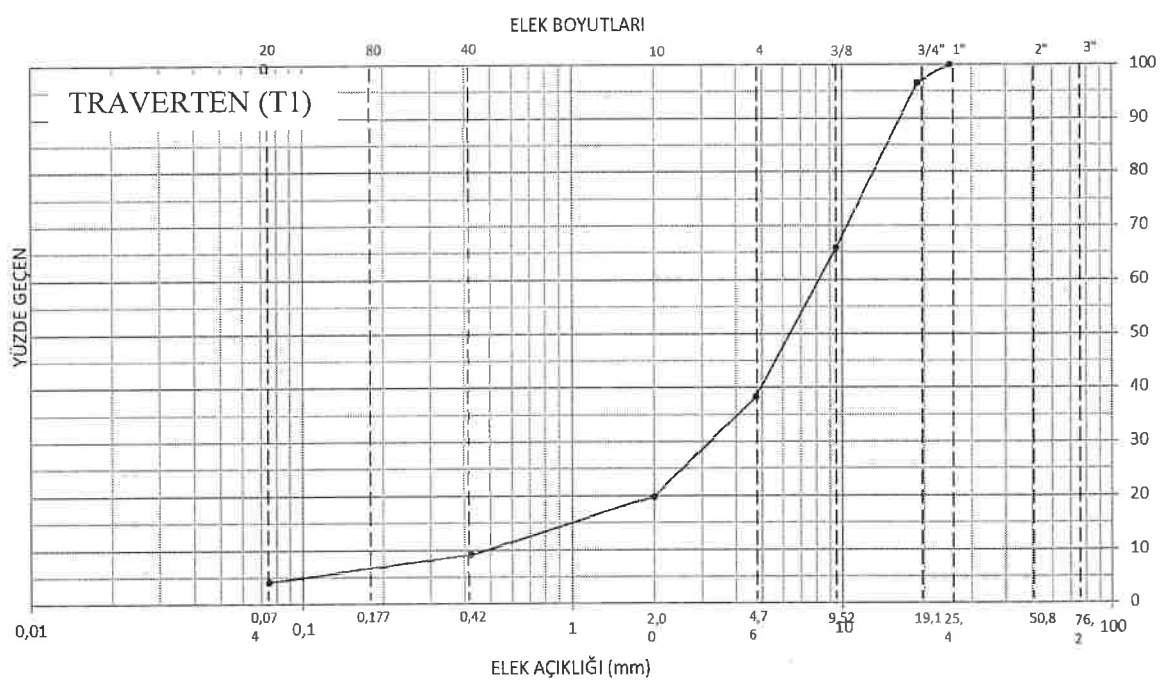
Agrega karışımının % 50 sinin iri aggrega % 50 sinin ince aggregadan oluşturduğu görülmektedir.

Tablo 4.6'da görülen aggrega karışım oranlarının granülometri eğrisi olarak gösterilişi aşağıda Şekil 4.1'de verilmiştir.



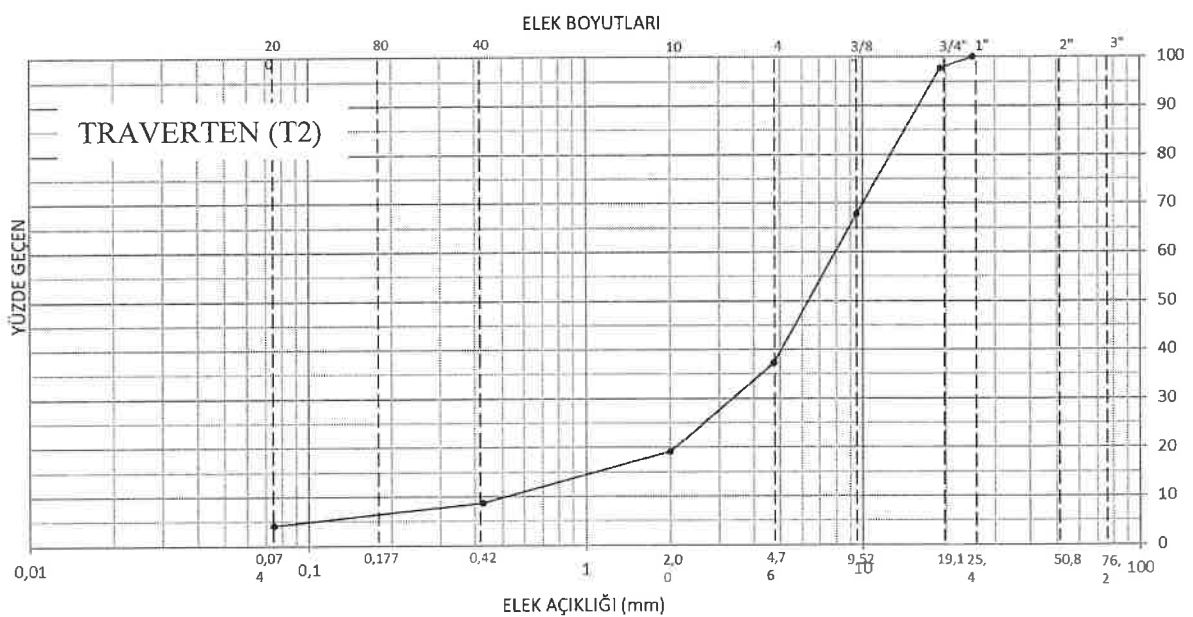
Şekil 4.1. KTŞ (C) tipi granülometri eğrisi (yüzdelerin ortalaması)

Elek analizi deneylerinin sonucunda elde edilen veriler ışığında traverten ve doğal aggrega numuneleri için granülometri eğrileri elde edilmiştir. Traverten (T1) numunelerinin granülometri eğrisi Şekil 4.2'de görülmektedir.



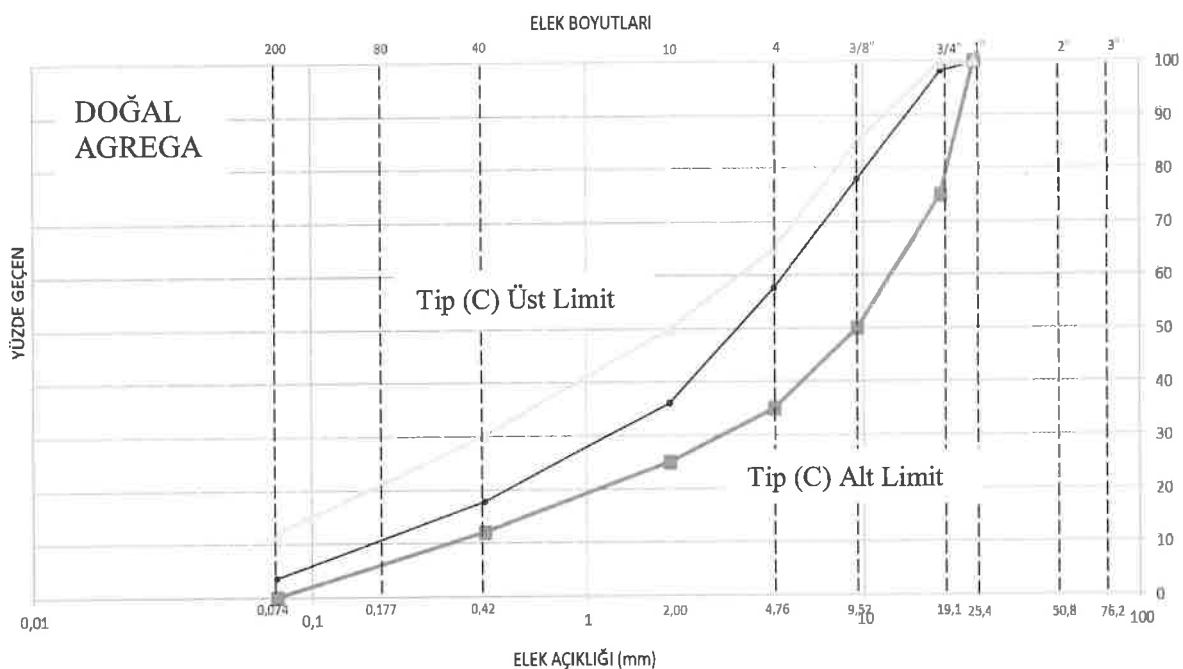
Şekil 4.2. Traverten (T1) granülometri eğrisi

Traverten (T2) numunelerinin granülometrisi Şekil 4.3'de görülmektedir.



Şekil 4.3. Traverten (T2) granülometri eğrisi

Doğal Agrega (DA) numunelerinin granülometri eğrisi Şekil 4.4'de verilmiştir.



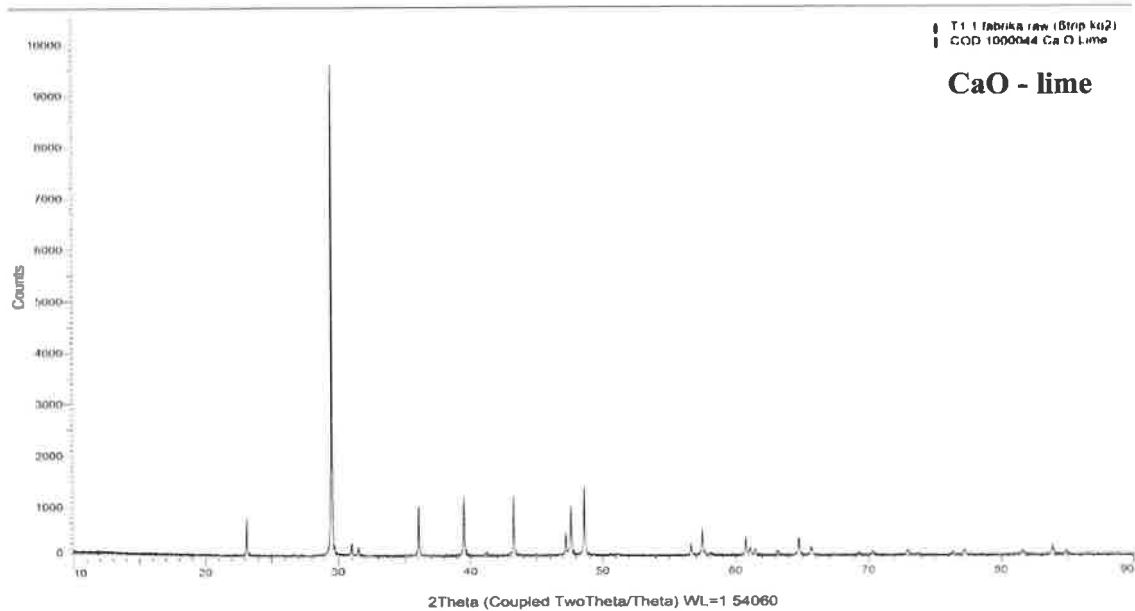
Şekil 4.4. Doğal agrega (DA) granülometri eğrisi

4.2. Kimyasal Analiz Sonuçları

Traverten ve doğal agrega numuneleri için ana oksit analizi için MAKÜ Bilimsel ve Teknoloji Uygulama ve Araştırma Merkezi'ne teslim edilen numuneler için XRD analizi (X-Işını Toz Difraktometresi) yapılmıştır. Analiz sonucunda hem traverten numunelerinde hem de doğal agrega numunelerinde, CaO, Al₂O₃, Fe₂O₃, MgO, MnO, Na₂O, SiO₂ minerallerin olduğu tespit edilmiştir. Analiz neticesinde T1 ve T2 numunelerinde en yüksek oranda bulunan CaO minerali ve DA numunelerinde en yüksek oranda bulunan CaO ve MgO mineralleri için analiz sonuç grafikleri aşağıda verilmiştir.

Şekil 4.5'te Traverten (T1) CaO içeriği kimyasal analiz sonuç grafiği gösterilmektedir.

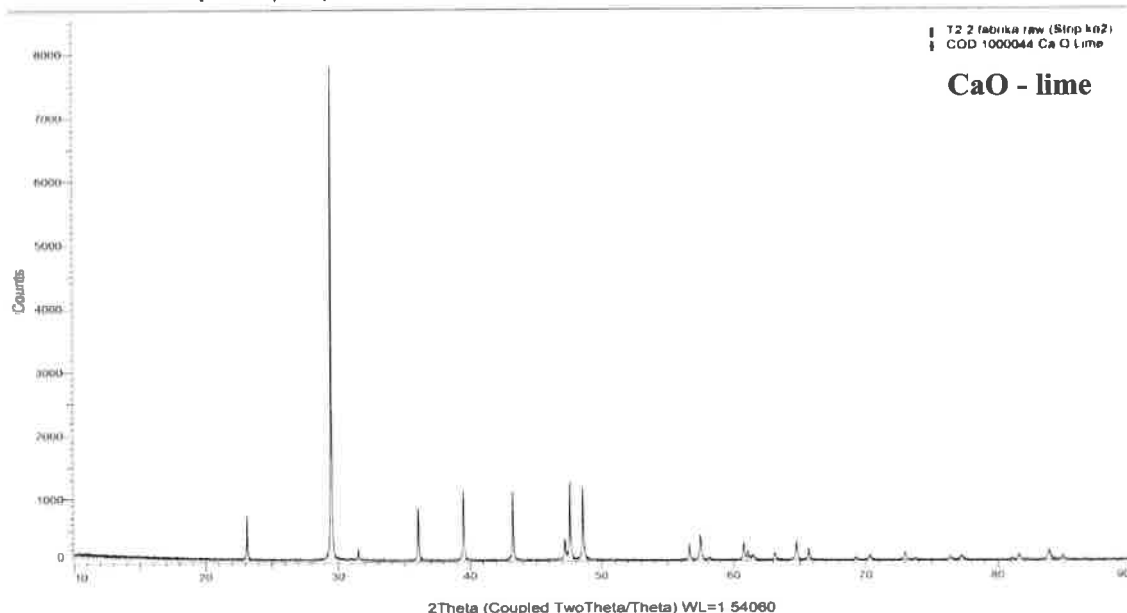
Commander Sample ID (Coupled TwoTheta/Theta)



Şekil 4.5.Traverten (T1) CaO içeriği kimyasal analiz sonuç grafiği

Şekil 4.6'da Traverten (T2) CaO içeriği kimyasal analiz sonuç grafiği gösterilmektedir.

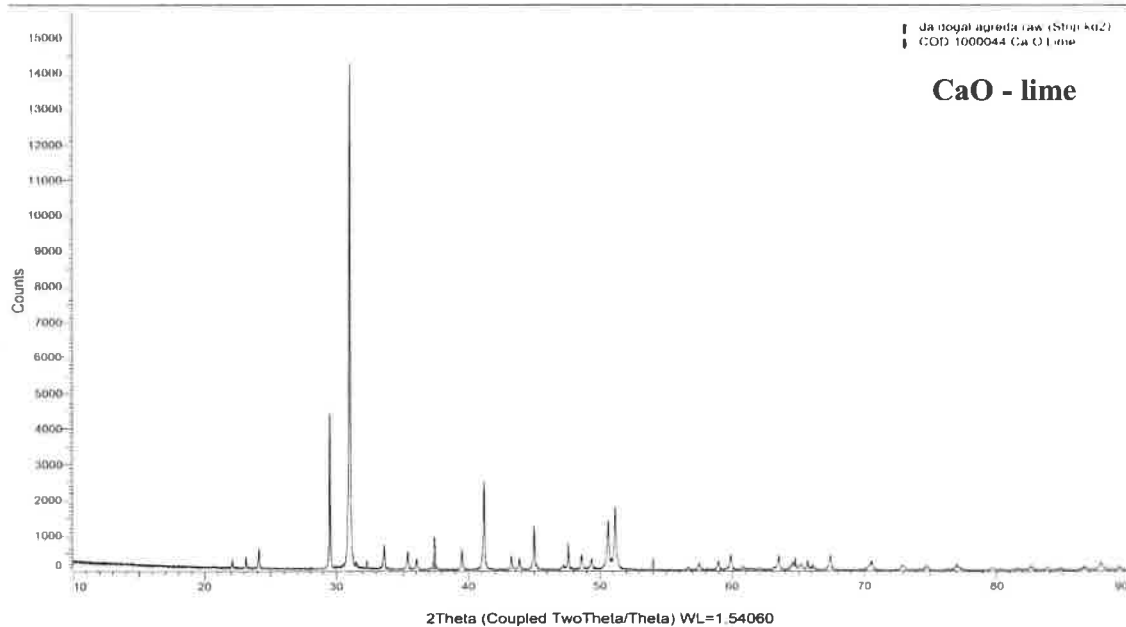
Commander Sample ID (Coupled TwoTheta/Theta)



Şekil 4.6.Traverten (T2) CaO içeriği kimyasal analiz sonuç grafiği

Şekil 4.7'de Doğal agrega (DA) için CaO içeriğinin kimyasal analiz sonuç grafiği gösterilmektedir.

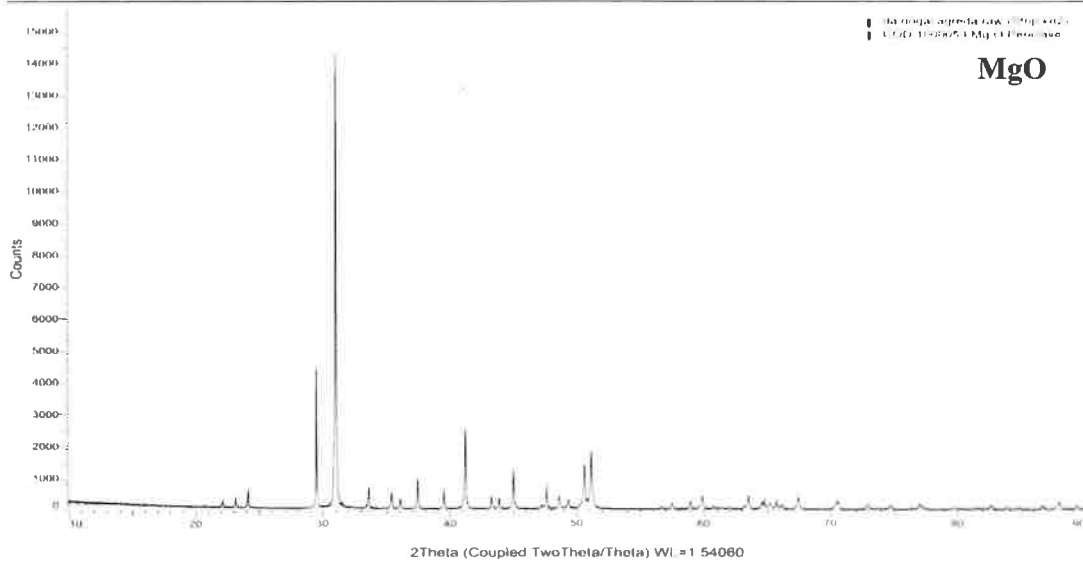
Commander Sample ID (Coupled TwoTheta/Theta)



Şekil 4.7. Doğal agregat (DA) CaO kimyasal analiz sonuç grafiği

Şekil 4.8'de Doğal agregat (DA) MgO içeriği kimyasal analiz sonuç grafiği gösterilmektedir.

Commander Sample ID (Coupled TwoTheta/Theta)



Şekil 4.8. Doğal agregat (DA) MgO içeriği kimyasal analiz sonuç grafiği

MAKÜ Bilimsel ve Teknoloji Uygulama ve Araştırma Merkezi'nde yapılan XRD analizinde numune içerisindeki ağırlıklı minerallerin varlığı tespit ediliyor ancak net oranları

verilemiyordu. Dolayısıyla numunelerin temin edildiği işletmelerin bağımsız kuruluşlara kendi yaptırdıkları analiz sonuçları da alınarak aşağıda detaylı bir şekilde kompozisyonlar verilmiştir.

Traverten (T1) numuneleri için kimyasal analiz sonuçları Tablo 4.7'de gösterilmektedir.

Tablo 4.7. Traverten (T1) kimyasal analiz içeriği

Mineral	Yüzde (%)
SiO ₂	0,07
Al ₂ O ₃	0,06
Fe ₂ O ₃	0,03
CaO	55,70
MgO	0,29
Na ₂ O	0,01
P ₂ O ₅	0,01
SO ₃	0,04
SrO	0,04
Kızdırma Kaybı (LOI)	43,70

Traverten (T2) numuneleri için kimyasal analiz sonuçları Tablo 4.8'de gösterilmektedir.

Tablo 4.8. Traverten (T2) Kimyasal Analiz İçeriği

Mineral	Yüzde (%)
SiO ₂	0,04
Al ₂ O ₃	0,06
Fe ₂ O ₃	0,05
CaO	55,42
MgO	0,36
Na ₂ O	0,01
SO ₃	0,02
K ₂ O	0,01
Kızdırma Kaybı (LOI)	43,98

Doğal agrega (DA) numuneleri için kimyasal analiz sonuçları Tablo 4.9'da gösterilmektedir.

Tablo 4.9. Doğal agrega (DA) kimyasal analiz içeriği

Mineral	Yüzde (%)
SiO ₂	0,07
Al ₂ O ₃	0,08
Fe ₂ O ₃	0,04
CaO	31,52
MgO	21,58
SO ₃	1,18
K.Kayıbı (LOI)	46,82

Tablo 4.9'da elde edilen bulgulara göre CaO miktarı % 31,52, MgO miktarı % 21,58 çıkmıştır. Folk'un (1959) kalsit ve dolomit oranlarına göre yapmış olduğu ve Tablo 4.10'da gösterilen karbonatlı kayaç sınıflandırmasına göre analizi yapılan doğal agrega dolomitik kireçtaşı olarak adlandırılmaktadır.

Tablo 4.10. Dolomit içeren karbonat kayaların sınıflandırılması (Folk, 1959; Tuncay vd, 2015)

Kalsit Oranı (%)	Dolomit Oranı	Tanımı
%95'den Fazla	% 5'den az	Kireçtaşı
% 90-95 Arası	% 5-10 Arası	Mg'lu Kireçtaşı
% 50-90 Arası	% 10-50 Arası	Dolomitik Kireçtaşı
% 10'dan Az	% 90'dan fazla	Dolomit

4.3. Hava Tesirlerine Karşı Dayanıklılık (Donma Çözülme) Deneyi Sonuçları

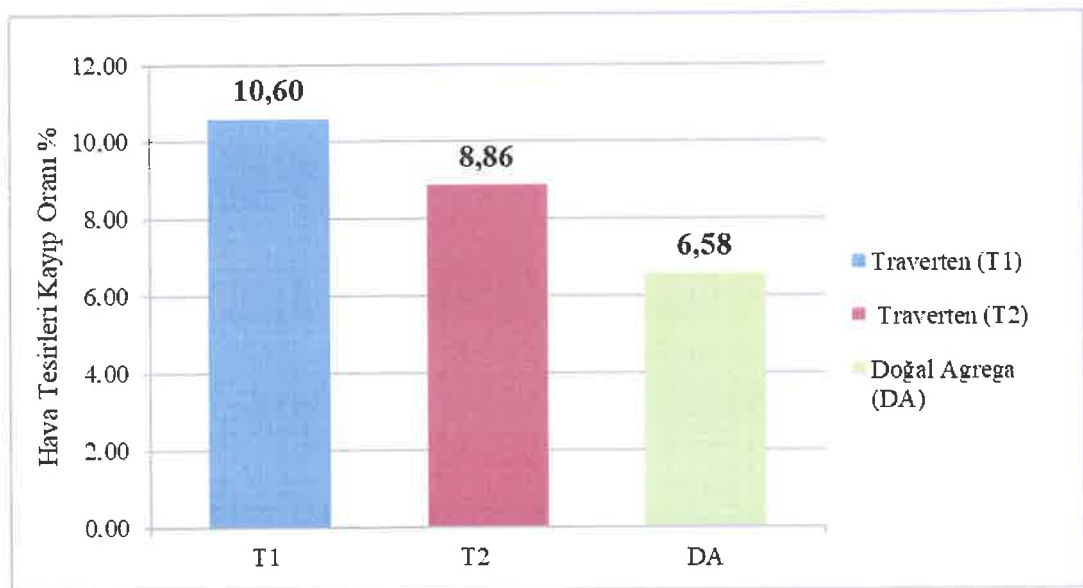
TS EN 1367-2 deney standardına göre hesaplanan hava tesirleri kayıp oranları Tablo 4.11'de traverten ve doğal agrega numuneleri için gösterilmektedir.

Tablo 4.11. Hava tesirlerine karşı dayanıklılık deneyi bulguları

Numune Adı	Traverten (T1)	Traverten (T2)	Doğal Agrega (DA)
Numunenin ilk baştaki ağırlığı (g)	424,66	425,43	426,18
Elek üstünde kalan numunenin ağırlığı (g)	379,66	387,72	398,12
Hava Tesirleri Kayıp oranı (%)	10,60	8,86	6,58

KTS’nde temel tabakalarında kullanılan kaba agregalar için belirlenmiş olan hava tesirleri kayıp oranı \leq % 20 olması gerekmektedir.

Hava tesirlerine karşı dayanıklılık deneyinden elde edilen sonuçlara göre hazırlanmış olan grafik Şekil 4.9’da gösterilmektedir.



Şekil 4.9. Hava tesirlerine karşı dayanıklılık deneyi sonuçları

Traverten (T1) numuneleri % 10,60 kayıp orANIyla en yüksek kayba sahip olmuştur. Doğal Agrega (DA) numuneleri % 6,58 kayıp orANIyla en düşük kayba sahip olmuştur. Hava tesirlerine karşı dayanıklılık deneyinin sonucunda bütün numuneler % 20 değerinden düşük olup gerekli şartları sağlamıştır.

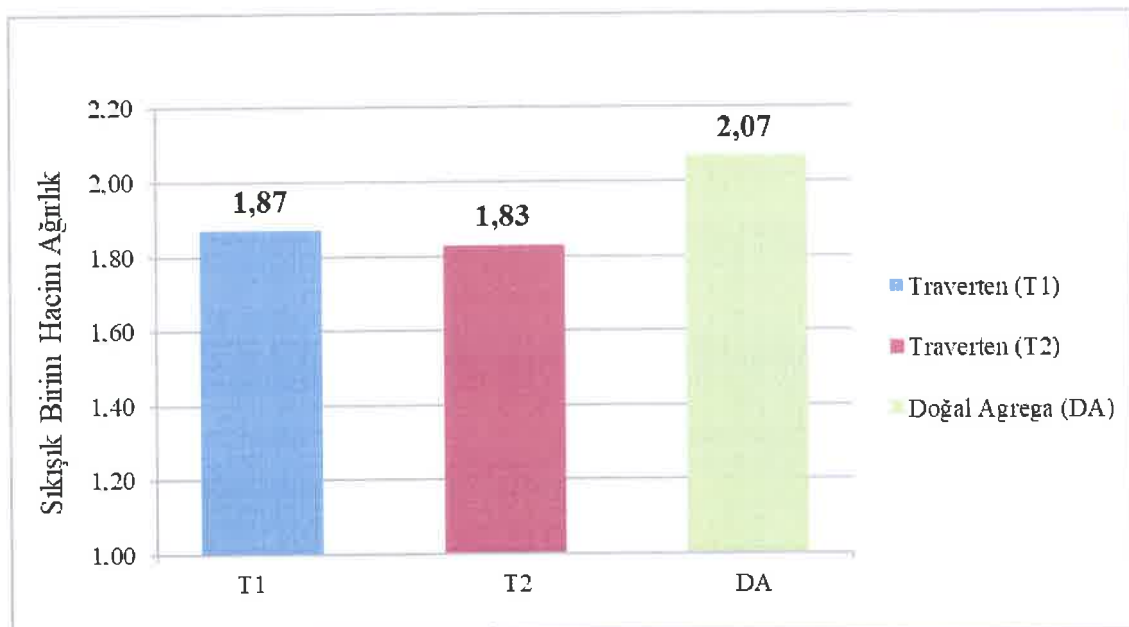
4.4. Gevşek – Sıkışık Birim Hacim Ağırlık Deney Sonuçları

Traverten ve doğal agrega numuneleri için yapılan deneylerin sonucunda Şekil 4.10'da gevşek birim hacim ağırlık ortalama değerleri gösterilmiştir.



Şekil 4.10. Gevşek birim hacim ağırlık ortalama değerleri

Traverten ve doğal agrega numuneleri için yapılan deneylerin sonucunda Şekil 4.11'de sıkışık birim hacim ağırlık ortalama değerleri gösterilmiştir.



Şekil 4.11. Sıkışık birim hacim ağırlık ortalama değerleri

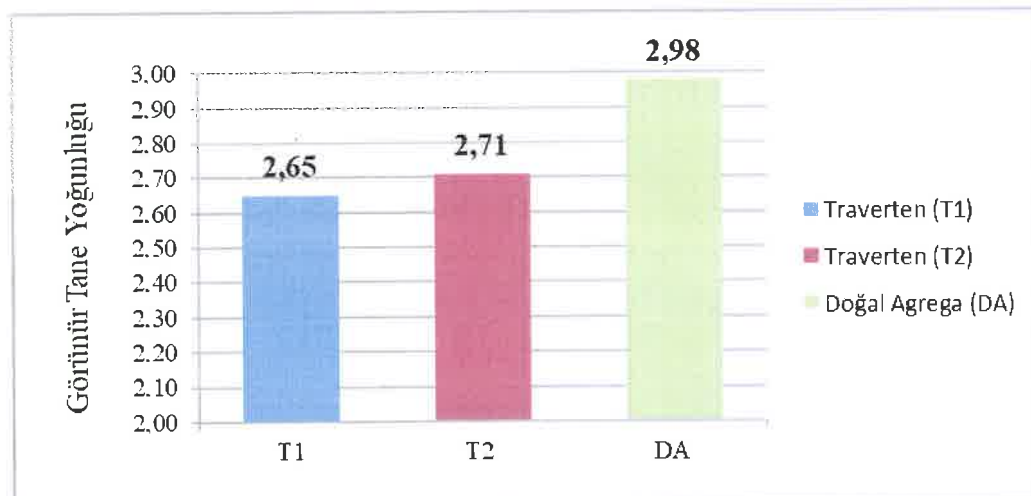
Travertenlerin gevşek ve sıkışık birim hacim ağırlıkları birbirine çok yakın değerler elde edilmiştir. Doğal agrega (DA) numuneleri için daha yüksek gevşek ve sıkışık birim hacim ağırlık değerleri elde edilmiştir.

4.5. İnce Agrega ve Kaba Agrega Tane Yoğunluğu ve Su Emme Deneyi Sonuçları

Kaba agrega ve ince agrega için deney sonuçları TS EN 1097-6 standardındaki hesaplama yöntemlerine göre hesaplanmıştır. İnce agrega ve kaba agrega için ayrı ayrı deneyler gerçekleştirilmiştir. Deneylerden elde edilen bulgular aşağıdaki grafiklerde gösterilmiştir.

4.5.1. İnce Agrega Tane Yoğunluğu ve Su Emme Deneyi Sonuçları

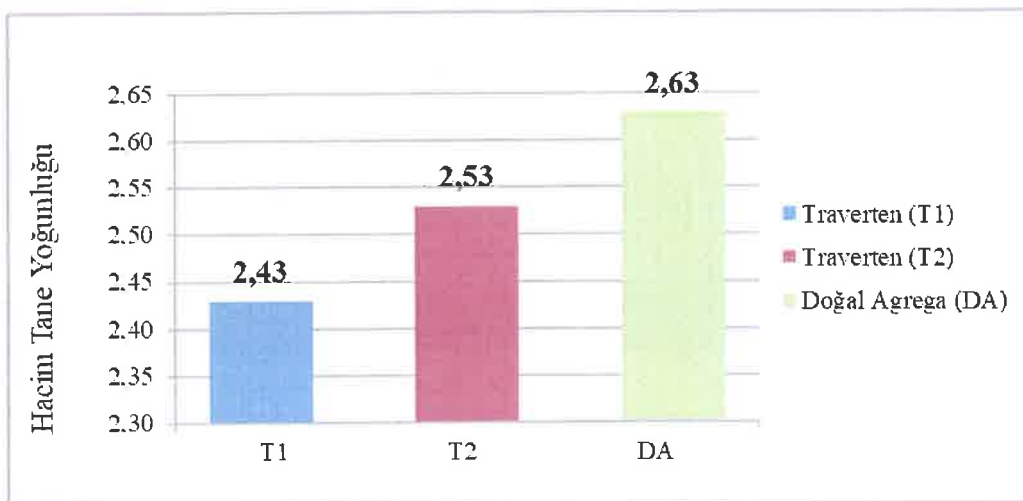
Traverten numuneleri ve Doğal agrega (DA) için bulunan görünürlük tane yoğunluğu Şekil 4.12'de gösterilmiştir.



Şekil 4.12. İnce agrega görünürlük tane yoğunluğu değerleri

Deneyin sonucunda Traverten (T1) için hesaplanan ince agrega görünürlük tane yoğunluğu: 2,65, Traverten (T2) için hesaplanan görünürlük tane yoğunluğu: 2,71 ve doğal agrega (DA) için hesaplanan görünürlük tane yoğunluğu: 2,98 olarak hesaplanmıştır. Traverten (T1) için bulunan görünürlük tane yoğunluğu değeri en düşük, Doğal agrega (DA) için bulunan görünürlük tane yoğunluğu değeri en yüksek çıkmıştır.

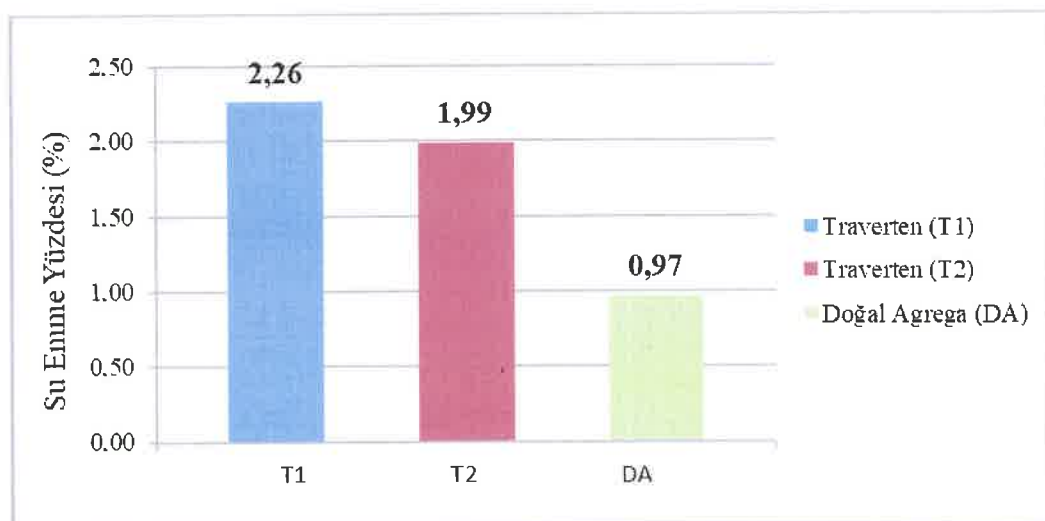
Bulunan ince agrega hacim tane yoğunluğu Şekil 4.13'te gösterilmiştir.



Şekil 4.13. İnce agrega hacim tane yoğunluğu değerleri

Deneysel sonuçlarda Traverten (T1) için ince agregat hacim tane yoğunluğu: 2,43, Traverten (T2) için hacim tane yoğunluğu: 2,53 ve Doğal agregat (DA) için hacim tane yoğunluğu: 2,63 olarak hesaplanmıştır. Deney sonuçlarında Traverten (T2) için elde edilen ince agregat hacim tane yoğunluğu değeri, Traverten (T1) için elde edilen ince agregat hacim tane yoğunluğu değerinden yüksektir. Traverten (T1) için elde edilen ince agregat hacim tane yoğunluğu değeri en düşüktür. Doğal agregat (DA) için elde edilen ince agregat hacim tane yoğunluğu değeri en yüksektir.

TS EN 1097-6 standardına göre yapılan deneyde su emme (absorpsiyon) yüzdesleri Şekil 4.14'de gösterilmiştir.



Şekil 4.14. İnce agregat su emme (absorpsiyon) yüzdesi değerleri

Deney sonuçlarından elde edilen verilere göre Traverten (T1) için ince agrega su emme (absorpsiyon) yüzdesi: % 2,26, Traverten (T2) için su emme (absorpsiyon) yüzdesi: % 1,99 ve Doğal Agrega (DA) numuneleri için su emme (absorpsiyon) yüzdesi: % 0,97 olarak bulunmuştur. Deney sonucunda, Traverten (T1) numuneleri için diğer numunelere göre en yüksek su absorpsiyon yüzdesi elde edilmiştir. Doğal agrega (DA) numunelerinin analizinde ise en düşük su emme yüzdesi elde edilmiştir.

KTŞ'ne göre temel tabakalarında kullanılan ince agregaların izin verilen su emme (absorpsiyon) yüzdesinin % 3,00 değerinden düşük olması gerekmektedir. Hem traverten numuneleri hem de doğal agrega numuneleri, KTŞ'nde temel tabakalarında kullanılan ince agregalar için izin verilen su emme şartname limitlerini sağlamıştır.

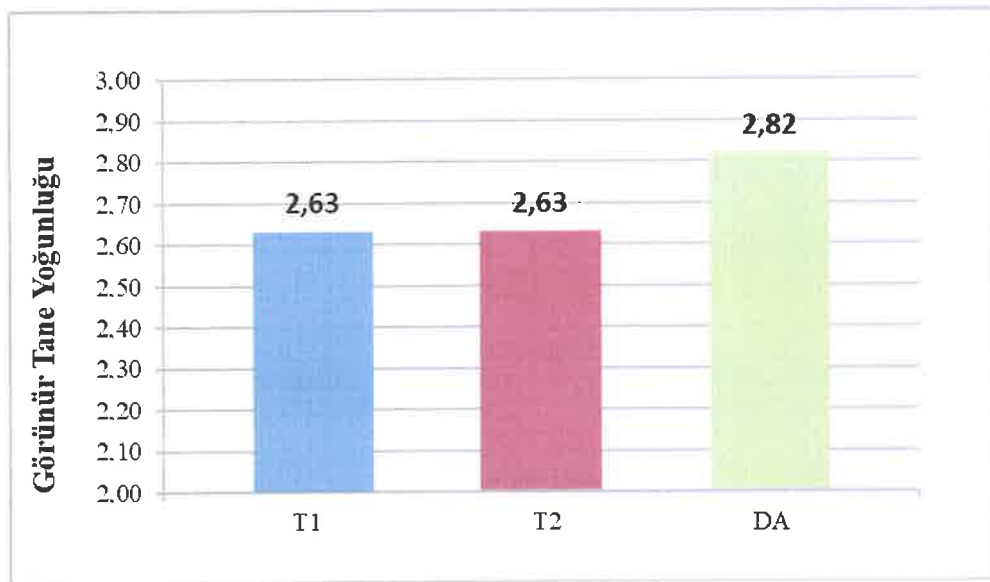
Tablo 4.12'de traverten ve agrega numuneleri için tane yoğunluğu ve su emme deneyinin sonucunda elde edilen veriler gösterilmektedir.

Tablo 4.12. İnce agrega tane yoğunluğu ve su emme deneyi bulguları

Numune Adı	Traverten (T1)	Traverten (T2)	Doğal Agrega (DA)
Görünür Tane Yoğunluğu	2,65	2,71	2,98
Hacim Tane Yoğunluğu	2,43	2,53	2,63
Su emme yüzdesi (%)	2,26	1,99	0,97

4.5.2. Kaba Agrega Tane Yoğunluğu ve Su Emme Deneyi Sonuçları

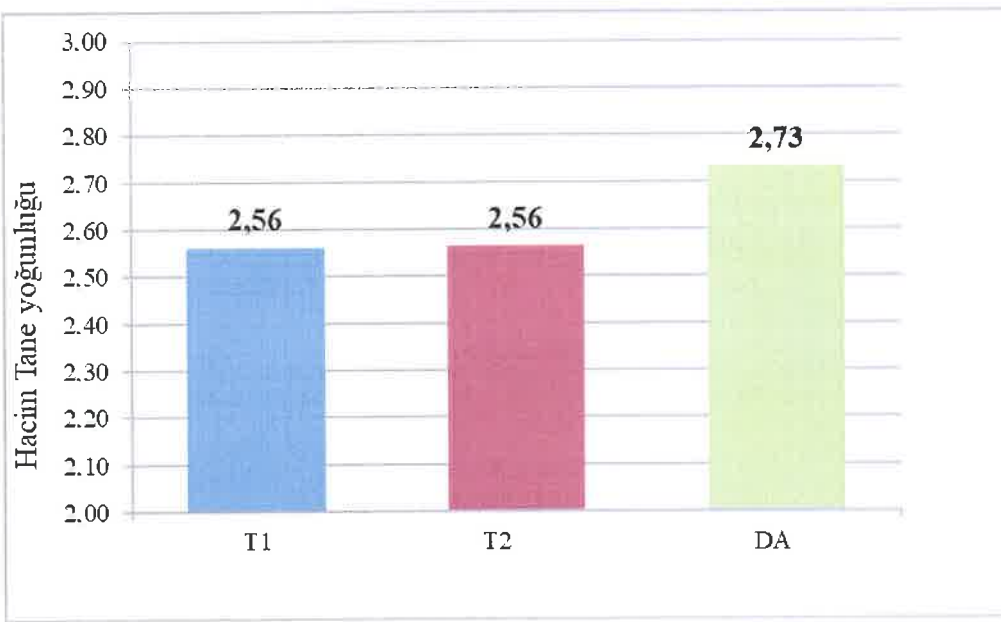
Traverten ve doğal agrega numunelerinin kaba agrega tane yoğunluğu ve su emme deneyinin sonucunda elde edilen görünürtane yoğunluğu değerleri Şekil 4.15'te gösterilmiştir.



Şekil 4.15. Kaba agrega görünürlük tane yoğunluğu değerleri

Traverten (T1) için görünürlük tane yoğunluğu: 2,63, Traverten (T2) için görünürlük tane yoğunluğu: 2,63 ve Doğal agrega (DA) için görünürlük tane yoğunluğu: 2,82 olarak bulunmuştur. Doğal agrega (DA) görünürlük tane yoğunluğu değeri, travertenlerin görünürlük tane yoğunluğu değerlerinden daha yüksek bulunmuştur.

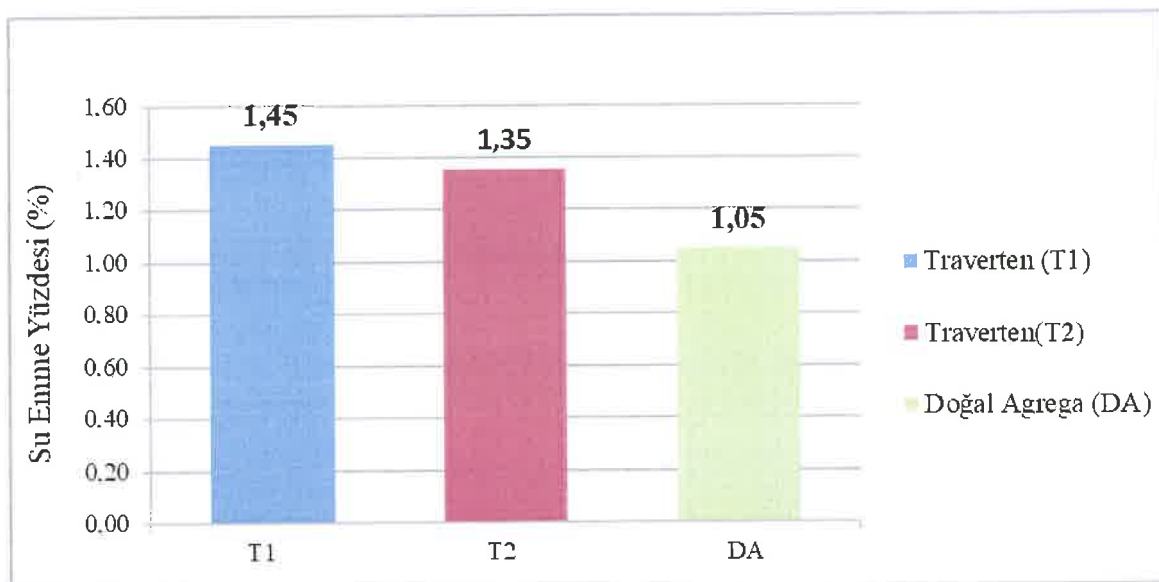
Traverten ve doğal agrega numunelerinin deney sonucunda elde edilen hacim tane yoğunluğu değerleri Şekil 4.16'da gösterilmiştir.



Şekil 4.16. Kaba agrega hacim tane yoğunluğu değerleri

Deneyin sonucunda Traverten (T1) için hacim tane yoğunluğu: 2,56, Traverten (T2) için hacim tane yoğunluğu: 2,56 ve Doğal agrega (DA) için hacim tane yoğunluğu: 2,73 olarak bulunmuştur. Doğal agrega hacim özgül ağırlığı, traverten numunelerine göre daha yüksek çıkmıştır.

Traverten ve doğal agrega numunelerinin deneyi sonucunda elde edilen kaba agrega su emme (absorpsiyon) yüzdeleri Şekil 4.17'de gösterilmiştir.



Şekil 4.17. Kaba agrega su emme (absorpsiyon) yüzdesi değerleri

KTŞ'ne göre kaba agregaların karayollarında izin verilen su emme yüzdesi % 3,00'den düşük olması gerekmektedir. Deney sonuçlarından elde ettiğimiz verilere göre Traverten (T1) için kaba agrega su emme (absorbsiyon) yüzdesi : % 1,45, Traverten (T2) için su emme (absorsiyon) yüzdesi: % 1,35 ve Doğal agrega (DA) için su emme (absorbsiyon) yüzdesi: % 1,05 olarak bulunmuştur. Deney sonucunda traverten numuneleri, doğal agrega numunelerine göre su emme yüzdesi daha yüksek çıkmıştır. Ancak traverten numuneleri de KTŞ'nde izin verilen kaba agrega su absorbsiyon yüzdesinden daha düşük yüzdeleri sağlamıştır. Traverten numunelerinin gözle görünür şekildeki boşluklu yapısı su emme değerlerinin daha yüksek çıkışmasına sebep olmaktadır.

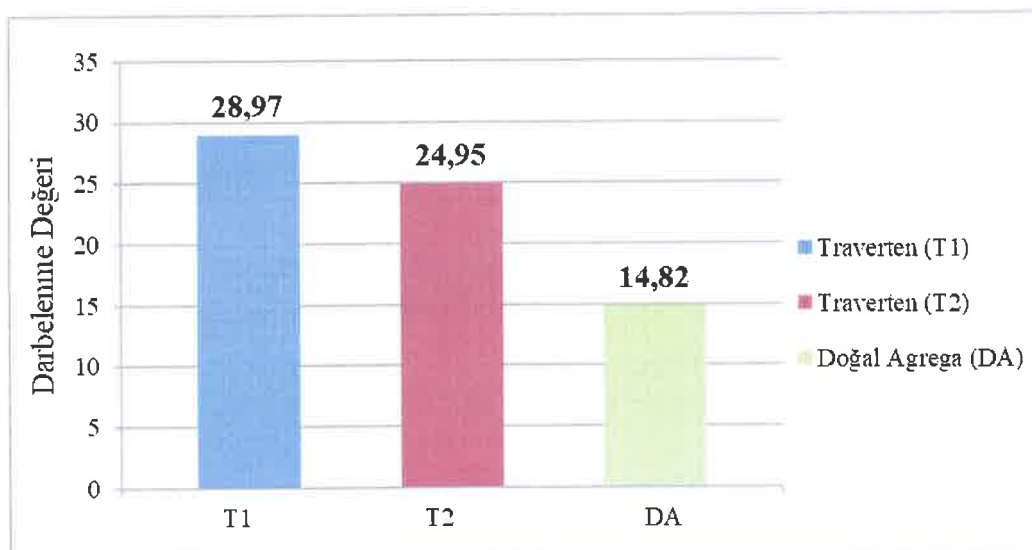
Kaba agrega tane yoğunluğu ve su emme deneyinin sonucunda elde edilen bulgular Tablo 4.13'te gösterilmektedir.

Tablo 4.13. Kaba agrega tane yoğunluğu ve su emme değerleri

Numune Adı	Traverten (T1)	Traverten (T2)	Doğal Agrega (DA)
Görünür Tane Yoğunluğu	2.63	2.63	2.82
Hacim Tane Yoğunluğu	2.56	2.56	2.73
Su emme yüzdesi(%)	1.45	1.35	1.05

4.6. Agrega Darbelenme Deneyi Sonuçları (AIV)

Traverten ve doğal agrega numunelerinin darbelenme deneyinin sonucunda elde edilen bulgular Şekil 4.18'de gösterilmektedir.



Şekil 4.18. Darbelenme deneyi sonuçları

Darbelenme değerinin düşük çıkması agrega numunesinin parçalanmaya karşı direncinin yüksek olduğunu göstermektedir.

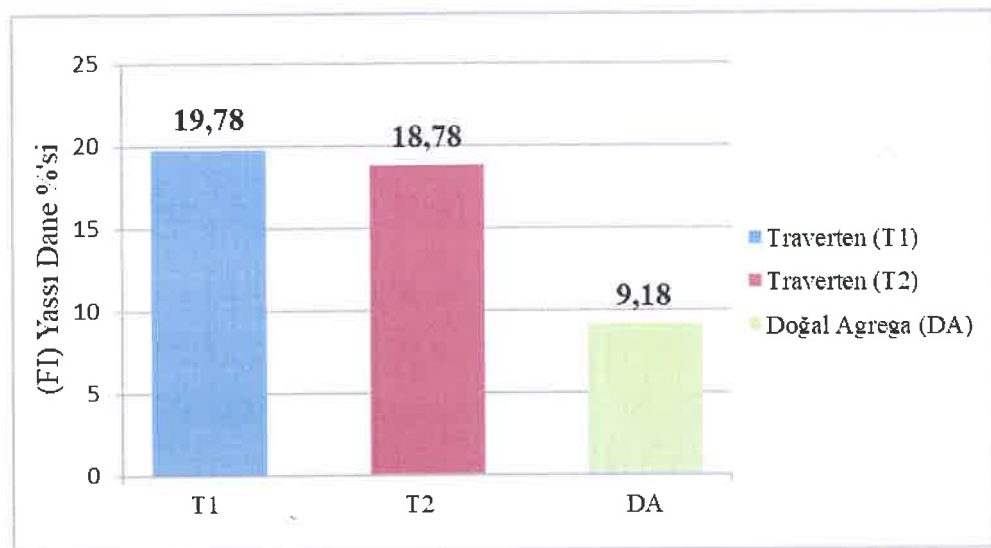
Şekil 4.18'deki grafikten görüldüğü gibi test edilen agregaların darbelenme değerleri 20,43 ile 25,75 arasında değerler almıştır. Traverten numuneleri için birbirine yakın darbelenme değerleri elde edilmiştir. Doğal agrega (DA), traverten numunelerinden daha yüksek parçalanma direnci göstermiştir. BS 812- 112 standardına göre agrega darbelenme değeri 10'dan düşük olan aggregalar oldukça dayanıklı, 10 ile 35 arasında olan aggregalar kabul edilebilir, 35'ten fazla olan aggregalar ise çok zayıf aggregalar olarak değerlendirilmektedir. Traverten numuneleri ve Doğal agrega (DA) numuneleri kabul edilebilir darbe direncine sahiptir.

4.7. Yassılık İndeksi ve Uzunluk İndeksi Deney Sonuçları

Karayollarında kullanılan agregaların şekli üstyapının kullanım ömrü ve mukavemeti açısından önemlidir. Traverten numuneleri ve doğal agrega numuneleri için yassılık indeksi ve uzunluk indeksi deneyleri ayrı ayrı gerçekleştirilmiştir.

4.7.1. Yassılık İndeksi Deneyi Sonuçları

BS812-105.1: (1989) deney standardına göre yassılık indeksi deneyi yapılarak elde edilen bulgular Şekil 4.19'da gösterilmiştir.

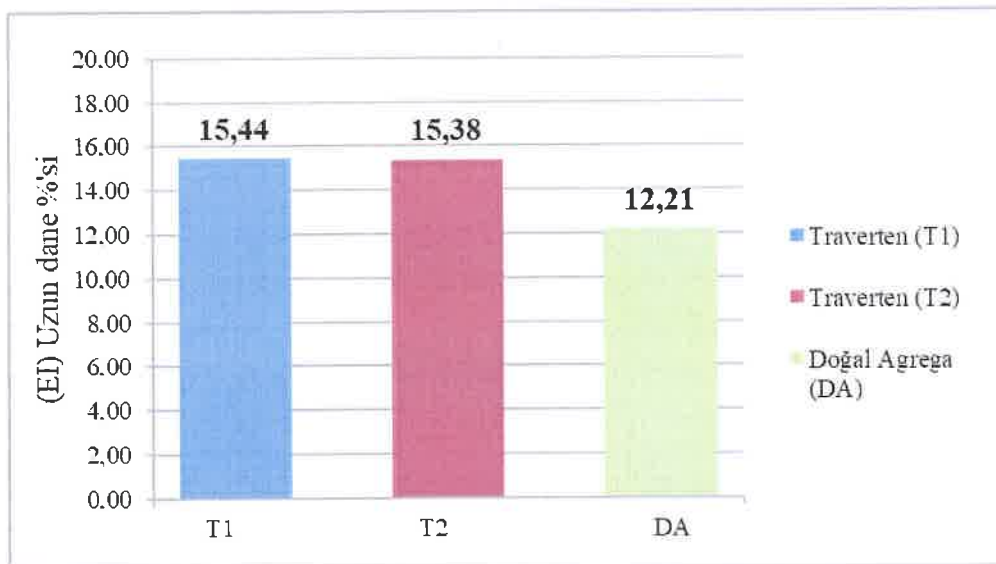


Şekil 4.19. Yassılık indeksi deneyi sonuçları

Her iki traverten numunesi için yassılık indeksi sonuçları birbirine çok yakın çıkmıştır. Şekil 4.19'da yer alan sonuçlara bakıldığında traverten numunelerinin doğal agrega numunelerinden daha yassı olduğu görülmüştür. Deneyin sonucunda traverten numuneleri ve doğal agrega numuneleri için deneylerden elde edilen yassılık indeksi değerleri KTS'ndeki izin verilen yassılık indeksi limit değeri olan % 30'dan daha düşük değerlerde kalmıştır.

4.7.2. Uzunluk İndeksi Deneyi Sonuçları

BS812-105.2: (1990) deney standardına göre uzunluk indeksi deneyi yapılarak elde edilen bulgular Şekil 4.20'de gösterilmiştir.

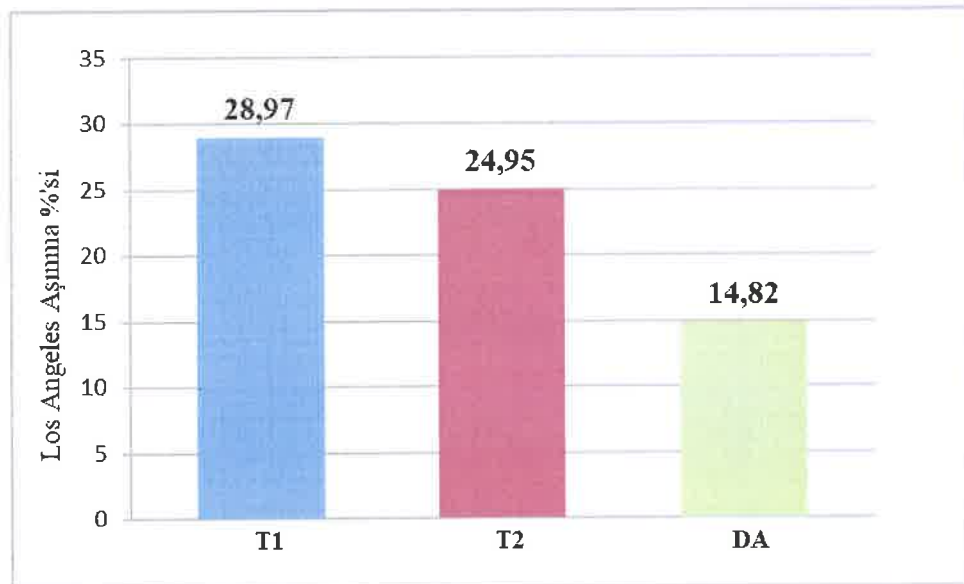


Şekil 4.20. Uzunluk indeksi deneyi sonuçları

Her iki traverten numunesi için uzunluk indeksi sonuçları birbirine çok yakın % 15 civarında çıkmıştır. Analiz sonucuna göre traverten numuneleri, doğal agrega numunelerine göre daha ince-uzun sonucuna ulaşmak mümkündür. Deneyin sonucunda traverten ve doğal agrega numuneleri için deneylerden elde edilen uzunluk indeksi değerleri KTŞ’ndeki izin verilen uzunluk indeksi limit değeri olan % 30’dan daha düşük değerlerde kalmıştır ve şartname kriterini sağlamıştır.

4.8. Los Angeles (Aşınma) Deneyi Sonuçları

Los Angeles (aşınma) deneyinin sonucunda aşınma yüzdeleri Traverten (T1) için % 28,97, Traverten (T2) için % 24,95, Doğal agrega (DA) için % 14,82 olarak bulunmuştur. Traverten numuneleri ve doğal agrega numuneleri için deney sonuçları Şekil 4.21’daki grafikte görülmektedir.



Şekil 4.21. Los Angeles aşınma deneyi sonuçları

Deney sonucunda en çok aşınma yüzdesi Traverten (T1) numunelerinden elde edilmiştir. Traverten (T2) numuneleri, Traverten (T1) numunelerinden daha az aşınmıştır. Deney sonucunda en az aşınma yüzdesi Doğal agrega (DA) numunelerinden elde edilmiştir.

Karayollarında kullanılan agregalar için KTŞ Los Angeles deneyi şartname limit değeri %35'ten düşük olduğu için traverten numuneleri ve doğal agrega numuneleri deney standartlarını sağlamaktadır.

4.9. Organik Madde Tespit Deneyi Sonuçları

KTŞ’nde ince agrega ve kaba agregada organik madde olmaması istenmektedir. Organik madde deneyi sonucunda, traverten numuneleri ve Doğal agrega (DA) numunelerinin kaba tanelerinde organik madde tespit edilememiştir. İnce malzemeler için yapılan organik madde tespit deneyi sonucunda, çözeltinin renginin değişmediği gözlenmiştir. Traverten ve doğal agrega numuneleri için organik madde içeriğinin olmadığı tespit edilmiştir. Tablo 4.14’de deney sonuçları verilmiştir.

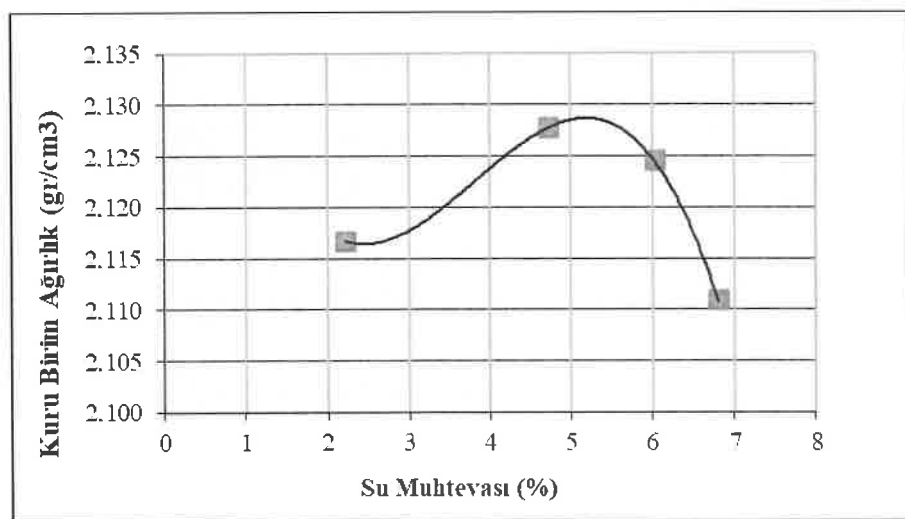
Tablo 4.14. KTŞ limitleri ve organik madde içeriği

Numune Adı	NaOH Renk Değişikliği	Organik Madde	KTŞ Şartname Limitleri
T1 Kaba Agrega	-	0	Negatif
T1 İnce Agrega	YOK	0	Negatif
T2 Kaba Agrega	-	0	Negatif
T2 İnce Agrega	YOK	0	Negatif
DA Kaba Agrega	-	0	Negatif
DA İnce Agrega	YOK	0	Negatif

4.10. Modifiye Proktor (Sıkıştırma) Deneyi Sonuçları

Traverten ve doğal agrega numuneleri için yapılan modifiye Proktor deneyinin sonucunda su muhtevaları bulunduktan sonra kuru birim hacim ağırlık değerleri tespit edilmiştir. Elde edilen değerlerle Proktor eğrileri hem traverten numuneleri hem de doğal agrega numuneleri için çizilerek maksimum kuru birim hacim ağırlık ve optimum su muhtevası belirlenmiştir.

Şekil 4.22'de Traverten (T1) numuneleri için Proktor eğrisi gösterilmiştir.



Şekil 4.22. Traverten (T1) modifiye Proktor eğrisi

Şekil 4.22'teki grafikten Traverten (T1) numuneleri için maksimum kuru birim ağırlık $2,129 \text{ g/cm}^3$ ve optimum su muhtevası % 5,10 olarak elde edilmiştir.

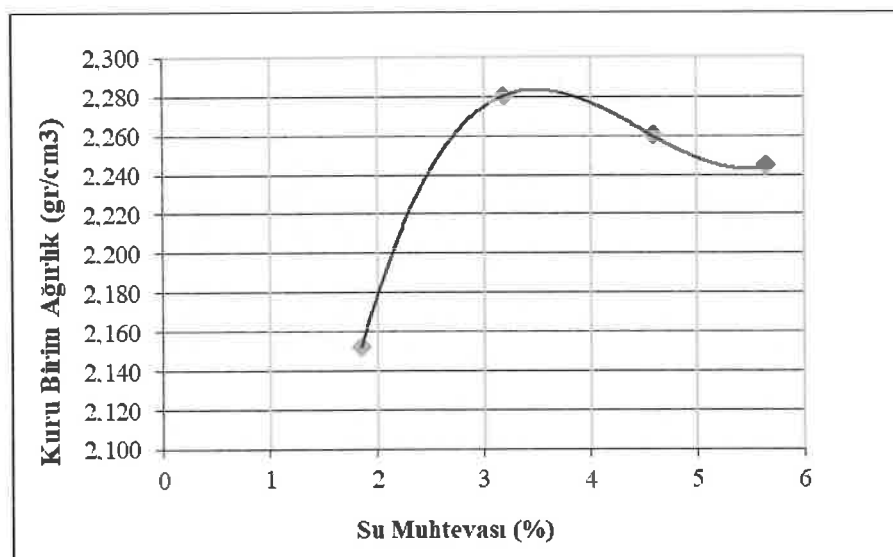
Şekil 4.23'da Traverten (T2) numuneleri için Prokтор eğrisi gösterilmiştir.



Şekil 4.23. Traverten (T2) modifiye Prokтор eğrisi

Şekil 4.23'deki grafikten Traverten (T2) için maksimum kuru ağırlık $2,185 \text{ g/cm}^3$ ve optimum su muhtevası % 5,97 olarak elde edilmiştir.

Şekil 4.24'de Doğal agregat (DA) numuneleri için modifiye Prokтор eğrisi gösterilmiştir.



Şekil 4.24. Doğal agregat (DA) modifiye Prokتور eğrisi

Şekil 4.24'deki grafikten Doğal agregat (DA) numuneleri için maksimum kuru birim ağırlık $2,282 \text{ g/cm}^3$ ve optimum su muhtevası % 3,26 olarak elde edilmiştir. Tablo 4.15' te traverten ve doğal agregat numunelerinin maksimum kuru birim ağırlık ve optimum su muhtevası değerleri gösterilmektedir.

Tablo 4.15. Modifiye Proktor deneyi sonuçları

	Maksimum Kuru Birim Ağırlık	Optimum Su Muhtevası (%)
Traverten (T1)	$2,129 \text{ g/cm}^3$	5,10
Traverten (T2)	$2,185 \text{ g/cm}^3$	5,97
Doğal Agregat (DA)	$2,282 \text{ g/cm}^3$	3,26

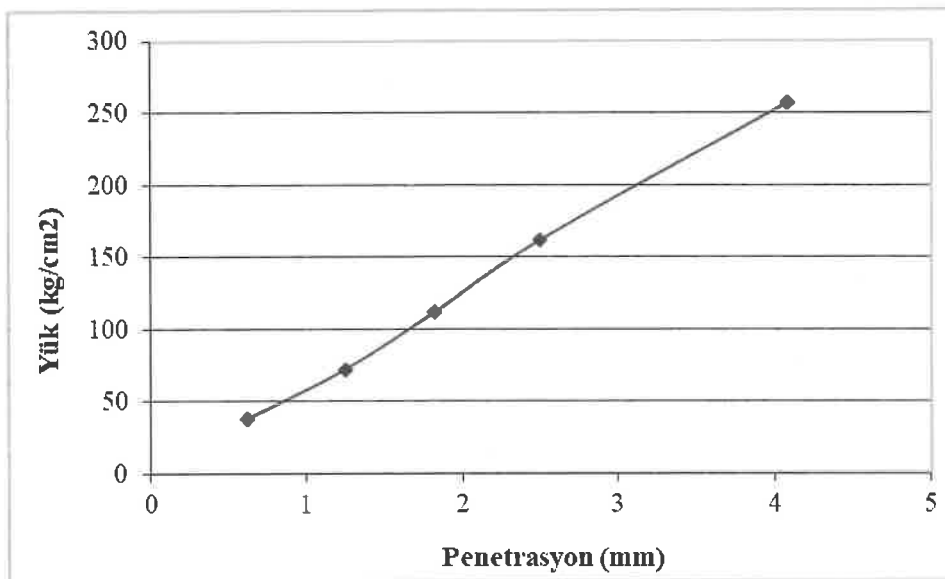
Tablo 4.15'deki tabloda gösterildiği gibi traverten numunelerinin optimum su muhtevası değerleri daha yüksek bulunmuştur. Traverten (T1) numuneleri için elde edilen maksimum kuru birim ağırlık değeri en düşük bulunmuştur. Traverten (T2) numuneleri için elde edilen optimum su muhtevası değeri en yüksek bulunmuştur. Doğal agregat numuneleri için optimum su muhtevası değeri en düşük bulunmuştur.

4.11. CBR Deneyi Sonuçları

Kuru CBR deneyi ve yaşı CBR deneyi uygulanan traverten ve doğal agregat numuneleri için elde edilen bulgular aşağıda verilmiştir. Deneyden elde edilen bulgular kuru CBR ve yaşı CBR için ayrı ayrı açıklanmıştır.

4.11.1. Kuru CBR Deneyi Sonuçları

Şekil 4.25'te doğal agregat numunelerine uygulanan kuru CBR deneyinden elde edilen yük-penetrasyon eğrisi gösterilmiştir.



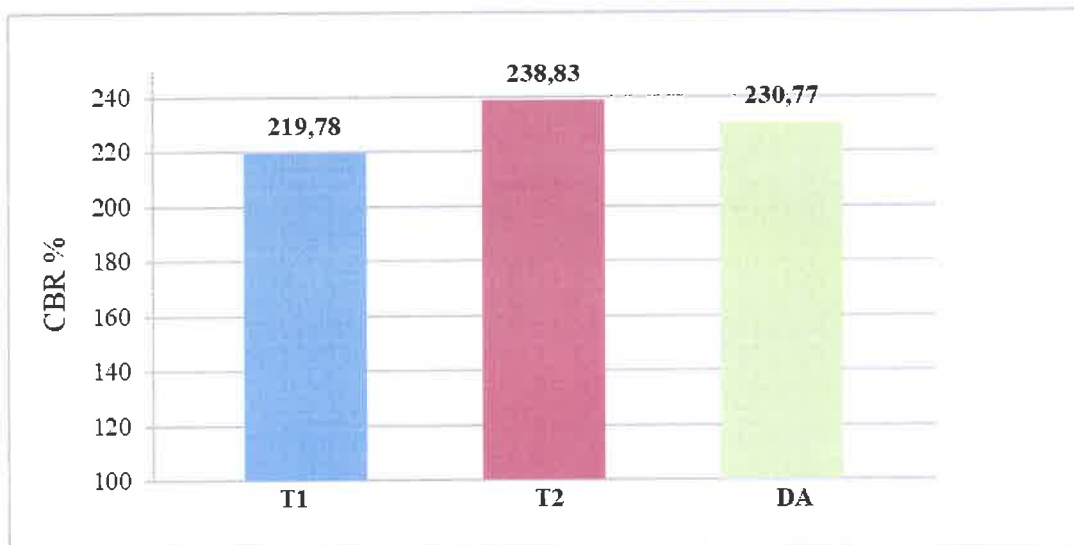
Şekil 4.25. Doğal agregat (DA) için kuru CBR deneyi yük-penetrasyon eğrisi

Yapılan kuru CBR deneyleri sonucunda elde edilen değerler Tablo 4.16'da gösterilmiştir.

Tablo 4.16. Kuru CBR deneyi bulguları

Malzeme	Sıkıştırma Yöntemi	CBR (%)
Traverten (T1)	Modifiye Prokтор	219,78
Traverten (T2)	Modifiye Prokتور	238,83
Doğal Agregat	Modifiye Prokتور	230,77

KTŞ'ne göre temel malzemesinde CBR değeri en az 100 olarak ifade edilmektedir. Tablo 4.16'da görüldüğü gibi her üç malzeme de temel tabakası malzemesi olarak yeterli CBR değerini karşılamıştır. Şekil 4.26'da kuru CBR deneyi için elde edilen değerler gösterilmiştir.

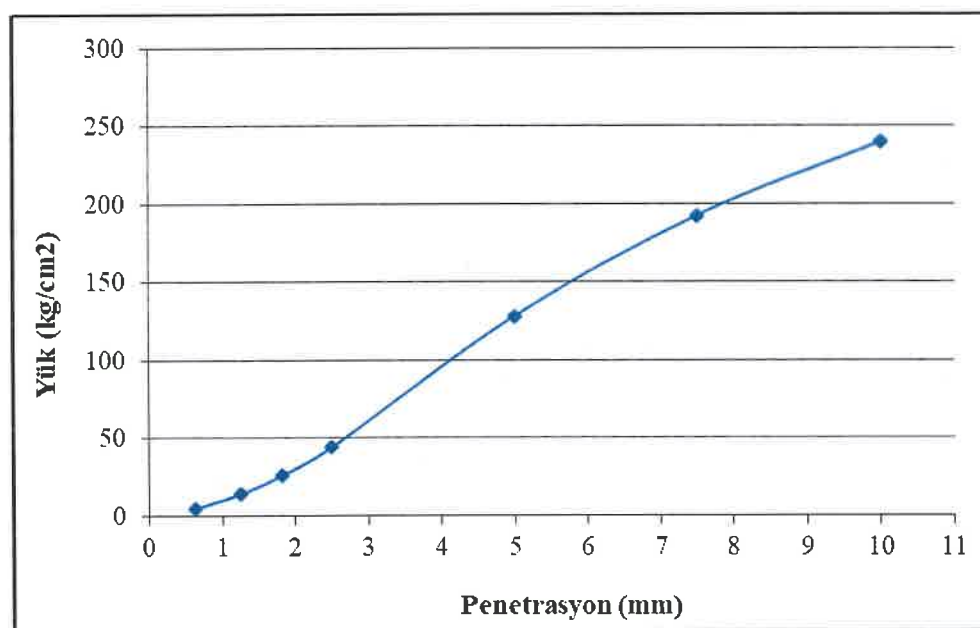


Şekil 4.26. Kuru CBR deneyinden elde edilen değerler

4.11.2. Yaş CBR Deneyi Sonuçları

Yaş CBR deneyinin sonucunda traverten ve doğal agrega numunelerinde şişme gözlenmemiştir.

Şekil 4.27'de Doğal agrega (DA) numunelerine uygulanan yaş CBR deneyinin sonucunda elde edilen yük-penetrasyon eğrisi gösterilmiştir.



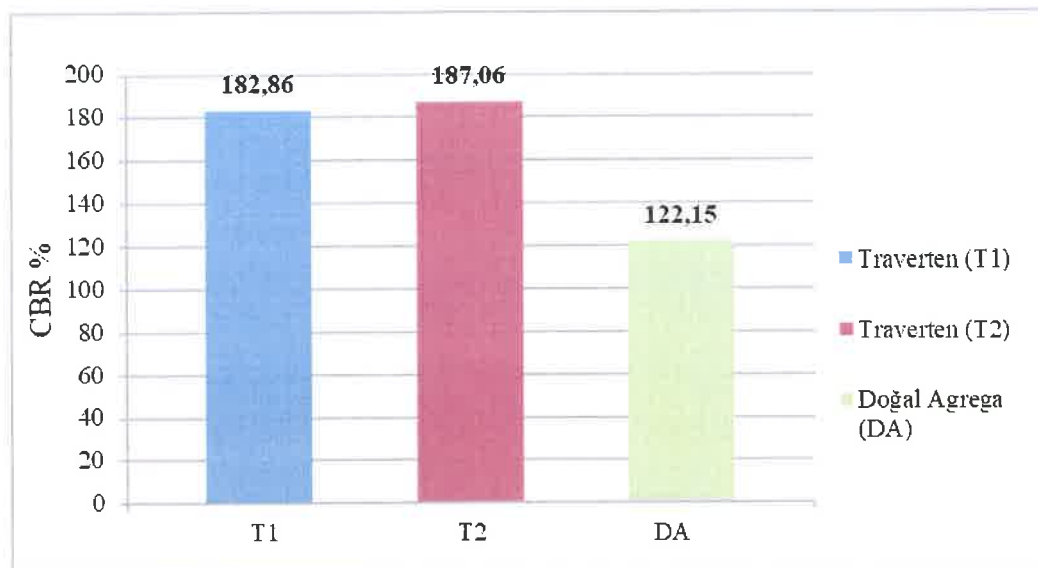
Şekil 4.27. Doğal agrega (DA) için yaş CBR deneyi yük-penetrasyon eğrisi

Yaş CBR deneyinin sonucunda elde edilen değerler Tablo 4.17'de gösterilmiştir.

Tablo 4.17. Yaş CBR deneyi bulguları

Malzeme	Sıkıştırma Yöntemi	CBR (%)
Traverten (T1)	Modifiye Proktor	182,86
Traverten (T2)	Modifiye Proktor	187,06
Doğal Agrega	Modifiye Proktor	122,15

Şekil 4.28'de yaş CBR deneyi için elde edilen değerler gösterilmiştir.



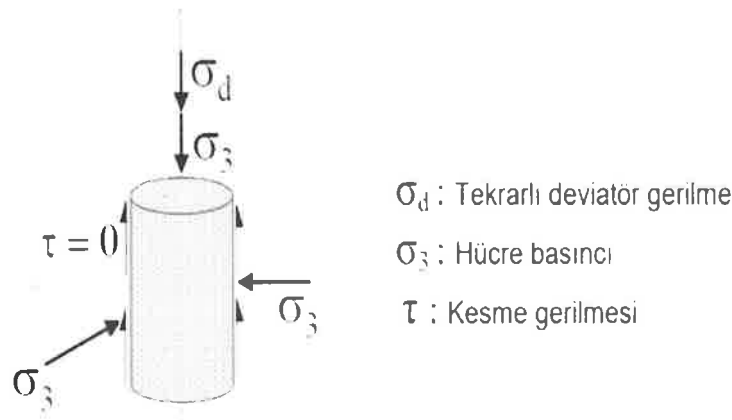
Şekil 4.28. Yaş CBR deneyinden elde edilen değerler

Kuru CBR sonuçları her üç malzeme için birbirine oldukça yakın sonuçlar vermişken traverten numunelerinde yaş CBR sonuçları Doğal agrega (DA) numunelerine kıyasla daha yüksek elde edilmiştir. Burada travertenin boşluklu yapısından dolayı suyu emerek tanelerin arasındaki kaymayı azalttığı söylenebilir.

4.12. Üç Eksenli Deneyi Sonuçları

AASHTO'nun 1986 yılında çıkardığı üstyapı tasarım rehberinde ve sonraki güncellemelerinde bağlayıcısız yol malzemeleri için esneklik modülünün başlıca tasarım parametresi olarak kullanılması önerilmektedir. Dinamik üç eksenli deneyleri sırasında numuneye uygulanan yanal ve düşey gerilmeler, Şekil 4.29'da gösterildiği şekilde uygulanmaktadır. Kesme gerilmesi için tekerlek ekseninin altında sıfır olduğu kabulü

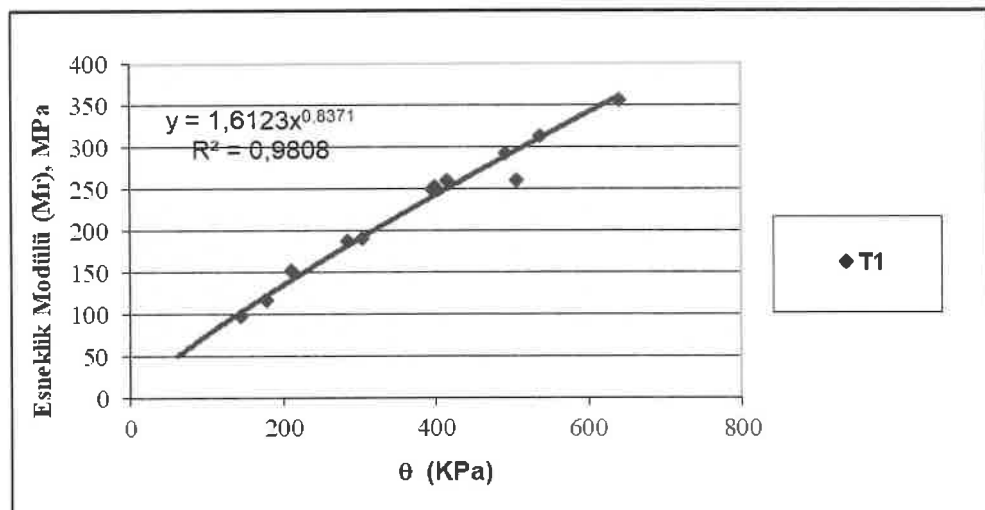
yapılmaktadır. Aşağıda numuneye uygulanan gerilmeler (σ_d = Deviatör gerilme, σ_3 = Çevre basıncı, $\sigma_d + \sigma_3$ = Toplam eksenel gerilme) ifade edilmektedir (Yılmaz vd., 2008).



Şekil 4.29. Deney numunesine üç eksenli hücrende etkiyen gerilmeler (Yılmaz vd., 2008)

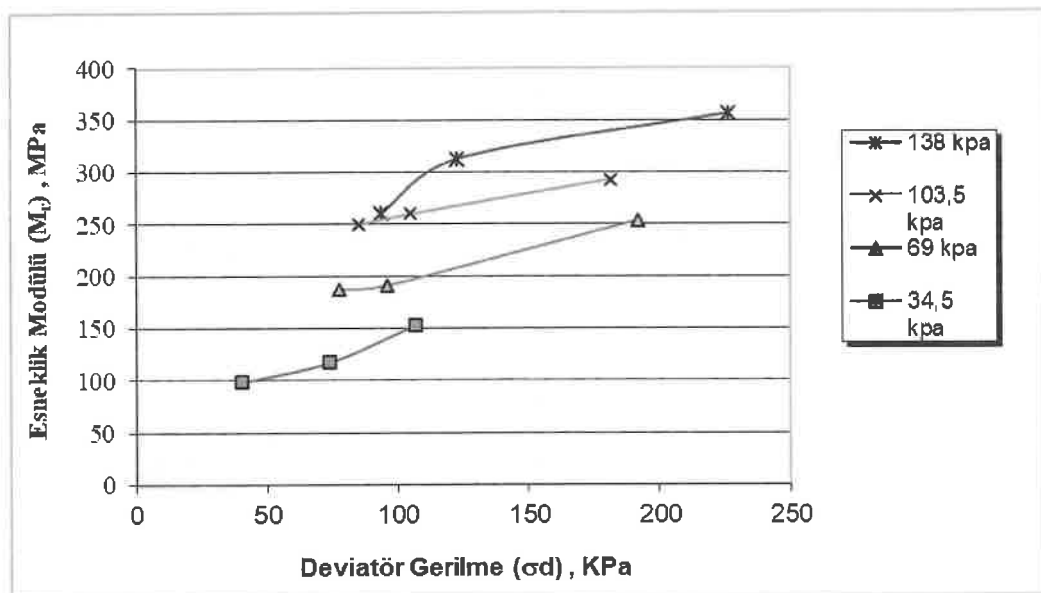
Üç eksenli deneyi sonucunda numuneler için Esneklik Modülü (M_f) değeri elde edilmiştir. Esneklik modülünün uygulanan deviatör gerilme ve toplam gerilme ile değişimi gösteren grafikler aşağıda verilmiştir.

Traverten (T1) numunesi için yapılan üç eksenli deneyinden elde edilen esneklik modülü – toplam gerilme grafiği Şekil 4.30'da gösterilmiştir.



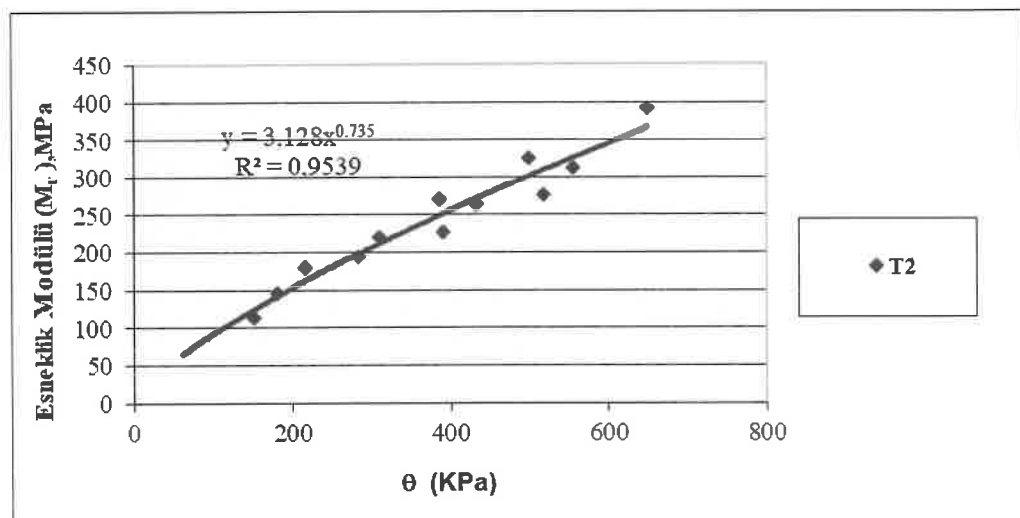
Şekil 4.30. Traverten (T1) esneklik modülü – toplam gerilme grafiği

Traverten (T1) numunesi için yapılan üç eksenli deneyinden elde edilen esneklik modülü - deviatör gerilme grafiği Şekil 4.31'de gösterilmiştir.



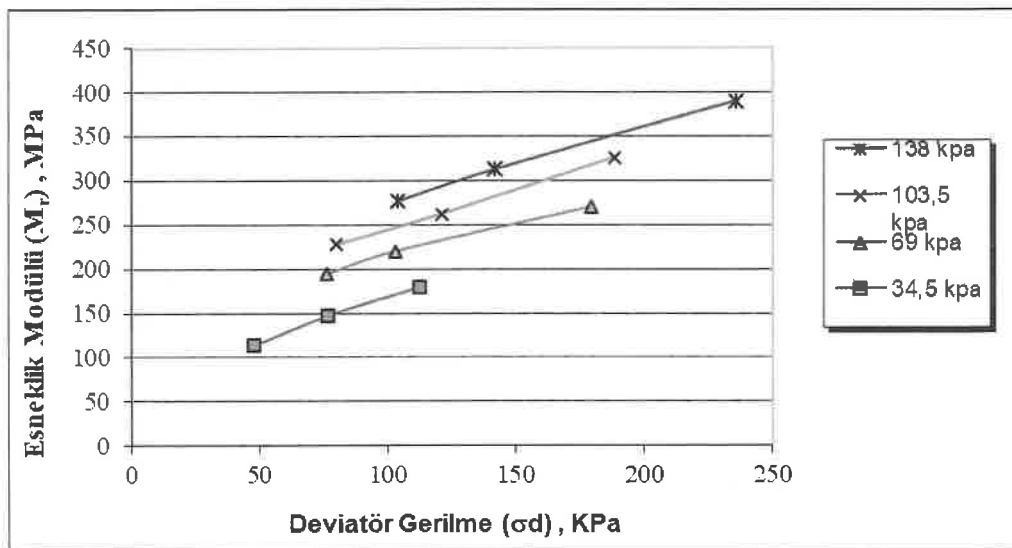
Şekil 4.31. Traverten (T1) için elde edilen esneklik modülü – deviatör gerilme grafiği

Traverten (T2) numunesi için yapılan üç eksenli deneyinden elde edilen esneklik modülü – toplam grafiği Şekil 4.32'de gösterilmiştir.



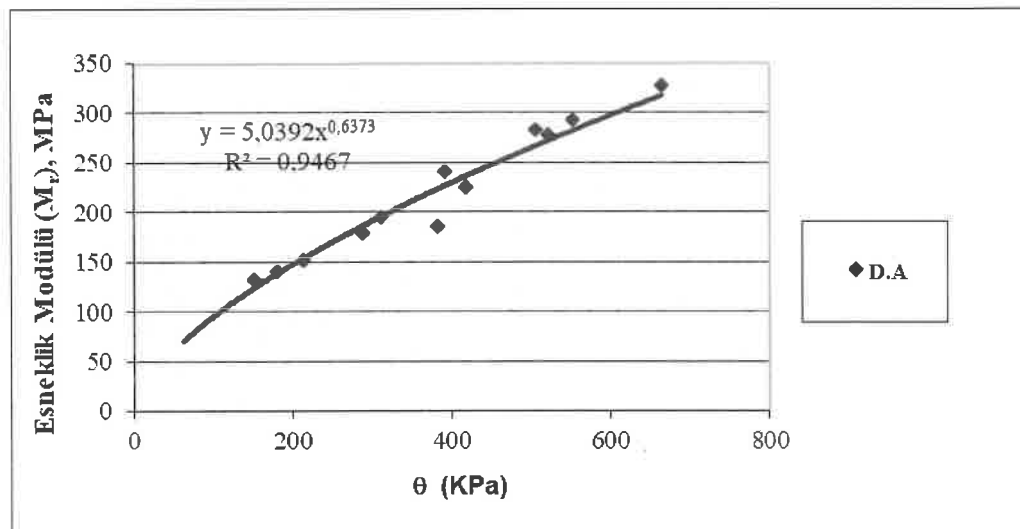
Şekil 4.32. Traverten (T2) esneklik modülü – toplam gerilme grafiği

Traverten (T2) numunesi için yapılan üç eksenli deneyinde esneklik modülü - deviatör gerilme grafiği Şekil 4.33'de gösterilmiştir.



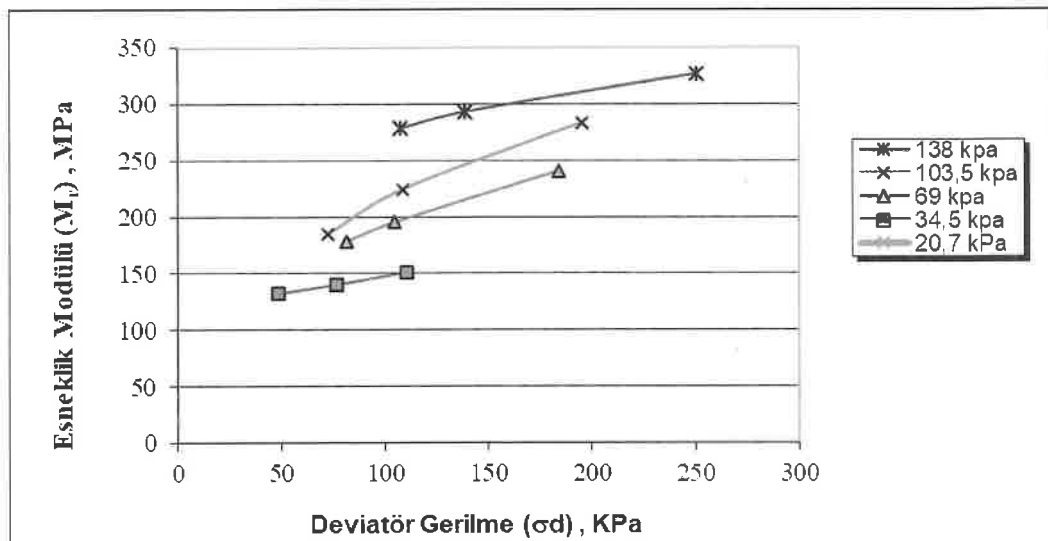
Şekil 4.33. Traverten (T2) için elde edilen esneklik modülü – deviatör gerilme grafiği

Doğal agregat (DA) numunesi için yapılan üç eksenli deneyinden elde edilen esneklik modülü – toplam gerilme grafik Şekil 4.34’te gösterilmiştir.



Şekil 4.34. Doğal agregat (DA) esneklik modülü – toplam gerilme grafiği

Doğal agregat (DA) numunesi için yapılan üç eksenli deneyinde esneklik modülü – deviatör gerilme grafiği Şekil 4.35’tedir.



Şekil 4.35. Doğal agregat (DA) için elde edilen esneklik modülü – deviatör gerilme grafiği

Esneklik modülü numuneye uygulanan gerilmeye göre lineer olmayan bir şekilde değişim göstermektedir. Bu non-lineer değişimi modellemek amacıyla araştırmacılar tarafından pek çok formül geliştirilmiştir. M_r tahmin modellerinden en çok kabul gören K-θ Modeli burada ele alınmıştır. Denklem (4.1) aşağıda gösterilmektedir.

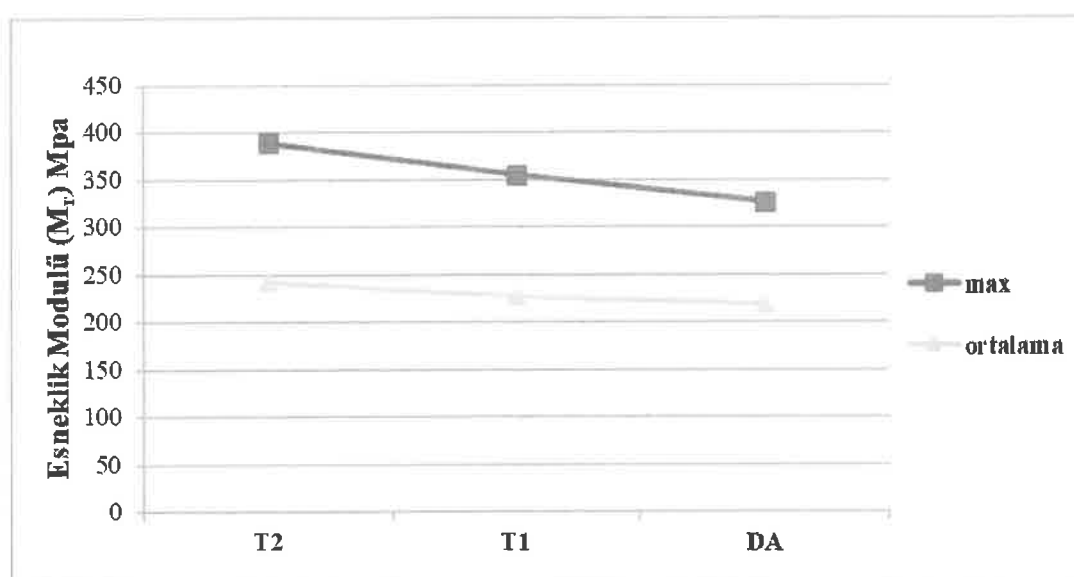
$$M_r = k_1 \theta^{k_2} \quad (\text{k-θ Modeli}) \quad (4.1)$$

Modelde k_2 parametresi M_r -θ grafiğindeki eğrinin eğimini ifade etmektedir. k_1 değeri ise M_r -θ grafiğindeki eğrinin "y" eksenini kestiği noktadır. İri malzeme oranı fazla olan karışıntılar için k_2 değeri daha büyüktür, ince malzeme miktarı arttıkça k_2 değeri azalır. Bu durum kaba gradasyonlu karışıntılar için gerilme-bağımlılığının daha etkili olduğunu göstermektedir (Yılmaz vd., 2008). Deneyel bulguların bu modellerde yerine konulması ile elde edilen "k" malzeme parametreleri ve R^2 değerleri belirlenmiştir. Tablo 4.18'de bu veriler görülmektedir.

Tablo 4.18. Üç eksenli deneyi bulguları (k-θ Modeli)

Malzeme türü	Malzeme parametreleri		R^2
	k_1	k_2	
T1	1,612	0,837	0,980
T2	3,128	0,735	0,953
DA	5,039	0,637	0,946

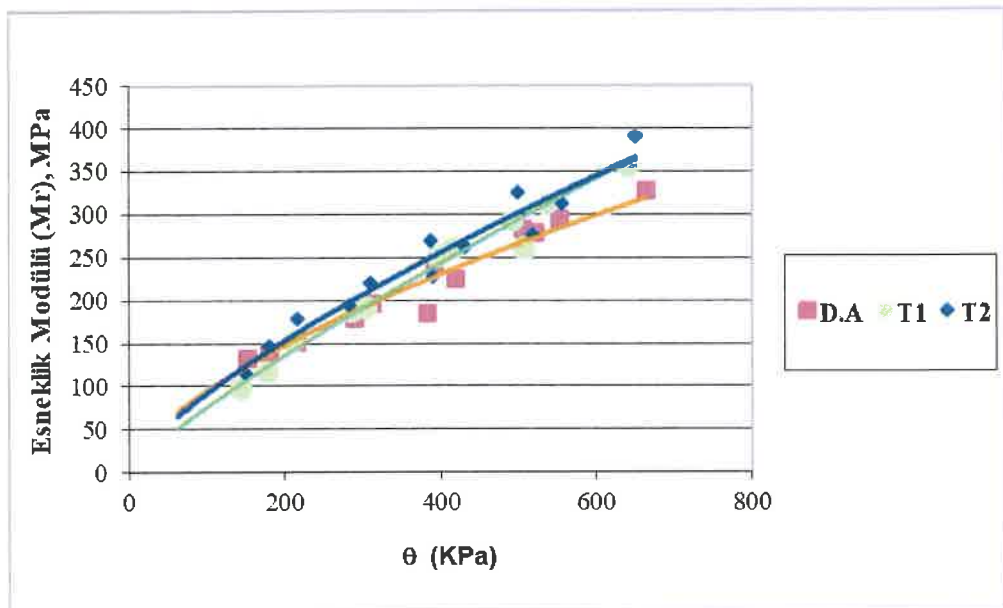
Esneklik modülü değerlerini kıyaslayabilmek amacıyla, elde edilen farklı M_r değerlerinin max ve ortalama değerleri Şekil 4.36'da grafik olarak gösterilmiştir.



Şekil 4.36. Maksimum ve ortalama M_r değerlerinin grafik gösterilişi

Şekil 4.36'daki grafikten görüleceği gibi Traverten (T2) numunesi için hem maksimum gerilme değeri hem de ortalama gerilme değeri olarak en yüksek değerler elde edilmiştir. Traverten (T1) numunesi için maksimum ve ortalama gerilme değerleri Traverten (T2)'ye göre daha düşük Doğal agregat (DA) numunesinden daha yüksek değerler elde edilmiştir.

Traverten (T1), Traverten (T2) ve Doğal agregat (DA) numuneleri için üç eksenli deneyinin sonucunda elde edilen M_r değerlerinin θ ile değişimini gösteren toplu grafik Şekil 4.37'de gösterilmiştir.



Şekil 4.37. Esneklik modülü değerlerinin toplam gerilme ile değişimini gösteren toplu grafik

Şekil 4.38'deki grafikten görüleceği gibi düşük (θ) toplam gerilme değerleri için Traverten (T2) ve Doğal agregat (DA) numunelerinin M_r değerleri Traverten (T1) numunelerine göre nispeten daha yüksek değerler almıştır. Yüksek (θ) toplam gerilme değerleri için Traverten (T1) ve Traverten (T2) numunelerinin M_r değerleri birbirine yaklaşmıştır.

Doğal agregat (DA) numuneleri düşük (θ) toplam gerilme değerleri için M_r değerleri Traverten numunelerine yakın sonuçlar gösterirken yüksek (θ) toplam gerilme değerleri için Traverten numunelerinden ayrışarak daha düşük M_r değerleri elde edilmiştir.

5. SONUÇ

Bu Çalışmada, Burdur ili Bucak ilçesinde bulunan ve traverten üretimi yapan 2 farklı mermer fabrikasında üretim esnasında ortaya çıkan traverten atıklarının karayolu esnek üstyapısının granüler temel tabakalarında agrega olarak kullanılabilirliği incelenmiştir. Şahit numune olarak kullanılan doğal agrega (dolomit) ile elde edilen deneysel veriler ile karşılaştırılmıştır.

Traverten atıklarının karayolu üstyapısında granüler tabakalarda agrega olarak kullanımı amaçlandığı için bu malzemenin KTŞ’nde belirtilen kriterlere uygunluğu deneysel çalışmalar ile incelenmiştir. Çalışmada, hem aggregaların fiziksel ve kimyasal özellikleri hem de kapalı gradasyona sahip agrega karışımının mekanik performansları tespit edilmiştir.

Los Angeles (Aşınma) deneyinin sonucunda aşınma yüzdeleri Traverten (T1) numunesi için % 28,97 ve Traverten (T2) numuneleri için % 24,95 olarak hesaplanmıştır. Aynı deneyde doğal agrega için % 14,82 olarak bulunmuştur. Traverten numuneleri ve doğal agrega numunesi karayollarında kullanılan aggregalar için şartname limit değeri % 35’in altında kalarak izin verilen limitleri sağlamıştır. Doğal agrega numunelerinden elde edilen veriler istenilen aşınma değerine daha yakın çıkmıştır.

Su emme deneyi sonucunda Traverten (T1) numunesi için % 2,26, Traverten (T2) numunesi için % 1,99 ve doğal agrega numunesi için ise % 0,97 su emme değerleri elde edilmiştir. Traverten numunelerinin su emme değeri doğal aggreganın yaklaşık iki katı oranında fazla bulunmuştur. Tüm numuneler % 3,00 olan KTŞ limitini sağlamıştır.

Hava tesirlerine karşı dayanıklılık deneyi (donma çözülme deneyi) sonucunda, Traverten (T1) numuneleri için % 10,60 kayıp oranı, Traverten (T2) numuneleri için % 8,86 kayıp oranı ve doğal agrega numuneleri için % 6,58 kayıp oranı elde edilmiştir. Su emme düzeyleri nispeten yüksek çıkan traverten numunelerinin beklenildiği gibi hava tesirleri kayıp oranı da doğal aggregadan yüksek çıkmıştır. Buna rağmen traverten numuneleri için KTŞ’nde izin verilen hava tesirleri kayıp oranı % 20 değerinden düşük değerler elde edilmiştir.

Yassılık indeksi ve uzunluk indeksi deneyinde traverten numunelerinin doğal agrega numunelerine göre hem daha yassı hem de daha ince-uzun olduğu tespit edilmiştir. Bu olgunun sebebi traverten numunelerinin laboratuvara çeneli kırcı ile kırılmış olmasından kaynaklanmaktadır. Traverten numuneleri için KTŞ’nde izin verilen limitler sağlanmıştır.

Traverten ve doğal agrega numuneleri için kuru CBR deneyi ve yaşı CBR deneyi uygulanarak yük taşıma kapasiteleri belirlenmiştir. Traverten ve doğal agrega numuneleri KTŞ’nde belirtilen % 100 CBR değerinden daha yüksek değerler sağlamıştır. Kuru CBR

sonuçları her üç malzeme için birbirine oldukça yakın sonuçlar vermişken traverten numunelerinde yaş CBR sonuçları Doğal agrega (DA) numunelerine kıyasla daha yüksek elde edilmiştir. Burada travertenin boşluklu yapısından dolayı suyu emerek tanelerin arasındaki kaymayı azalttığı söylenebilir.

Üç eksenli deneyleri sonucunda Traverten (T1), Traverten (T2) ve doğal agreganın esneklik modülü (M_r) değerleri bulunmuştur. Düşük (θ) toplam gerilme değerleri için Traverten (T2) ve Doğal agrega (DA) numunelerinin M_r değerleri Traverten (T1) numunelerine göre nispeten daha yüksek değerler almıştır. Yüksek (θ) toplam gerilme değerleri için Traverten (T1) ve Traverten (T2) numunelerinin M_r değerleri birbirine yaklaşmıştır. Doğal agrega (DA) numuneleri düşük (θ) toplam gerilme değerlerinde M_r değerleri için traverten numunelerine yakın sonuçlar gösterirken yüksek (θ) toplam gerilme değerleri için traverten numunelerinden ayrışarak daha düşük M_r değerleri elde edilmiştir. Traverten (T1) ve Traverten (T2) numuneleri için esneklik modülü doğal aggregaya yakın ya da daha yüksek değerler aldığı için karayolu üstyapısında granüler tabakalarda kullanılabileceği değerlendirilmektedir.

Deneylelerden elde edilen sonuçlara göre her iki traverten örneğinin de KTŞ’nde belirtilen esnek üstyapı granüler temel tabakası kriterlerini ve şartname limitlerini sağladığı görülmüştür. Ancak Doğal agrega (DA) ile kıyaslandığında traverten numunelerinin Los Angeles aşınma yüzdesi, su emme yüzdesi, hava tesirleri kayıp oranı, yassılık ve uzunluk indeksi, darbelenme değeri, CBR % değerleri daha yüksek bulunmuştur.

Gevşek-sıkışık birim hacim ağırlık, zahiri özgül ağırlık, hacim özgül ağırlık değerleri Doğal agrega (DA) ile kıyaslandığında daha düşük elde edilmiştir. Doğal agrega (DA) numuneleri fiziksel ve kimyasal özellikler açısından daha iyi sonuçlar verirken Traverten numunelerinin dinamik yükler altında ölçülen esneklik modülü daha yüksek değerler almıştır.

Traverten agregaların karayolu üstyapısında granüler tabakalarda kullanılmakta olan geleneksel doğal aggregaya iyi bir alternatif ürün olacağı değerlendirilmektedir. Ancak, atık traverten nakliye maliyetleri de burada dikkate alınmalıdır. Atıkların ortaya çıktıığı mahalden uzaklaşıkça nakliye maliyetlerinden dolayı birim maliyetler de artacaktır.

Traverten atıklarının karayolu inşaatlarında agrega olarak değerlendirilmesi, çevreye duyarlılık açısından atıkların azaltılması ve tarım alanlarından uzaklaştırılması yönleriyle de büyük faydalar sağlayacağı aşikârdır. Traverten atıklarının agrega olarak değerlendirilmesi, büyük oranda mermer üretimi yapan bölgelerde sağlıklı ve göze daha hoş gözüken bir çevre sağlanması açısından da oldukça önemlidir.

Sonuç olarak Burdur ilinin kanayan bir yarası olan atık mermer sorununun ele alınmasının bu konuya alakalı olan resmi ve gayri-resmi kurumların faaliyetlerine de önemli

ölçüde katkı sağlayacağı düşünülmektedir. Bu ve benzeri çalışmalar neticesinde mermere sektörüne yönelik tepkilere yol açan mermer atıklarının, hem çevresel açıdan daha az sakıncalı bir içerikle doğaya bırakılması hem de ülke ekonomisine katkısının artırılması yönünde ciddi adımlar atılabileceği düşünülmektedir.

Bu çalışmada elde edilen bulgular ve araştırma sonuçlarının ileride yapılacak çalışmalarla bir altlık oluşturacağı düşünülmektedir. Ayrıca bu ve benzeri çalışmaların uygulamaya geçirilebilmesinin sağlanması neticesinde farklı bölgelerdeki traverten üzerine olan çalışmalara da örnek teşkil edeceği düşünülmektedir.

KAYNAKLAR

- Akbulut, H., Gürer, C., 2006. Atık mermerlerin asfalt kaplamalarda agregat olarak değerlendirilmesi. *İMO Teknik Dergi*, Yazı 261, 3943-3960.
- Akbulut, H., Gürer, C., 2003. Mermer Atıklarının Çevresel Etkileri ve Yol Katmanlarında Kullanarak Faydalama ve Atık Azaltma İmkanları, *Türkiye IV. Mermer Sempozyumu (Mersem'2001) Bildiriler Kitabı*, Afyonkarahisar, 371-378.
- Akbulut, H., İçağa, Y., Gürer, C., 2003. Atık Agregaların Asfalt Yol Kaplamalarında Tekrar Kullanım İmkanları ve CEN Standartları, *III Ulusal Kirmataş Sempozyumu*, İstanbul, 271-276.
- Allen, J.J., Thompson, M.R. 1974. Resilient response of granular materials subjected to time dependent lateral stresses. *Transportation Research Record*, 510, 1-13.
- Alptuna G., 2009. Dolomit Kökenli Agregaların Alkali-Karbonat Reaktivitesinin Araştırılması, Yüksek Lisans Tezi. Dokuz Eylül Üniversitesi Fen Bilimleri Enstitüsü, İzmir, Türkiye.
- Araya, A.A., Huurman, M., Molenaar, A.A.A., Houben, L. J. M., 2012. Investigation of the resilient behavior of granular base material with simple test apparatus, *Materials and Structures*, 45, 695–705.
- AASHTO, 1994. *Standard test method for determining the resilient modulus of soils and aggregate materials*, TP 46, AASHTO, USA.
- ASTM C131, 2014. *Standard Test Method for Resistance to Degradation of Small-Size Coarse Aggregate by Abrasion and Impact in the Los Angeles Machine*, American Society for Testing and Materials, USA.
- ASTM D8-18c, 2018. *Standard Terminology Relating to Materials for Roads and Pavements*, ASTM International, West Conshohocken, PA.
- ASTM D 1883, 2000. *Standard Test Method for CBR (California Bearing Ratio) of Laboratory-Compacted Soils*, USA.
- Bağdatlı, M.E.C., Yıldırım, M.Ş., 2017. Karayolu Üstyapılarındaki Bozulmaların Bakım Maliyetlerine Etkisi. *Nevşehir Bilim ve Teknoloji Dergisi*, 6, 102-111.
- Barksdale, R.D., 1993. Compressive Stress Pulse Times in Flexible Pavements for Use in Dynamic Testing. *Transportation Research Record*, 537, 32-44.
- Barksdale, R.D., Alba, J. 1997. *Laboratory Determination of Resilient Modulus for Flexible Pavement Design: Final Report*, The National Academic Press, Washington D.C. 464.
- BS 812-105.1, 1989. *Flakiness Index of Coarse Aggregate*, British Standard, England.
- BS 812-105.2, 1990. *Elongation Index of Coarse Aggregate*, British Standard, England.

- Büyüksağış, S., Gürcan, S., 2005. ASTM ve TSE doğal taş standartlarının karşılaştırılması. *Madencilik*, 44 (1), 33-41.
- Ceylan, H., Mança, S., 2013. Mermer parça atıklarının beton agregası olarak değerlendirilmesi. *Süleyman Demirel Üniversitesi Teknik Bilimler Dergisi*, 3(2), 21-25.
- Çağlayan, M., Haberveren, S., İpekoğlu, B., Kurşun, İ., 1999. Beton Yapımında Kullanılan Agregaların Özellikleri ve Örnek Bir Kuruluş 'İston', *2.Uluslararası Kırma Taş Sempozyumu*, İstanbul. 69-79.
- Çelik, M.Y., Emrullahoglu, Ö.F., 1999. Mermer atıklarından polyester bağlayıcılı suni mermer blok ve levha üretiminin araştırılması. *Afyon Kocatepe Üniversitesi Fen Bilimleri Dergisi*, 1-1, 35-50.
- Çetin, T., 2003. Türkiye mermer potansiyeli, üretimi ve ihracatı. *Gazi Üniversitesi Gazi Eğitim Fakültesi Dergisi*, 23(3), 243-256.
- Çobanoğlu, İ., Çelik, S.B., Çam, O., Etiz, H., Kurşun, M, 2014. Denizli bölgesi traverten atıklarının beton agregası olarak kullanılabilirliğinin incelenmesi. *Pamukkale Üniversitesi Mühendislik Bilimleri Dergisi*, 20(3), 92-99.
- Deniz, M.T., 2002. Numune Yüksekliği ve Sıkıştırma Enerjisinin Marshall Stabilitesi ile Dolaylı Çekme Modülüne Etkisi, Yüksek Lisans Tezi. İstanbul Teknik Üniversitesi, Fen Bilimleri Enstitüsü, İstanbul, Türkiye.
- Dipova, N., 2005. Antalya Tufa Platosundaki Zeminlerin Mühendislik Özellikleri. *Antalya Yöresinin İnşaat Mühendisliği Sorunları Kongresi*, Antalya, 22-25.
- Duran, G., 2016. Kümelenme düzeyi üzerine bir araştırma: Bucak ilçesi mermer sektörü örneği. *Mehmet Akif Ersoy Üniversitesi Sosyal Bilimler Enstitüsü Dergisi*, 8(15), 147-163.
- Dündar, G., 1998. Esnek Üstyapı Tasarım Yöntemlerinin Karşılaştırılması, Yüksek Lisans Tezi. İstanbul Teknik Üniversitesi Fen Bilimleri Enstitüsü, İstanbul, Türkiye.
- Erdem, R.T., Öztürk, A.U., 2012. Mermer tozu katkısının çimento harcı donma-çözünme özellikleri üzerine etkisi. *Bülent Ecevit Üniversitesi Fen Bilimleri Dergisi*, 1, 85-91.
- Ergezer, F., 2018. Sıcak çermik bölgesi (Sivas) traverten atıklarının yol temel ve alt temel tabakalarında kullanılabilirliğinin araştırılması. *Süleyman Demirel Üniversitesi Fen Bilimleri Enstitüsü Dergisi*, 22, 181-188.
- Erol, B., 2018. Atık maddelerin Yol İnşaatlarında Temel Malzemesi Olarak Kullanımı, Yüksek Lisans Tezi. İstanbul Teknik Üniversitesi Fen Bilimleri Enstitüsü, İstanbul, Türkiye.
- Filiz, M., Özel, C., Soykan, O., Ekiz, Y., 2010. Atık mermer tozunun parke taşlarında kullanılması. *Yapı Teknolojileri Elektronik Dergisi*, 6(2), 57-72.
- Güven, H., 2015. Denizli ve Çevresindeki Traverten Atıklarının Betonda Katkı Malzemesi Olarak Kullanılması, Yüksek Lisans Tezi. Pamukkale Üniversitesi Fen Bilimleri Enstitüsü, Denizli, Türkiye.

- Hicks, R.G., Monismith, C. L., 1971. Factors influencing the resilient response of granular materials highway soils engineering. *Highway Research Record*, 345, 15-31.
- Huang, Y., H., 1993. *Pavement Analysis and Design*, Prentice-Hall, New Jersey.
- Kadioğlu, Y., Özav L., 2008. Denizli ilinde önemli bir ekonomik fonksiyon özelliği kazanan endüstriyel doğal taşlar : Mermer ve traverten. *Marmara Coğrafya Dergisi*, 8, 253-271.
- Kamacı, C., 2013. Traverten İşlenmesi Sırasında Karşılaşılan Problemler, Yüksek Lisans Tezi. Eskişehir Osmangazi Üniversitesi, Fen Bilimleri Enstitüsü, Eskişehir, Türkiye.
- Kavas, T., Kibici, Y., 2001. Afyon Bölgesi Mermer Atıklarının Portlant Kompoze Çimentosu Üretiminde Katkı Maddesi Olarak Kullanım Olanakları, *Türkiye 3. Mermer Sempozyumu, MERSEM 2001*, Afyon. 327-335.
- Kaya, Z., Çetin, A., Çetin, B., Aydilek, A., 2013. Granüler temel tabakasının mekanik davranışına sıkıştırma yöntemleri ve agrega özelliklerinin etkisi. *İnşaat Mühendisleri Odası Teknik Dergi*, Yazı 404, 6463-6470.
- Kök, E., 2008. Karayolu ve Havaalanı Üstyapı Tasarım Yöntemleri, Karşılaştırması ve Türkiye Uygulamaları, Yüksek Lisans Tezi. İstanbul Teknik Üniversitesi Fen Bilimleri Enstitüsü, İstanbul, Türkiye.
- KTŞ, 2013. *Karayolları Teknik Şartnamesi (Yol Üstyapısı, Sanat Yapıları, Köprü ve Tüneller, Üstyapı ve Çeşitli İşler)*, Çevre ve Şehircilik Bakanlığı, Karayolları Genel Müdürlüğü Matbaası, Ankara.
- LTPP Protocol P46, 1996. *Resilient Modulus of Unbound Granular Base/Subbase Materials and Subgrade Soils, Long-Term Pavement Performance*, Federal Highway Administration, Virginia.
- Marr, W.A., Hankour, R., Werden, S.K., A Fully, 2003. *Automated Computer Controlled Resilient Modulus Testing System, Resilient Modulus Testing for Pavement Components*, ASTM STP 1437, ASTM International, West Conshohocken PA.
- Ok, B., Demir, A., 2018. Yapım yıkım atıklarının yol temellerinde kullanılabilirliğinin incelenmesi. *Ömer Halisdemir Üniversitesi Mühendislik Bilimleri Dergisi*, 7, 224-236.
- Okubay M., Yardım M.S., 2016. Mermer atıklarının bitümlü sıcak karışımlarının stabilité özelliklerine etkisi. *Engineering Sciences*, 11, 73-82.
- Ontürk, K., Firat, S., Vural, I., Khatib, J. M., 2014. Uçucu kül ve mermer tozu kullanarak yol altyapısının iyileştirilmesi. *Politeknik Dergisi*, 17(1), 35-42.
- Öksüz, B., 2011. Asfalt Betonu Kaplamalarda Volkanik Cüruf ve Cam Atıklarının Filler Olarak Kullanılabilirliğinin Araştırılması, Yüksek Lisans Tezi. Süleyman Demirel Üniversitesi Fen Bilimleri Enstitüsü, Isparta, Türkiye.

- Özdemir, E., Sarıcı, D.E, Sarıcı, T., 2017. Doğu anadolu bölgesinde bulunan bazı mermer atıklarının yol temel ve alt temel tabakalarında kullanılabilirliğinin değerlendirilmesi. *Dumlupınar Üniversitesi Fen Bilimleri Enstitüsü Dergisi*, 39, 13-20.
- Polat, S., 2011. Türkiye'de traverten oluşumu, yayılış alanı ve korunması. *Marmara Coğrafya Dergisi*, 23, 389 - 428.
- Pedley, H.M., 1990, Classification and environmental models of cool freshwater tufas. *Sedimentary Geology*, 68, 143 – 154.
- Rada, G., Witczak, M.W. 1981. *Comprehensive evaluation of laboratory resilient modulus results for granular material*. Transportation Research Record, 810, 23-33.
- Shaw, P. 1980. Stres-Strain Relationships for Granular Materials Under Repeated Loading. Ph.D. Thesis. University of Nottingham, Nottingham UK. 199.
- Seferoğlu, A.G., Seferoğlu, M.T., Akpinar, M.V., 2015. Yol Aşınma Tabakasının Geri dönüşüm Malzemesi Olarak Ulaşım Üstyapısında Kullanılabilirliğinin Araştırılması, *2nd International Sustainable Building Symposium*, Ankara, 281-287.
- Sel, E., 2006. Dünya ve Türkiye Ölçeğinde Doğal Taş ve Seramik Kaplama Malzemelerinin Sektörel Analizi, Yüksek Lisans Tezi. İstanbul Teknik Üniversitesi Fen Bilimleri Enstitüsü, İstanbul, Türkiye.
- Seren, I.S, 2015. Elektrik Ark Fırını Cürüfunun Yapay Agrega Olarak Esnek Üstyapılarda Çimento Bağlayıcılı Granüler Temel Tabakasında Kullanılabilirliğinin İncelenmesi, Yüksek Lisans Tezi. İstanbul Teknik Üniversitesi Fen Bilimleri Enstitüsü, İstanbul, Türkiye.
- Soykan, O., Özel, C., Öcal, C., 2015. Arduvaz ve andezit'in beton agregası olarak kullanılabilirliğinin araştırılması. *Süleyman Demirel Üniversitesi Fen Bilimleri Enstitüsü Dergisi*, 19 -1, 69-74.
- Terzi, S., Karaşahin, M., 2003. Mermer toz atıklarının asfalt betonu karışımında filler malzemesi olarak kullanımı. *İMO Teknik Dergi*, Yazı 193, 2903-2922.
- Topay, M.H., 2011. Bucak İlçesinin (Burdur) Beşeri ve Ekonomik Coğrafya Özellikleri, Yüksek Lisans Tezi. Selçuk Üniversitesi Eğitim Bilimleri Enstitüsü, Konya, Türkiye.
- TSE, 2011. *Agregaların Termal ve Bozunma Özellikleri İçin Deneyler - Bölüm 2: Magnezyum Sülfat Deneyi*, TS EN 1367-2, Türk Standartları Enstitüsü, Ankara.
- TSE, 2013. *Agregaların Mekanik ve Fiziksel Özellikleri İçin Deneyler 6: Tane Yoğunluğu ve Su Emme Oranı Tayini*, TS EN 1097-6, Türk Standartları Enstitüsü, Ankara.
- TSE, 2015. *Agregaların geometrik özellikleri için deneyler - Bölüm 1: Tane büyütüğü dağılıminin tayini - Eleme yöntemi*, TS EN 933-1, Türk Standartları Enstitüsü, Ankara.

- TSE, 2015. *İnşaat Mühendisliğinde Zemin Laboratuvar Deneyleri - Bölüm 1: Fiziksel Özelliklerin Tayini*, TS 1900-1:2006-T2, Türk Standartları Enstitüsü, Ankara.
- Ural, N., Yakşe, G., 2015. Atık mermer parçalarının yol temel malzemesi olarak değerlendirilmesi. *Bilecik Şeyh Edebali Üniversitesi Fen Bilimleri Dergisi*, 2(2), 53-62 s.
- URL-1, 2019. *Yol üstyapısı, Karayolu Yol Üstyapısı Cumhuriyet Üniversitesi Mühendislik Fakültesi İnşaat Mühendisliği Bölümü 2010-2011 Güz Dönemi Ders Notları*, Sivas. <https://docplayer.biz.tr-2791440-Karayolu-yol-üst-yapisi.html>, (Erişim tarihi: 20/05/2019)
- URL-2, 2019. *Bucak Ekonomik Veriler*, Bucak Sanayi ve Ticaret Odası, Bucak Ekonomi, <http://www.bucaktso.org.tr/BUCAK/Ekonomi/tabid/16218/Default.aspx> (Erişim Tarihi: 23.07.2019)
- URL-3, 2019. *Agregalar*, http://kisi.deu.edu.tr/halit.yazici/YM2/YM II%234_AGREGALAR-1.pdf (Erişim Tarihi:25.05.2019)
- URL-4, *Yapı Malzemesi*, 2019. *Agregalar*, http://insaatmuh.cbu.edu.tr/db_images/file/yapi-malzemesi-agregalar-1-4119TR.pdf,(Erişim tarihi:25.05.2019)
- URL-5, 2019. *Kireçtaşı*, <http://www.bilgiyasam.com/kirectasi-nedir-kirectasinin-kullanimanlanlari-nelerdir-7022/> (Erişim Tarihi: 20.05.2019)
- URL-6, 2019. *Kayaçların Özgül Kütleleri*, <http://teknikrehber.net/kayaclarin-ozgul-kutleleri/>, (Erişim tarihi:25.05.2019)
- Uzer, O., 2017. Mermercilik Sektörünün Ekonomik Ve Toplumsal Kalkınmaya Etkilerinin Sosyolojik Analizi: Batı Akdeniz Örneği, Yüksek Lisans Tezi. Süleyman Demirel Üniversitesi, Sosyal Bilimler Enstitüsü, Isparta, Türkiye.
- Üstünkol, F.N., Turabi, A., 2010. Endüstriyel atık filler malzemelerin kullanılabilirliğinin araştırılması. *Balıkesir Üniversitesi Fen Bilimleri Enstitüsü Dergisi*, 12(1), 3-18.
- Yıldız, A.H., 2008. Mermer Toz Atıklarının Yol İnşaatında Değerlendirilmesi, Doktora Tezi. Süleyman Demirel Üniversitesi Fen Bilimleri Enstitüsü, Isparta, Türkiye.
- Yılmaz, A., Saltan, M., Akıllı, A., 2012. Göller yöresinde işletilen kireçtaşısı agregalarının yol inşaatı malzemesi olarak kullanılabilirliğinin araştırılması, *Pamukkale Üniversitesi Mühendislik Bilimleri Dergisi*, 18(3), 199-207.
- Yılmaz, A., 2017. Yol üstyapısında kullanılan cüruf atıklarının çevresel etkilerinin incelenmesi. *Mehmet Akif Ersoy Üniversitesi Fen Bilimleri Enstitüsü Dergisi*, 8, 123-134.
- Yılmaz, A., Sütaş, İ., 2008. Ferrokrom cürufunun yol temel malzemesi olarak kullanımı. *İMO Teknik Dergi*, Yazı 294, 4455-4470.
- Yılmaz, A., Yıldız, A.H., 2015. Cüruf Atıklarının Yol İnşaatında Kullanılması Durumunda Çevresel Etkileri, *International Burdur Earthquake & Environment Symposium*, Burdur, 267-279.

Yılmaz, A., 2008. Ferrokrom ve Silikoferrokrom Cürüfları ile Silis Dumanının Yol Üstyapısında Kullanımı, Doktora Tezi. Süleyman Demirel Üniversitesi Fen Bilimleri Enstitüsü, Isparta, Türkiye.

Yılmaz, A., Karaşahin, M., Çağlar, M.F., 2008. Granüler yol malzemeleri için düşük maliyetli dinamik üç eksenli test cihazı geliştirilmesi. *Süleyman Demirel Üniversitesi Fen Bilimleri Enstitüsü Dergisi*, 12(1), 26-34 s.

Yolcu, C., Girgin, Z.C., 2017. Dünyada yapay hafif agregalı yapısal beton uygulamaları ve doğal pomza agreganın kullanılabilirliği, *Aurum Mühendislik Sistemleri ve Mimarlık Dergisi*, Cilt 1(2), 59-67 s.

EKLER

EK-1 Los Angeles Deneyi Değerleri

Ek 1-Tablo 1.1. Traverten (T1) Los Angeles deneyi verileri

LOS ANGELES (AŞINMA) DENEYİ	
Deney tarihi	Traverten (T1)
Numunenin cinsi	4956
Numunenin başlangıç ağırlığı(M1)	3520
Numunenin son ağırlığı (M2)	28,97497982
LA (Los Angeles Katsayısı)	

$$\text{LA (Aşınma \%'si)} = \frac{M1 - M2}{M1} \cdot 100$$

Ek 1-Tablo 1.2. Traverten (T2) Los Angeles deneyi verileri

LOS ANGELES (AŞINMA)DENEYİ	
Deney tarihi	01.05.2019
Numunenin cinsi	Traverten (T2)
Numunenin başlangıç ağırlığı(M1)	4862
Numunenin son ağırlığı (M2)	3649
LA (Los Angeles Katsayısı)	24,94858083

$$\text{LA (Aşınma \%'si)} = \frac{M1 - M2}{M1} \cdot 100$$

Ek 1-Tablo 1.3. Doğal Agrega (DA) Los Angeles deneyi verileri

LOS ANGELES (AŞINMA) DENEYİ	
Deney tarihi	01.05.2019
Numunenin cinsi	DA(Doğal Agrega)
Numunenin başlangıç ağırlığı(M1)	4837,5
Numunenin son ağırlığı (M2)	4120,5
LA (Los Angeles Katsayısı)	14,82170543

$$\text{LA (Aşınma \%'si)} = \frac{M1 - M2}{M1} \cdot 100$$

EK.2 Yassılık İndeksi Deneyi Tabloları

Ek 2-Tablo 2.1. Traverten (T1) yassılık indeksi deneyi verileri

Tane büyülüüğü (mm)	AĞIRLIK (gr) (A)	Toplamda oranı (%) (D)	Yassi geçen (gr) (B)	orani $C=(B/A)*100$	Ağırlıklı yassılık oranı $(D/100)*C$
28-20	1000	22,22	498	49,80	11,07
20-14	2000	44,44	170	8,50	3,78
14-10	1000	22,22	120	12,00	2,67
10-6,3	500	11,11	102	20,40	2,27
TOPLAM	4500		890		19,78
				FI= Yassılık indeksi	19,78

Ek 2-Tablo 2.2. Traverten (T2) yassılık indeksi deneyi verileri

Tane büyülüüğü (mm)	AĞIRLIK (gr) (A)	Toplamda oranı (%) (D)	Yassi geçen (gr) (B)	orani $C=(B/A)*100$	Ağırlıklı yassılık oranı $(D/100)*C$
28-20	1000	22,22	538	53,80	11,96
20-14	2000	44,44	152	7,60	3,38
14-10	1000	22,22	54	5,40	1,20
10-6,3	500	11,11	101	20,20	2,24
TOPLAM	4500		845		18,78
				FI= Yassılık indeksi	18,78

Ek 2-Tablo 2.3. Doğal agrega (DA) yassılık indeksi deneyi verileri

Tane büyüğünü (mm)	Ağırlık (gr) (A)	Tutulan Yüzde (%) (D)	Uzun parçacıkların Ağırlığı (gr) (B)	Tekil Uzama İndeksi $C=(B/A)*100$	Ağırlıklı Uzama İndeksi $(D/100)*C$
28-20	1000	22,22	22	2,20	0,49
20-14	2000	44,44	218	10,90	4,84
14-10	1000	22,22	232	23,20	5,16
10-6.3	500	11,11	78	15,60	1,73
TOPLAM	4500		550		12,22
			EI= Uzunluk indeksi	12,22	

EK.3 Uzunluk İndeksi Deneyi Tabloları

Ek 3-Tablo 3.1. Traverten (T1) uzunluk indeksi deneyi verileri

Tane büyüğü (mm)	Ağırlık (gr) (A)	Tutulan Yüzde (%) (D)	Uzun parçacıkların Ağırlığı (gr) (B)	Tekil Uzama İndeksi $C=(B/A)^{*}100$	Ağırlıklı Uzama İndeksi $(D/100)^{*}C$
28-20	1000	22,22	19	1,90	0,42
20-14	2000	44,44	344	17,20	7,64
14-10	1000	22,22	248	24,80	5,51
10-6.3	500	11,11	84	16,80	1,87
TOPLAM	4500		695		15,44
				El= Uzunluk indeksi	15,44

Ek 3-Tablo 3.2. Traverten (T2) uzunluk indeksi deneyi verileri

Tane büyüğü (mm)	Ağırlık (gr) (A)	Tutulan Yüzde (%) (D)	Uzun parçacıkların Ağırlığı (gr) (B)	Tekil Uzama İndeksi $C=(B/A)^{*}100$	Ağırlıklı Uzama İndeksi $(D/100)^{*}C$
28-20	1000	22,22	56	5,60	1,24
20-14	2000	44,44	270	13,50	6,00
14-10	1000	22,22	269	26,90	5,98
10-6.3	500	11,11	97	19,40	2,16
TOPLAM	4500		692		15,38
				El= Uzunluk indeksi	15,38

Ek 3-Tablo 3.3. Doğal agrega (DA) uzunluk indeksi deneyi verileri

Tane büyüğü (mm)	Ağırlık (gr) (A)	Tutulan Yüzde (%) (D)	Uzun parçacıkların Ağırlığı (gr) (B)	Tekil Uzama İndeksi $C=(B/A)^{*}100$	Ağırlıklı Uzama İndeksi $(D/100)^{*}C$
28-20	1000	22,22	22	2,20	0,49
20-14	2000	44,44	218	10,90	4,84
14-10	1000	22,22	232	23,20	5,16
10-6.3	500	11,11	78	15,60	1,73
TOPLAM	4500		550		12,22
				El= Uzunluk indeksi	12,22

EK.4. Tane yoğunluğu ve Su Emme Deneyi Tabloları

Ek 4-Tablo 4.1. Traverten (T1) ince agrega tane yoğunluğu deneyi verileri

	Numune No	1 (gr)	2 (gr)	Ortalama
A	Piknometre ağırlığı	145,98	132,27	
B	Piknometre + su ağırlığı	645,44	630,86	
C	Piknometre + doygun yüzey kuru numune ağırlığı	556,38	542,57	
D	Piknometre + numune + su ağırlığı	887,56	873,52	
E	Kuru numune ağırlığı	384,69	382,20	
G _{ia}	Görünür tane yoğunluğu	2,688	2,729	2,709
G _{ib}	Hacim tane yoğunluğu	2,430	2,438	2,434

$$\text{Görünür tane yoğunluğu, } G_{ia} = \frac{E}{B + E - D}$$

$$\text{Hacim tane yoğunluğu, } G_{ib} = \frac{C - A}{B + C - A - D}$$

Ek 4-Tablo 4.2. Traverten(T2) ince agrega tane yoğunluğu verileri

	Numune No	1 (gr)	2 (gr)	Ortalama
A	Piknometre ağırlığı	145,98	132,27	
B	Piknometre + su ağırlığı	645,44	630,86	
C	Piknometre + doygun yüzey kuru numune ağırlığı	557,53	544,52	
D	Piknometre + numune + su ağırlığı	894,31	881,58	
E	Kuru numune ağırlığı	399,91	401,03	
G _{ia}	Görünür tane yoğunluğu	2,638	2,658	2,648
G _{ib}	Hacim tane yoğunluğu	2,520	2,543	2,532

$$\text{Görünür tane yoğunluğu, } G_{ia} = \frac{E}{B + E - D}$$

$$\text{Hacim tane yoğunluğu, } G_{ib} = \frac{C - A}{B + C - A - D}$$

Ek 4-Tablo 4.3. Doğal agrega (DA) ince agrega tane yoğunluğu verileri

Doğal Agrega(DA)		1 (gr)	2 (gr)	Ortalama
	Numune No			
A	Piknometre ağırlığı	145,98	132,27	
B	Piknometre + su ağırlığı	645,44	630,86	
C	Piknometre + doygun yüzey kuru numune ağırlığı	559,43	546,21	
D	Piknometre + numune + su ağırlığı	902,38	887,81	
E	Kuru numune ağırlığı	389,74	382,39	
G _{ia}	Zahiri özgül ağırlığı	2,924	3,037	2,981
G _{ib}	Hacim özgül ağırlığı	2,632	2,627	2,629

$$\text{Görünür tane yoğunluğu, } G_{ia} = \frac{E}{B + E - D}$$

$$\text{Hacim tane yoğunluğu, } G_{ib} = \frac{C - A}{B + C - A - D}$$

Ek 4-Tablo 4.4. Traverten (T1) ince agrega su emme yüzdesi verileri

İNCE AGREGA SU EMME		Numune No	
	Traverten	T1	1 (gr)
A	Kuru malzemenin havadaki ağırlığı		398
B	Doygun yüzey kuru malzemenin havadaki ağırlığı		407
100*(B-A)/A	Absorpsiyon yüzdesi		2.261

Ek 4-Tablo 4.5. Traverten (T2) ince agregat su emme yüzdesi verileri

İNCE AGREGA SU EMME		Numune No
	Traverten	T2
A	Kuru malzemenin havadaki ağırlığı(g)	402
B	Doygun yüzey kuru malzemenin havadaki ağırlığı(g)	410
100*(B-A)/A	Absorpsiyon yüzdesi(%)	1.99

Ek 4-Tablo 4.6. Doğal agregat (DA) ince agregat su emme yüzdesi verileri

	Doğal Agregat (DA)	1 (gr)
A	Kuru malzemenin havadaki ağırlığı	411
B	Doygun yüzey kuru malzemenin havadaki ağırlığı	415
100*(B-A)/A	Absorpsiyon yüzdesi	0,973

Ek 4-Tablo 4.7. Traverten (T1) kaba agregat tane yoğunluğu değerleri

	Numune No	1 (gr)	2 (gr)	Ortalama
A	Kuru malzemenin havadaki ağırlığı	1995	1998	
B	Doygun yüzey kuru malzemenin havadaki ağırlığı	2016	2018	
C	Doygun yüzey kuru malzemenin sudaki ağırlığı	1235	1240	
A/(A-C)	Görünür tane yoğunluğu (Gka)	2,625	2,636	2,630
A/(B-C)	Hacim tane yoğunluğu (Gkb)	2,554	2,568	2,561

Ek 4-Tablo 4.8. Traverten (T2) kaba agrega tane yoğunluğu değerleri

	Numune No	1 (gr)	2 (gr)	Ortalama
A	Kuru malzemenin havadaki ağırlığı	1996	2000	
B	Doygun yüzey kuru malzemenin havadaki ağırlığı	2016	2019	
C	Doygun yüzey kuru malzemenin sudaki ağırlığı	1236	1239	
A/(A-C)	Görünür tane yoğunluğu (Gka)	2,626	2,628	2,627
A/(B-C)	Hacim tane yoğunluğu (Gkb)	2,559	2,564	2,561

Ek 4-Tablo 4.9. Doğal agrega (DA) kaba agrega tane yoğunluğu değerleri

	Numune No	1 (gr)	2 (gr)	Ortalama
A	Kuru malzemenin havadaki ağırlığı	1999	1997	
B	Doygun yüzey kuru malzemenin havadaki ağırlığı	2021	2022	
C	Doygun yüzey kuru malzemenin sudaki ağırlığı	1290	1291	
A/(A-C)	Görünür tane yoğunluğu (Gka)	2,819	2,829	2,824
A/(B-C)	Hacim tane yoğunluğu (Gkb)	2,735	2,732	2,733

Ek 4-Tablo 4.10. Traverten (T1) kaba agregat su emme yüzdesi verileri

	Numune No	1 (gr)
A	Kuru malzemenin havadaki ağırlığı	1998
B	Doygun yüzey kuru malzemenin havadaki ağırlığı	2027
100*(B-A)/A	Absorpsiyon yüzdesi	1,451

Ek 4-Tablo 4.11. Traverten (T2) kaba agregat su emme yüzdesi verileri

	Numune No	1 (gr)
A	Kuru malzemenin havadaki ağırlığı	1996
B	Doygun yüzey kuru malzemenin havadaki ağırlığı	2023
100*(B-A)/A	Absorpsiyon yüzdesi	1,353

Ek 4-Tablo 4.12. Doğal agregat (DA) kaba agregat su emme yüzdesi verileri

	Numune No	1 (gr)
A	Kuru malzemenin havadaki ağırlığı	1999
B	Doygun yüzey kuru malzemenin havadaki ağırlığı	2020
100*(B-A)/A	Absorpsiyon yüzdesi	1,051

EK 5 Darbelenme Deneyi Tabloları

Ek 5 - Tablo 5.1. Traverten (T1) darbelenme deneyi 1.numune verileri

Numune Adı	Elek no	Darbelenme Sonrası Elek Üstü Ağ. (gr)	Darbelenme Sonrası Elek Üstü Ağ. (%)	Darbelenme Sonrası Elek Altı Ağ. (%)
Traverten (T1)	8mm	106,70	35,83	64,17
	5mm	85,00	28,54	35,63
	2mm	46,38	15,57	20,06
	0,5mm	43,32	14,55	5,51
	0,25mm	3,81	1,28	4,23
	Tava	12,61	4,23	0,00
	Toplam	297,82	100,00	129,61

Darbelenme ile parçalanma
değeri Sz: 25,92

Ek 5 - Tablo 5.2. Traverten (T1) darbelenme deneyi 2.numune verileri

Numune Adı	Elek no	Darbelenme Sonrası Elek Üstü Ağ. (gr)	Darbelenme Sonrası Elek Üstü Ağ. (%)	Darbelenme Sonrası Elek Altı Ağ. (%)
Traverten (T1)	8mm	106,37	36,56	63,44
	5mm	81,30	27,94	35,50
	2mm	46,60	16,02	19,48
	0,5mm	41,20	14,16	5,32
	0,25mm	3,45	1,19	4,14
	Tava	12,04	4,14	0,00
	Toplam	290,96	100,00	127,89

Darbelenme ile parçalanma
değeri Sz: 25,58

Ek 5 - Tablo 5.3. Traverten (T2) darbelenme deneyi 1.numune verileri

Numune Adı	Elek no	Darbelenme Sonrası Elek Üstü Ağ. (gr)	Darbelenme Sonrası Elek Üstü Ağ. (%)	Darbelenme Sonrası Elek Altı Ağ. (%)
Traverten (T2)	8mm	111,81	37,31	62,69
	5mm	80,55	26,88	35,81
	2mm	47,32	15,79	20,02
	0,5mm	41,00	13,68	6,34
	0,25mm	4,10	1,37	4,97
	Tava	14,90	4,97	0,00
	Toplam	299,68	100,00	129,84

Darbelenme ile parçalanma
değeri Sz: 25,97

Ek 5 - Tablo 5.4. Traverten (T2) darbelenme deneyi 2.numune verileri

Numune Adı	Elek no	Darbelenme Sonrası Elek Üstü Ağ. (gr)	Darbelenme Sonrası Elek Üstü Ağ. (%)	Darbelenme Sonrası Elek Altı Ağ. (%)
Traverten (T2)	8mm	124,94	41,01	58,99
	5mm	76,26	25,03	33,95
	2mm	44,52	14,61	19,34
	0,5mm	40,58	13,32	6,02
	0,25mm	3,80	1,25	4,77
	Tava	14,54	4,77	0,00
	Toplam	304,64	100,00	123,08

Darbelenme ile parçalanma
değeri Sz: 24,62

Ek 5 - Tablo 5.5. Doğal agrega (DA) darbelenme deneyi 1.numune verileri

Numune Adı	Elek no	Darbelenme Sonrası Elek Üstü Ağ. (gr)	Darbelenme Sonrası Elek Üstü Ağ. (%)	Darbelenme Sonrası Elek Altı Ağ. (%)
Doğal Agrega (DA)	8mm	149,83	47,35	52,65
	5mm	78,70	24,87	27,78
	2mm	36,04	11,39	16,39
	0,5mm	40,15	12,69	3,70
	0,25mm	3,50	1,11	2,59
	Tava	8,20	2,59	0,00
	Toplam	316,42	100,00	103,10

Darbelenme ile parçalanma
değeri Sz: 20,62

Ek 5 - Tablo 5.6. Doğal agrega (DA) darbelenme deneyi 2.numune verileri

Numune Adı	Elek no	Darbelenme Sonrası Elek Üstü Ağ. (gr)	Darbelenme Sonrası Elek Üstü Ağ. (%)	Darbelenme Sonrası Elek Altı Ağ. (%)
Doğal Agrega (DA)	8mm	149,86	48,03	51,97
	5mm	78,91	25,29	26,69
	2mm	32,65	10,46	16,22
	0,5mm	39,32	12,60	3,62
	0,25mm	3,00	0,96	2,66
	Tava	8,30	2,66	0,00
	Toplam	312,04	100,00	101,16

Darbelenme ile parçalanma
değeri Sz: 20,23

EK 6 Gevşek – Sıkışık birim hacim ağırlık deneyi tabloları

Ek 6 - Tablo 6.1. Traverten (T1) gevşek-sıkışık birim hacim ağırlık deneyi verileri

GEVŞEK - SIKIŞIK BİRİM AĞIRLIK DENEY ÇİZELGESİ

SIKİŞIK BİRİM AĞIRLIK	1.DENEY	2.DENEY
Ölçü Kabı Boş Ağırlığı (W1)	721,83	721,83
Ölçü Kabı Hacmi (V)	2120,58	2120,58
Agrega ile Dolu Ölçü Kabı Ağırlığı (W2)	4681,09	4707,02
Sıkışık Agrega Ağırlığı (W2-W1)	3959,26	3985,19
Sıkışık Birim Ağırlık (Bg)	1,87	1,88
ORTALAMA	1,87	

GEVŞEK BİRİM AĞIRLIK	1.DENEY	2.DENEY
Ölçü Kabı Boş Ağırlığı (W1)	721,83	721,83
Ölçü Kabı Hacmi (V)	2120,58	2120,58
Agrega ile Dolu Ölçü Kabı Ağırlığı (W2)	4298,95	4349,13
Gevşek Agrega Ağırlığı (W2-W1)	3577,12	3627,3
Gevşek Birim Ağırlık (Bg)	1,69	1,71
ORTALAMA	1,70	

Ek 6 - Tablo 6.2. Traverten (T2) gevşek-sıkışık birim hacim ağırlık deneyi verileri

GEVŞEK - SIKIŞIK BİRİM AĞIRLIK DENEY ÇİZELGESİ

SIKİŞIK BİRİM AĞIRLIK	1.DENEY	2.DENEY
Ölçü Kabı Boş Ağırlığı (W1)	721,83	721,83
Ölçü Kabı Hacmi (V)	2120,58	2120,58
Agrega ile Dolu Ölçü Kabı Ağırlığı (W2)	4567,45	4654,77
Sıkışık Agrega Ağırlığı (W2-W1)	3845,62	3932,94
Sıkışık Birim Ağırlık (Bg)	1,81	1,85
ORTALAMA	1,83	

GEVŞEK BİRİM AĞIRLIK	1.DENEY	2.DENEY
Ölçü Kabı Boş Ağırlığı (W1)	721,83	721,83
Ölçü Kabı Hacmi (V)	2120,58	2120,58
Agrega ile Dolu Ölçü Kabı Ağırlığı (W2)	4272,98	4323,08
Gevşek Agrega Ağırlığı (W2-W1)	3551,15	3601,25
Gevşek Birim Ağırlık (Bg)	1,67	1,70
ORTALAMA	1,69	

Ek 6 - Tablo 6.3. Doğal Agrega (DA) gevşek-sıkışık birim hacim ağırlık verileri
GEVŞEK - SIKIŞIK BİRİM AĞIRLIK DENYE ÇİZELGESİ

SIKİŞİK BİRİM AĞIRLIK	1.DENEY	2.DENEY
Ölçü Kabı Boş Ağırlığı (W1)	721,83	721,83
Ölçü Kabı Hacmi (V)	2120,58	2120,58
Agrega ile Dolu Ölçü Kabı Ağırlığı (W2)	5086	5135
Sıkışık Agrega Ağırlığı (W2-W1)	4364,17	4413,17
Sıkışık Birim Ağırlık (Bg)	2,06	2,08
ORTALAMA	2,07	

GEVŞEK BİRİM AĞIRLIK	1.DENEY	2.DENEY
Ölçü Kabı Boş Ağırlığı (W1)	721,83	721,83
Ölçü Kabı Hacmi (V)	2120,58	2120,58
Agrega ile Dolu Ölçü Kabı Ağırlığı (W2)	4810	4880,5
Gevsek Agrega Ağırlığı (W2-W1)	4088,17	4158,67
Gevsek Birim Ağırlık (Bg)	1,93	1,96
ORTALAMA	1,94	

ÖZGEÇMİŞ

Adı ve Soyadı :Fettah ACAR
Doğum Yeri ve Yılı :Burdur/Bucak 1982



Eğitim Durumu

		<u>Yıl</u>
Lise	:Burdur Anadolu Öğretmen Lisesi	1999
Lisans	:Süleyman Demirel Üniversitesi İnşaat Mühendisliği	2003
Yüksek Lisans	:Mehmet Akif Ersoy Üniversitesi İnşaat Mühendisliği	-

Çalıştığı Kurum / Kurumlar

	<u>Yıl</u>
1- ACAR MÜHENDİSLİK Serbest İnşaat Mühendisi	2003-2019
2- AVEO İNŞAAT LTD.ŞTİ. Proje Müdürü	2018
3- EKC TARIM LTD.ŞTİ. Şantiye Şefi	2015
4- İSKAR İNŞAAT LTD.ŞTİ. Saha Mühendisi	2007
5- ALBETON ALTINBAŞAK LTD.ŞTİ. Stajer	2001